

# Metody badawcze w mechanice

## Plan wykładu:

### I. Badania wytrzymałości materiałów.

1. Metody statyczna: próby rozciągania, ściskania, zginania i skręcania.
2. Twardość (metody: Brinella, Vickersa, Rockwella).
3. Metody dynamiczne: próby udarowe, badania zmęczeniowe.

### II. Metody badania naprężeń i odkształceń.

1. Podstawowe elementy stanu naprężenia i odkształcania. Związki pomiędzy naprężaniem i odkształcaniem, uogólnione prawo Hooke'a.
2. Tensometria: podstawy metody tensometrycznej, rodzaje tensometrów. Tensometry oporowe: zasada działania, rodzaje i własności, układy pomiarowe, aparatura tensometryczna i jej dobór.
3. Elastooptyka: właściwości światła wykorzystywane w elastooptyce, działanie polaryskopów, techniki badań elastooptycznych, przykłady badań modelowych.
4. Metoda kruchych pokryw: podstawy metody i przykłady.
5. Metoda mory (metoda interferencji geometrycznej): podstawy metody i przykłady zastosowań.
6. Metody holograficzne: podstawy holografii, interferometria holograficzna i plamkowa, przykłady badań interferometrycznych.

### III. Nieniszczące badanie materiałów.

1. Ultrasonografia: defektoskopia ultradźwiękowa, ultradźwiękowa wyznaczania naprężeń. Urządzenia i metody.
2. Radiografia: podstawy metody, aparatura rentgenowska i izotopowa, przykłady zastosowań.

# **Metody badawcze w mechanice**

## **Cel zajęć:**

- 1. Zapoznanie z podstawowymi wielkościami mechanicznymi charakteryzującymi materiały konstrukcyjne.**
- 2. Poznanie metod wyznaczania tych wielkości.**
- 3. Przedstawienie problemów i zjawisk związanych z wytrzymałością statyczną i dynamiczną.**
- 4. Wprowadzenie podstawowych wielkości charakteryzujących stan naprężenia i odkształcenia elementów konstrukcyjnych.**
- 5. Zapoznanie z problematyką doświadczalnego wyznaczania rozkładów i wartości naprężeń oraz odkształceń w najprostszych elementach i układach.**
- 6. Zapoznanie z metodami wykrywania wad materiałowych (defektoskopia) metodami nieniszczącymi.**

## **Metody badawcze w mechanice**

### **Literatura:**

#### **Problematyka wytrzymałości materiałów:**

1. A. Skorupa, M. Skorupa  
Wytrzymałość materiałów  
Skrypt dla studentów wydziałów niemechanicznych  
AGH Uczelniane Wydawnictwa Naukowo-Dydaktyczne, Kraków 2000
2. S. Wolny (red.)  
Eksperyment w wytrzymałości materiałów  
Wytrzymałość materiałów (IV),  
Wydział Inżynierii Mechanicznej i Robotyki, AGH, Kraków 2002
3. S. Mazurkiewicz (red.)  
Ćwiczenia laboratoryjne z wytrzymałości materiałów  
Politechnika Krakowska, 1999
4. K. Przybyłowicz  
Metody badawcze w metaloznawstwie  
Wydawnictwa AGH, Kraków 1991
5. L. A. Dobrzański  
Podstawy nauki o materiałach i metaloznawstwo, rozdz. 5  
WNT, Warszawa 2002

# **Metody badawcze w mechanice**

## **Literatura:**

### **Problematyka wyznaczania odkształceń i naprężeń elementów konstrukcyjnych:**

6. Z. Orłoś (red.)  
Doświadczalna analiza odkształceń i naprężeń  
PWN, Warszawa 1977
7. W. Szczepiński (red.)  
Metody doświadczalne mechaniki ciała stałego  
PWN, Warszawa 1984
8. J. Kapkowski  
Podstawy doświadczalnej analizy naprężeń i odkształceń  
Oficina Wydawnicza Politechniki Warszawskiej, Warszawa 1996
9. A. Siemienieć  
Elastoptyka  
Skrypt uczelniany nr 615, AGH, 1977
10. Z. Roliński  
Tensometria oporowa  
WNT, Warszawa 1981
11. W. Styburski  
Przetworniki tensometryczne  
WNT, Warszawa 1976

### **Defektoakopia:**

12. A. Lewińska-Romicka  
Badania nieniszczące. Podstawy defektoskopii  
WNT, Warszawa 2001
13. Z. Pawłowski  
Badania nieniszczące. Poradnik  
Stowarzyszenie Inżynierów i Techników Mechaników Polskich, Warszawa 1984

## Skutki działania sił (obciążeń):

### **1. Odształcenie:**

- **sprężyste** – ciało powraca do pierwotnego kształtu po ustąpieniu działania siły
- **plastyczne** – ciało pozostaje odkształcone po ustąpieniu działania siły

### **2. Zniszczenie spójności materiału (pękanie, łamanie, kruszenie, itd.)**

**wytrzymałość**  $\equiv$  właściwość przeciwstawienia się niszczącemu działaniu sił

## Cel wytrzymałości materiałów:

- 1. Określenie warunku bezpieczeństwa** - czy element konstrukcyjny nie ulegnie zniszczeniu pod wpływem przewidzianych obciążeń.
- 2. Określenie warunku sztywności** – czy element nie będzie ulegał na tyle dużym odkształceniom, które utrudnią lub uniemożliwią jego należyte funkcjonowanie.
- 3. Określenie warunku ekonomiczności konstrukcji** – wybór materiału konstrukcyjnego najbardziej odpowiedniego ze względu na rodzaj obciążenia z równoczesnym pełnym wykorzystaniem własności wytrzymałościowych tworzywa.

**Mechanika ogólna  $\equiv$  Mechanika ciała stałego sztywnego**  
Statyka, kinematyka i dynamika bryły sztywnej  
Mechanika klasyczna, zasady Newtona

Założenie:

Odległość dwóch dowolnych punktów ciała stałego nie zmienia się pod wpływem działających sił

**Mechanika ciała stałego odkształcalnego  $\equiv$  Wytrzymałość materiałów**

Ciała rzeczywiste pod wpływem oddziałujących na nie sił odkształcają się  
a przy odpowiednio dużej sile spójność materiału ulega zniszczeniu  
(łamanie, pękanie, kruszenie itd.)

Ogólne prawa mechaniki obowiązują w dalszym ciągu.

**Zasada zeszywnienia:**

**Jeśli ciało odkształcalne pozostaje pod działaniem sił w równowadze, to układ tych sił musi spełniać takie same warunki, jakie obowiązują w statyce ciała sztywnego.**

Zasada ta pozwala pominąć przemieszczenia punktów przyłożenia sił wywołane deformacją ciała przyjmując, że punkty te mają położenia takie same jak w ciele nieodkształconym.

## Rodzaje obciążeń i związane z tym własności materiałów:

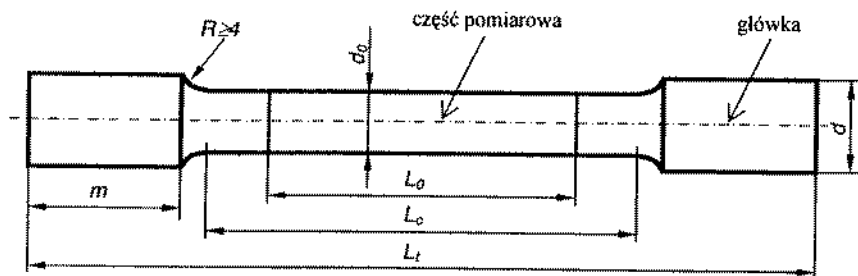
1. **Obciążenia statyczne – Własności statyczne**  
siła (obciążenie) działająca na badane ciało zmienia się z czasem powoli
2. **Obciążenia dynamiczne – Własności dynamiczne**  
gwałtownie (uderzeniowo, udarowo) działające obciążenie
3. **Obciążenie cykliczne – Własności zmęczeniowe**
4. **Obciążenie stałe i długotrwałe**

## UWAGI:

1. **Własności materiałów wyznaczone metodami mechanicznymi**  
nie są wielkościami fizycznymi – gdyż zależą od warunków, w których je określono (od kształtu i wymiaru próbek, metodologii badań: rodzaj maszyny wytrzymałościowej, rodzaje uchwytów, prędkość narastania obciążeń)
2. **Własności materiałów wyznaczone metodami mechanicznymi**  
mają charakter umowny – wiele prób i badań jest znormalizowanych, określone są warunki przeprowadzania tych prób np. wymiary próbek, pozwala to na porównywanie własności materiałów i stanowi podstawę do obliczeń inżynierskich

## Próba statyczna rozciągania

Przykład znormalizowanej próbki proporcjonalnej



$$L_0 = p \cdot d_0$$

$p = 5$  – próbki krótkie

$p = 10$  – próbki długie

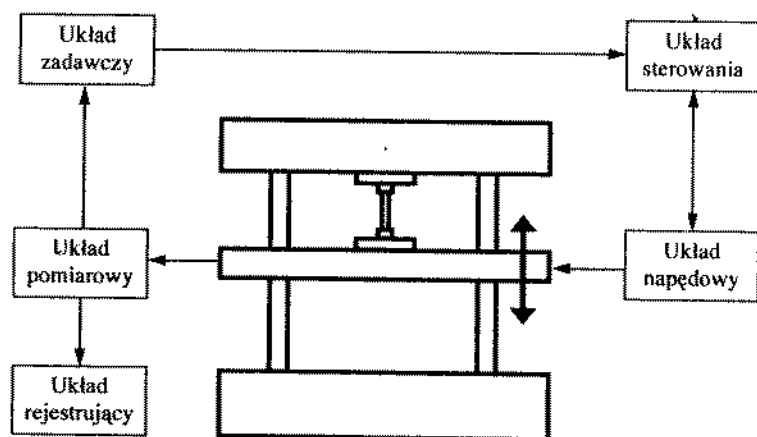
$$L_0 = p \cdot \sqrt{4 \cdot S_0 / \pi}$$

$$L_c = L_0 + 2 \cdot d_0$$

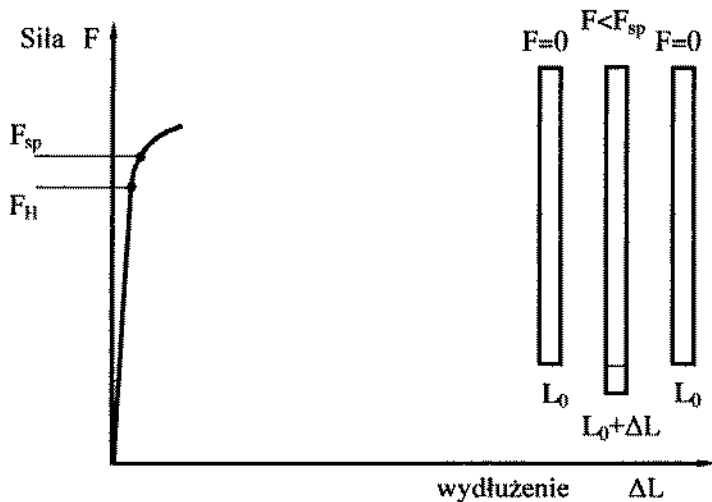
$S_0$  – pole przekroju poprzecznego



**Próba statyczna rozciągania**  
Maszyna wytrzymałościowa – schemat blokowy



## Próba statyczna rozciągania



$$R_H = \frac{F_H}{S_0} - \text{granica proporcjonalności}$$

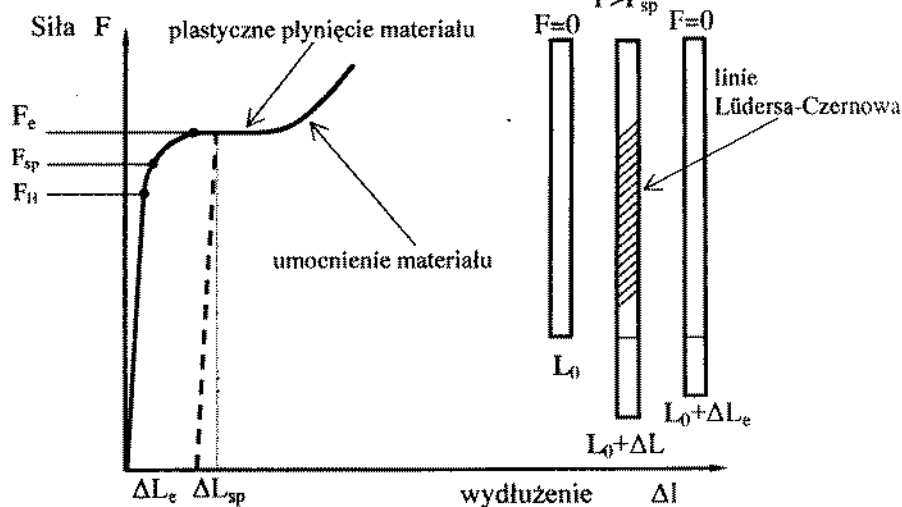
$$R_{sp} = \frac{F_{sp}}{S_0} - \text{granica sprężystości}$$

$$R_{0,05} = \frac{F_{0,05}}{S_0} - \text{umowna granica sprężystości}$$

$F_{0,05}$  - siła wywołująca w próbce wydłużenie trwale równe 0,05% początkowej długości pomiarowej próbki

$S_0$  - początkowe pole powierzchni przekroju

# Próba statyczna rozciągania



$$\Delta L = \Delta L_{sp} + \Delta L_e$$

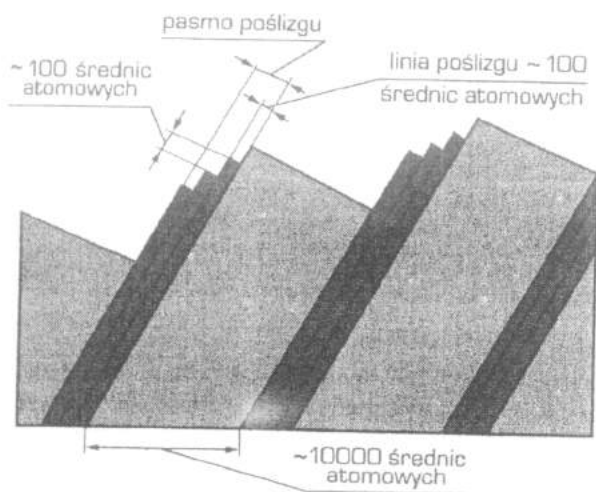
$\Delta L$  - wydłużenie całkowite

$\Delta L_{sp}$  - wydłużenie sprężyste

$\Delta L_e$  - wydłużenie plastyczne

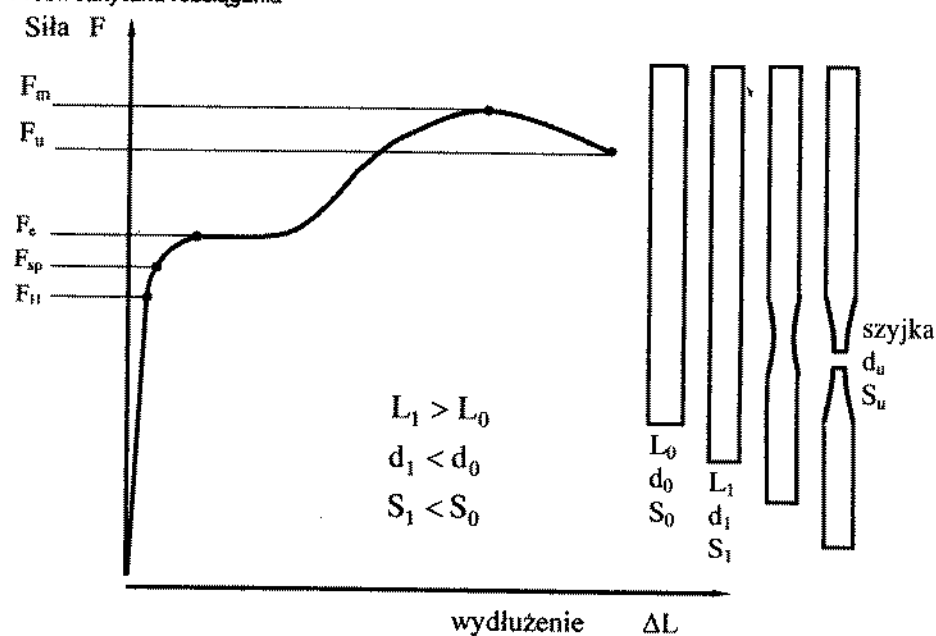
$$R_e = \frac{F_e}{S_0} \text{ - granica plastyczności}$$

$S_0$  - początkowe pole powierzchni przekroju



Schemat powstawania linii Lüdersa-Czernowa

# Próba statyczna rozciągania



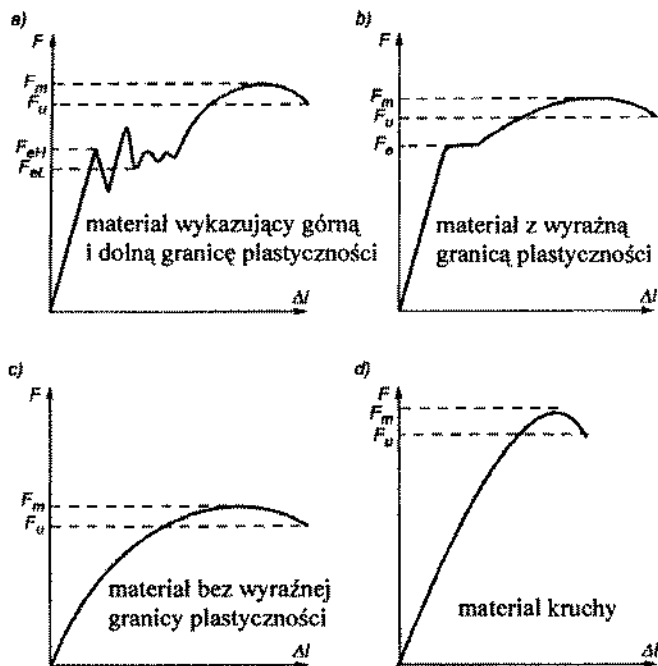
$$R_m = \frac{F_m}{S_0} - \text{wytrzymałość na rozciąganie}$$

$S_0$  - początkowe pole powierzchni przekroju

$$R_u = \frac{F_u}{S_u} - \text{napężenie rozrywające}$$

$S_u$  - pole powierzchni przekroju szyjki tuż przed rozerwaniem

## Próba statyczna rozciągania

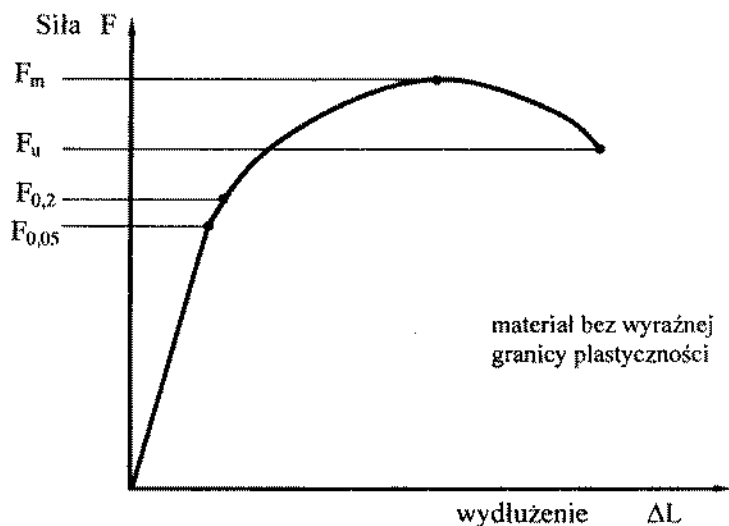


Wykresy rozciągania dla różnych typów materiałów.

$F_{eH}$  – górna granica plastyczności

$F_{eL}$  – dolna granica plastyczności

## Próba statyczna rozciągania



$$R_{0,05} = \frac{F_{0,05}}{S_0} - \text{umowna granica sprężystości}$$

$F_{0,05}$  - siła wywołująca w próbce wydłużenie trwale równe 0,05% początkowej długości pomiarowej próbki

$$R_{0,2} = \frac{F_{0,2}}{S_0} - \text{umowna granica plastyczności}$$

$F_{0,2}$  - siła wywołująca w próbce wydłużenie trwale równe 0,2% początkowej długości pomiarowej próbki

$S_0$  - początkowe pole powierzchni przekroju

## Próba statyczna rozciągania

Napężenie:

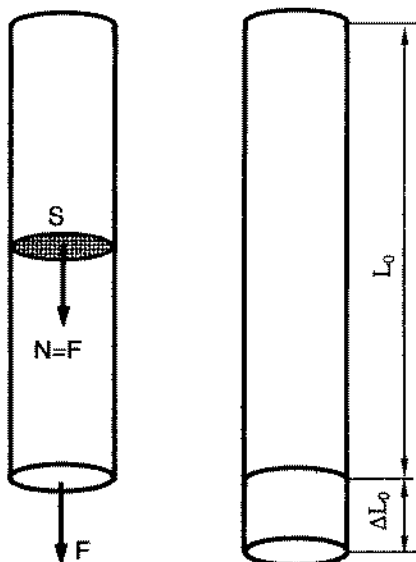
F – obciążenie zewnętrzne

N – rozciągająca siła wewnętrzna

$$\sigma = \frac{F}{S} \text{ - napężenie}$$

Wydłużenie względne:

$$\varepsilon = \frac{\Delta L_0}{L_0}$$



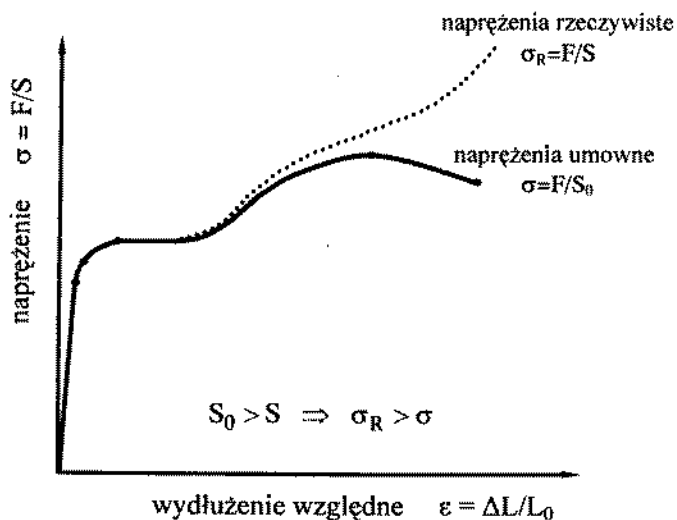


### Jednostki

wielkość	układ SI	dawne jednostki	przelicznik
siła	newton [N]	kilogram siła [kG]	$1 \text{ N} = 0.102 \text{ kG}$
długość, wydłużenie	metr [m]	centymetr [cm]	$1 \text{ m} = 100 \text{ cm}$
pole powierzchni	$\text{metr}^2 [\text{m}^2]$	$\text{centymetr}^2 [\text{cm}^2]$	$1 \text{ m}^2 = 10^4 \text{ cm}^2$
napężenie	paskal [Pa] $1 \text{ Pa} = 1 \text{ N} / 1 \text{ m}^2$	$1 \text{ kG/cm}^2$	$1 \text{ Pa} = 1.02 \times 10^{-5} \text{ kG/cm}^2$

$$1 \text{ MPa} = 1 \times 10^6 \text{ Pa} = 10.2 \text{ kG/cm}^2$$

$\varepsilon = \Delta L / L_0$  – wydłużenie względne, wielkość niemianowana



### **Zalecane szybkości rozciągania:**

3-30 MPa/s – do górnej granicy plastyczności

0.4 mm/min – po przekroczeniu górnej granicy plastyczności

## Prawo Hooke'a

$$\Delta L = \frac{1}{E} \cdot \frac{F \cdot L_0}{S_0}$$

$$\varepsilon = \frac{L_1 - L_0}{L_0} = \frac{\Delta L}{L_0} \quad - \text{względne wydłużenie}$$

$$\varepsilon = \frac{1}{E} \cdot \sigma = \frac{\sigma}{E}$$

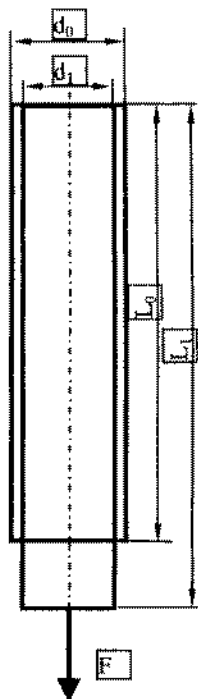
$E$  - moduł Younga, moduł sprężystości podłużnej, [MPa]

$$\varepsilon' = \frac{d_1 - d_0}{d_0} = \frac{\Delta d}{d_0} \quad - \text{względne poprzeczne wydłużenie}$$

$\varepsilon' = -\nu \cdot \varepsilon$  - zależność między wydłużeniami *względnymi*

$\nu$  - współczynnik (liczba) Poissona, można wykazać, że  $0 \leq \nu \leq \frac{1}{2}$

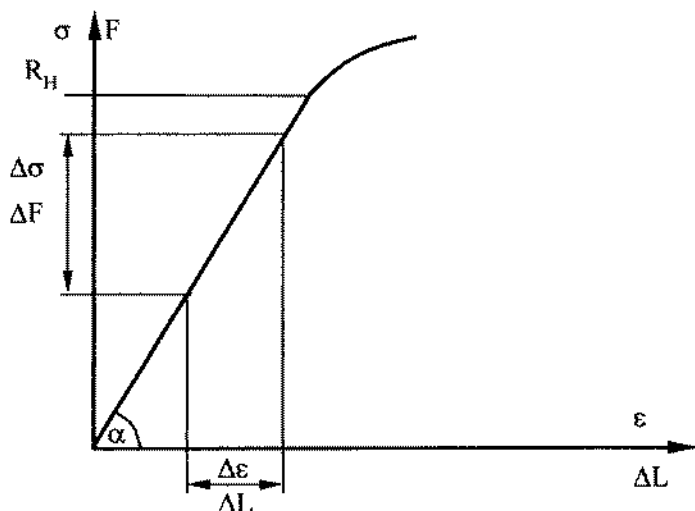
$$\frac{1}{6} < \nu < \frac{1}{2} \quad - \text{dla większości materiałów}$$



### Stałe sprężystości wybranych materiałów

Materiał	Moduł Younga, MPa	Liczba Poissona
Stale węglowe konstrukcyjne	$2,05 \cdot 10^5$	0,24 , 0,30
Stal sprężynowa	$2,11 \cdot 10^5$	0,24 , 0,30
Żeliwo	$(1,15 , 1,6) \cdot 10^5$	0,23 , 0,27
Stopy aluminium	$0,72 \cdot 10^5$	0,26 , 0,36
Stopy tytanu	$1,12 \cdot 10^5$	—
Beton	$(0,18 , 0,44) \cdot 10^5$	0,16 , 0,18
Szkło	$0,6 \cdot 10^5$	0,25 , 0,30

### Metoda wyznaczenia modułu Younga



$$E = \frac{\Delta\sigma}{\Delta\epsilon} = \frac{\Delta F \cdot L_0}{\Delta L \cdot S} = \tan \alpha$$

## Analiza odkształceń próbki Właściwości plastyczne materiału

### 1. Trwale wydłużenie względne:

$$A_p = \frac{L_u - L_0}{L_0} \cdot 100\%$$

### 2. Względne wydłużenie równomierne

$$A_r = \frac{d_0^2 - d_r^2}{d_r^2} \cdot 100\%$$

$d_r$  – średnica w połowie dłuższej części po zerwaniu

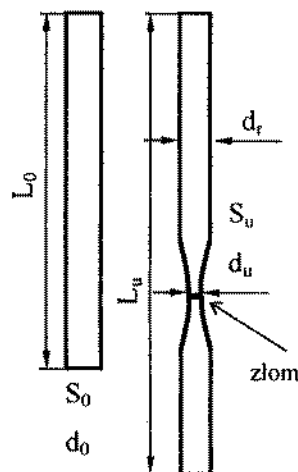
### 3. Trwale przewężenie w miejscu złomu

$$Z = \frac{S_0 - S_u}{S_0} \cdot 100\%$$

dla próbek o przekroju kołowym

$$S_0 = \frac{\pi d_0^2}{4} \quad S_u = \frac{\pi d_u^2}{4}$$

$$Z = \left[ 1 - \left( \frac{d_u}{d_0} \right)^2 \right] \cdot 100\%$$

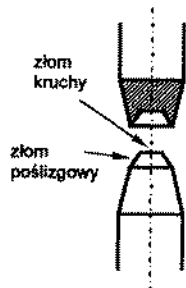
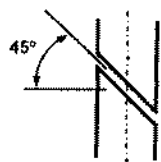
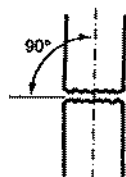


**złom (przełom)** – przekrój próbki po jej rozerwaniu

Przykład dla miękkiej stali niskowęglowej:  $A_s \approx 33\%$ ,  $Z \approx 60\%$ .

## Rodzaje złomów (przełomów):

1. **Złom rozdzielnicy kruchy** – nie jest poprzedzony widocznymi odkształceniami plastycznymi materiału, charakter przełomu jest wynikiem posiadania wewnętrznych sił spójności materiału w płaszczyźnie prostopadłej do osi próbki, powierzchnia złomu jest nierówna, szorstka i pozwala wyodrębnić poszczególne ziarna materiału, występuje dla materiałów kruchych (żeliwo, ceramika)
2. **Złom poślizgowy** – powstaje przez zniszczenie materiału poprzez poślizg w płaszczyznach krystalograficznych pod kątem  $45^\circ$  do kierunku obciążenia, powierzchnia złomu jest bardzo gładka poprzez silne odkształcenia plastyczne, zamazany jest obraz ziarn, występuje dla materiałów plastycznych (ołów, złoto)
3. **Złom pośredni (mieszany, rozdzielczy wiązek)** – poprzedzony odkształceniem plastycznym i powstaniem szyjki, które wywołuje umocnienie materiału i wymaga dalszego zwiększenia obciążenia, które w efekcie doprowadza do złomu rozdzielczego kruchego, złom ma charakter kielicha: złom plastyczny poboczniczy nachylony  $45^\circ$  względem osi i rozdzielczo kruchy rdzenia prostopadły do osi, złom charakterystyczny dla materiałów sprężysto-plastycznych (stal niskowęglowa)



### Okoliczności, w których należy unieważnić próbę statyczną rozciągania:

1. Na próbce tworzy się więcej niż jedna szyjka
2. Próbka rozerwała się poza długością pomiarową
3. Przełom nastąpił w miejscu rysy
4. Próbka rozerwała się na skutek miejscowej wady wewnętrznej materiału.

## **Próba statyczna rozciągania**

### **Podsumowanie**

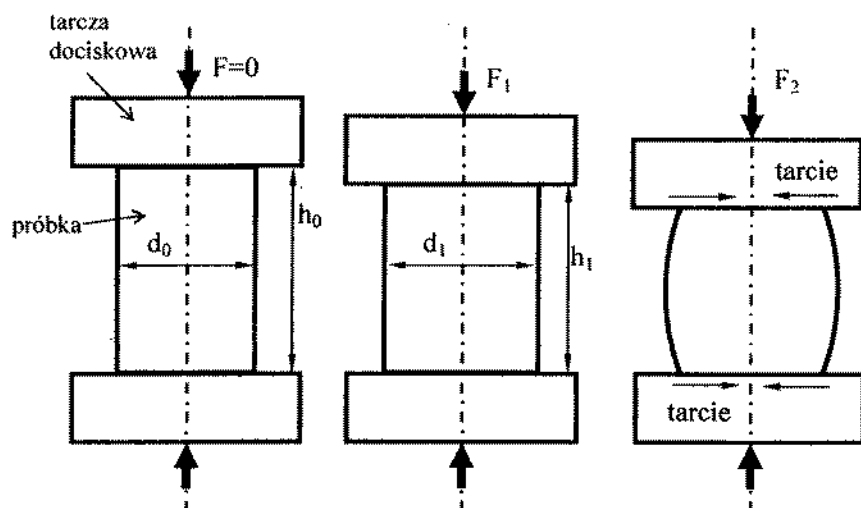
**Celem próby jest wyznaczenie jednej lub kilku poniższych wielkości:**

1. umownej granicy sprężystości  $R_{0,05}$  [MPa]
2. umownej granicy plastyczności  $R_{0,2}$  [MPa]
3. modułu Younga [MPa]
4. wyraźnej granicy sprężystości  $R_e$  [MPa] – jeżeli materiał ją wykazuje
5. wytrzymałości na rozciąganie  $R_m$  [MPa]
6. naprężenia rozrywającego  $R_u$  [MPa]
7. względnego wydłużenia  $A_p$  [%]
8. względnego wydłużenia równomiernego  $A_r$  [%]
9. względnego przewężenia  $Z$  [%]

### **Zalety statycznej próby rozciągania:**

1. Możliwość uzyskania jednoosiowego i jednorodnego stanu naprężeń w przekrojach poprzecznych części pomiarowej próbki. Zaburzenie tego stanu zachodzi dopiero w końcowej fazie rozciągania.
2. Możliwość uzyskania wielu parametrów charakteryzujących właściwości mechaniczne materiału.
3. Możliwość klasyfikacji materiałów konstrukcyjnych na podstawie właściwości mechanicznych materiału.
4. Łatwość obserwacji reakcji próbki na proces obciążenia siłą rozciągającą aż do momentu jej zniszczenia.
5. Stosunkowo duża łatwość przeprowadzenia próby.

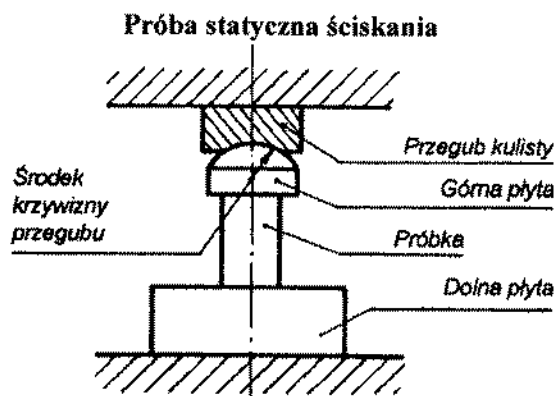
## Próba statyczna ściskania



**Warunki poprawności przeprowadzenia próby statycznego ściskania:**

1. Oś próbki powinna pokrywać się z osią obciążenia.
2. Powierzchnie czołowe próbek powinny być bardzo dokładnie obrobione: gładkie (polerowane) i prostopadłe do osi próbki.
3. Powierzchnie płyt dociskowych powinny być gładkie (polerowane) i wykonane z materiału twardszego niż materiał badany.
4. W celu zmniejszenia siły tarcia należy zastosować smarowanie powierzchni płyt dociskowych.





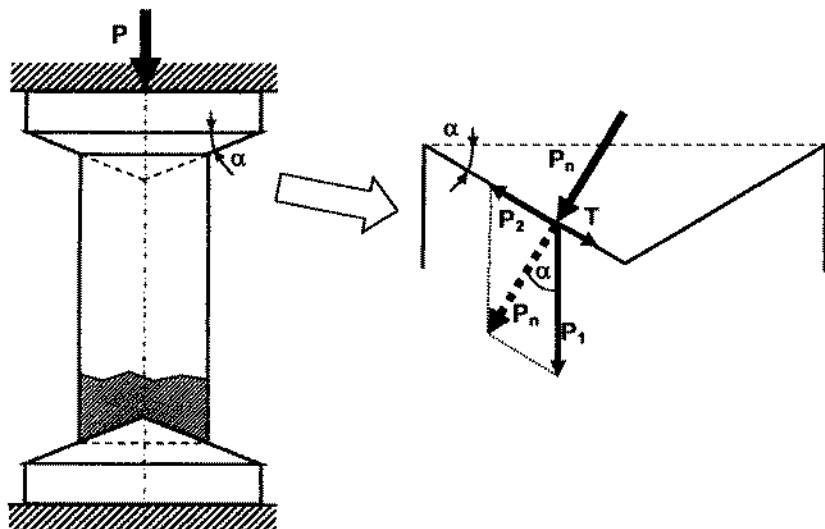
Schemat ustawienia próbki między płytami naciskowymi maszyny wytrzymałościowej lub prasy

**Przegub kulisty:**

- eliminuje punktowy styk między płytą a podstawą próbki
- ułatwia ich bardziej równomierne przyleganie

## Próba statyczna ściskania

### Ściskanie próbek między stożkowymi płytami dociskowymi



$P_n$  – siła prostopadła do tworzącej stożka

$T = \mu \cdot P_n$  – siła tarcia       $\mu$  – współczynnik tarcia

$P_2$  – składowa siły  $P_n$  skierowana zgodnie z tworzącą stożka

$$P_2 = P_n \cdot \operatorname{tg} \alpha$$

$P_1$  – składowa siły  $P_n$  równoległa do osi próbki

$$P_2 = P_n \cdot \operatorname{tg} \alpha = \mu \cdot P_n = T$$

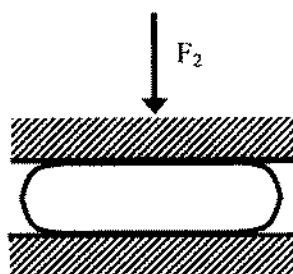
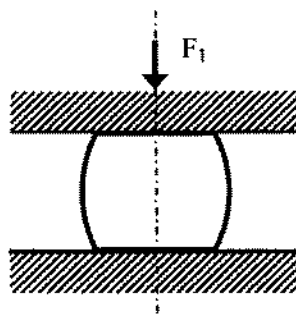
$\alpha = \operatorname{arc} \operatorname{tg} \mu$  - zapewnia jednoosiowe ściskanie

Wada metody:

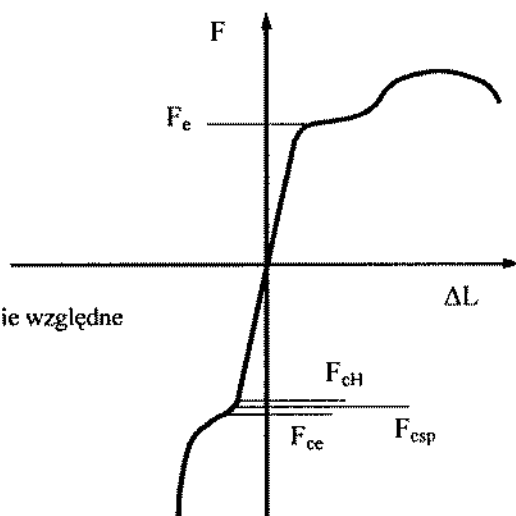
- nierównomierne osiowe odkształcenie próbki  $\epsilon$ , tym większe im większy kąt  $\alpha$
- powstanie śpiętrzenia naprężeń w pobliżu przy wierzchołku stożka

# Próba statyczna ściskania

Materiał sprężysto-plastyczny (np. stal niskowęglowa)



$$A_c = \frac{h_0 - h_l}{h_0} - \text{skręcenie względne}$$

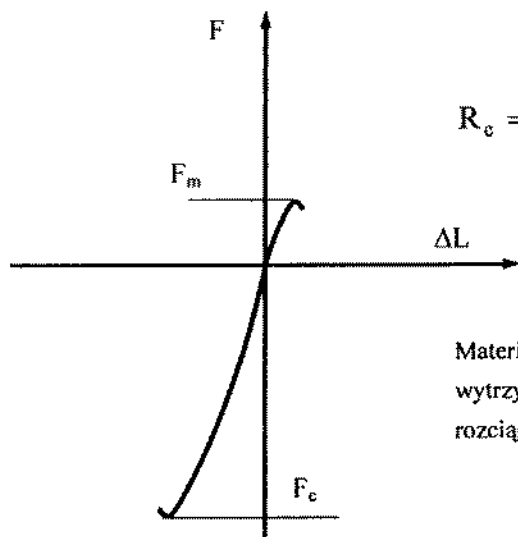


$$R_{c0.01} = \frac{F_{c0.01}}{S_0} \quad [\text{MPa}] \quad - \text{umowna granica sprężystości}$$

$$R_{c0.2} = \frac{F_{c0.2}}{S_0} \quad [\text{MPa}] \quad - \text{umowna granica plastyczności}$$

$F_{c0.01}$ ,  $F_{c0.2}$  – siła wywołująca stałe (plastyczne) względne skrócenie pręta o 0.01% i 0.2%, odpowiednio

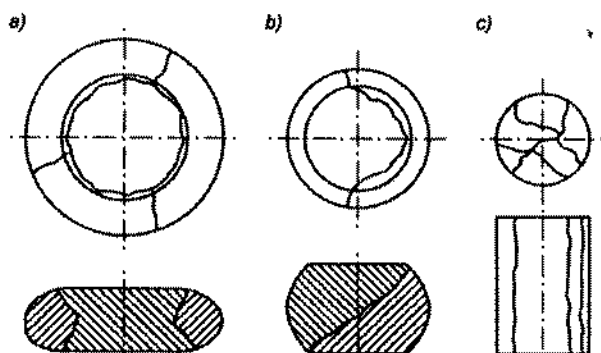
**Próba statyczna ściskania**  
**Materiał kruchy (np. żeliwo, beton)**



$$R_c = \frac{F_c}{S_0} \text{ - wytrzymałość na ściskanie}$$

Materiały kruche wykazują większą wytrzymałość na ściskanie niż na rozciąganie.

## Próba statyczna ściskania



Typy złomów próbek metalowych

- a) złom plastyczny z uwidocznieniem stożków
- b) złom plastyczny
- c) złom kruchy

1. **Złom kruchy** – niewidoczne są makroskopowe odkształcenia plastyczne, płaszczyzny pęknięć są równoległe do osi próbki, pęknięcia są wywołane obwodowymi naprężeniami rozciągającymi
2. **Złom plastyczny (włóknisty, poślizgowy)** – poprzedzony jest makroskopowym odkształceniem plastycznym, wywołanym przez poślizgi pod kątem  $45^\circ$  do osi próbki

### Próba statyczna ściskania

**Rodzaje prób:**

1.    **Próba zwykła:**
  - skrócenie względne
  - wyraźna granica plastyczności
  - wytrzymałość na ściskanie
  - wykres ściskania
  
2.    **Próba ściska:**
  - współczynnik sprężystości podłużnej przy ściskaniu  
    (moduł Younga dla ściskania,  $E_c$ )
  - umowna granicy sprężystości
  - umowna granicy plastyczności

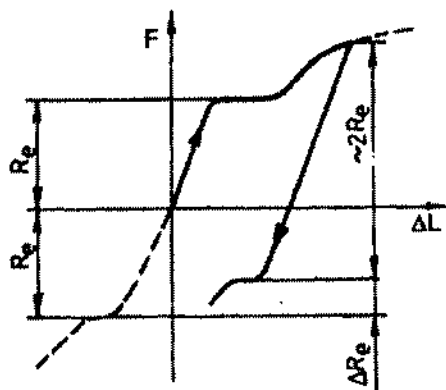
**Wymiary próbek:**

1. średnica:  $d_0 = 10, 20$  lub  $30$  mm
2. wysokość:  $h_0 = p \cdot d_0$ ;  $p = 1.5$  dla próby zwykłej  
 $p = 3$  dla próby ścisłej bez wyznaczenia  $E_c$   
 $p = 10$  gdy próbę przeprowadza się w celu  
wyznaczenia  $E_c$

**Ziawisko wyboczenia pręta:**

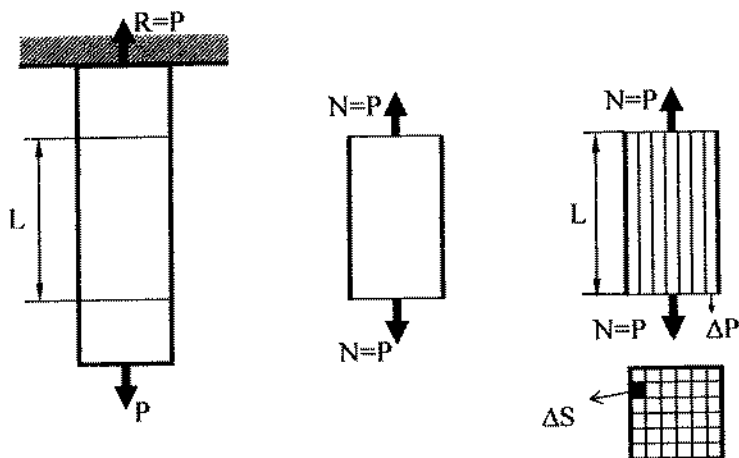


## Efekt Bauschingera



Umocniony materiał poddany działaniu naprężeń przeciwnego znaku wykazuje obniżoną granicę plastyczności.

**Równomierność naprężeń w pręcie pryzmatycznym  
(o stałym przekroju poprzecznym)**

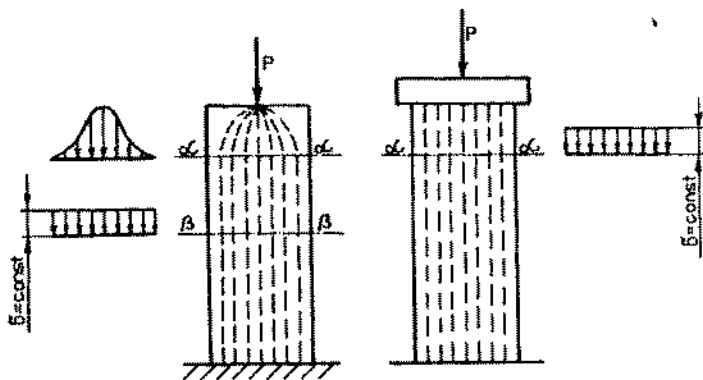


$$\Delta L = \text{const}$$

$$\Delta L = \frac{\Delta P \cdot L}{E \cdot \Delta S} = \text{const} \quad \Rightarrow \quad \frac{\Delta P}{\Delta S} = \sigma = \text{const}$$



## Zasada de Saint-Venanta

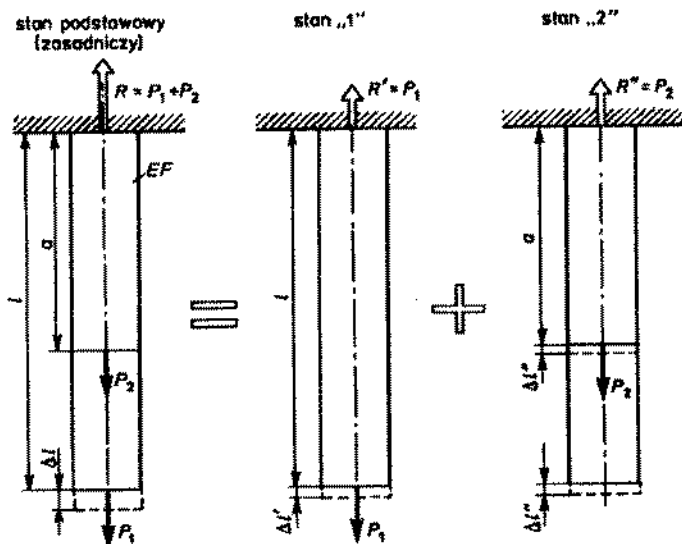


Zjawisko równomiernego rozkładu naprężeń, niezależnie od sposobu przyłożenia obciążenia, w dostatecznej odległości od miejsca przyłożenia siły.

Dla pręta o średnicy  $d_0$ , ta odległość wynosi około  $1.5 \cdot d_0$ .

## Zasada superpozycji

W przypadku złożonego układu obciążeń, można go rozbić na układy proste, których suma daje ten układ złożony.



## Zasady obliczeń wytrzymałościowych na rozciąganie i ściskanie.

### Naprężenia dopuszczalne. Współczynnik bezpieczeństwa.

$K$  – naprężenie niszczące: np.:  $R_e$  dla materiałów sprężysto-plastycznych  
 $R_m$  dla materiałów kruchych

$k$  – naprężenie dopuszczalne

$$k = \frac{K}{n} \quad \text{gdzie } n - \text{warunek bezpieczeństwa}$$

$$k_r = \frac{R_e}{n_e} = \frac{R_m}{n_m}, \quad R_m > R_e \Rightarrow n_m > n_e$$

$$\sigma_r = \frac{P}{S} \leq k_r$$

## **Rozwiązywanie statycznie niewyznaczalnych układów prętowych**

1. Warunki równowagi (sił i momentów sił – uproszczenie: pomija się wpływ przemieszczeń)
2. Warunki geometryczne (nierozdzielność przemieszczeń)
3. Warunki fizyczne (np. prawo Hooke’a, rozszerzalność termiczna)

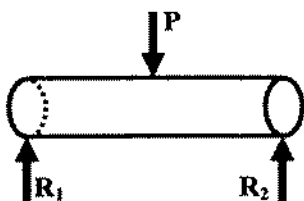
## Klasyfikacja obciążeń prostych



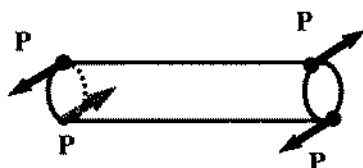
rozciąganie



ściskanie

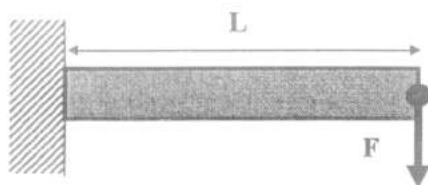


zginanie  
moment gnący



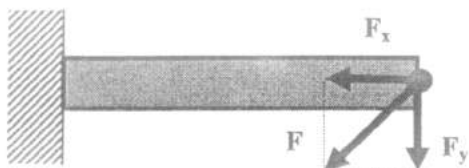
skręcanie  
moment skręcający

## Własności wytrzymałości przy zginaniu



Moment siły, moment gnący  
w miejscu przytwierdzenia pręta

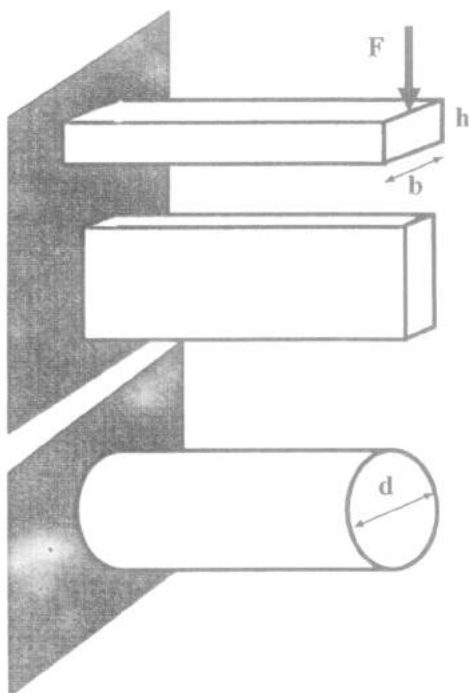
$$M = F \cdot L \quad [\text{N} \cdot \text{m}]$$



$F_x$  – składowa siły ściskająca

$F_y$  – składowa siły zginająca

$$M = F_y \cdot L$$



Wskaźnik przekroju przy zginaniu  
dla belki o przekroju prostokątnym

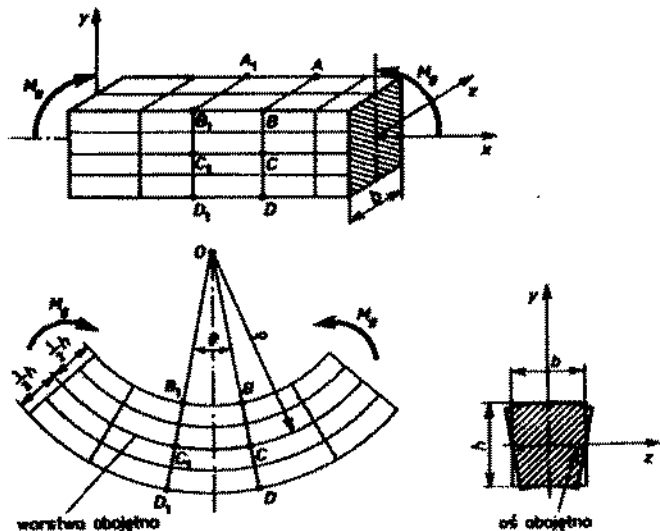
$$W_g = \frac{b \cdot h^2}{6} \quad [\text{m}^3]$$

dla belki o przekroju kołowym

$$W_g = \frac{\pi \cdot d^3}{32} \quad [\text{m}^3]$$

## Własności wytrzymałości przy zginaniu

### Opis odkształceń zginanego pręta o przekroju prostokątnym



**W zakresie stosowalności prawa Hooke'a dla czystego zginania:**

1. końcowe przekroje pręta pozostają płaskie – wszystkie przekroje poprzeczne pręta pozostają także płaskie (*hipoteza płaskich przekrojów*)
2. względne odkształcenia poprzeczne pręta są w każdym punkcie  $v$  razy mniejsze od odkształceń wzdłużnych – poszczególne warstwy równoległe do osi pręta nie wywierają na siebie nacisków poprzecznych
3. stan naprężenia w zginanym pręcie jest jednoosiowy, ale nie jednorodny

**Uwaga:** niejednorodny stan naprężenia utrudnia analizę wyników próby zginania, zwłaszcza dla metali ciągliwych – stosuje się ją zatem głównie do badania materiałów kruchych

# Własności wytrzymałości przy zginaniu

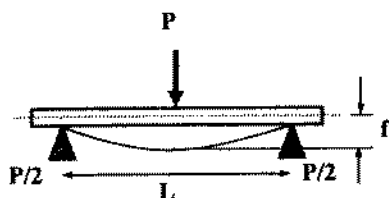
## Statyczna próba zginania

### Trójpunktowa próba zginania:

$f$  – strzałka ugięcia

$$M_g = \frac{P \cdot L}{4} \quad [\text{Nm}]$$

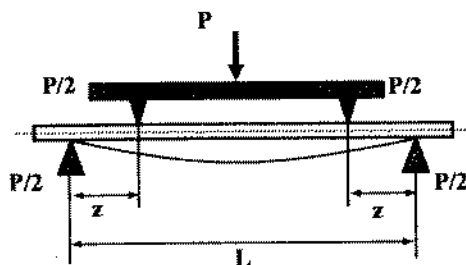
$$\sigma_g = \frac{M_g}{W_g} = \frac{P \cdot L}{4 \cdot W_g} \quad [\text{Pa}]$$



### Czteropunktowa próba zginania

$$M_g = \frac{P \cdot z}{2} \quad [\text{Nm}]$$

$$\sigma_g = \frac{M_g}{W_g} = \frac{P \cdot z}{2 \cdot W_g} \quad [\text{Pa}]$$



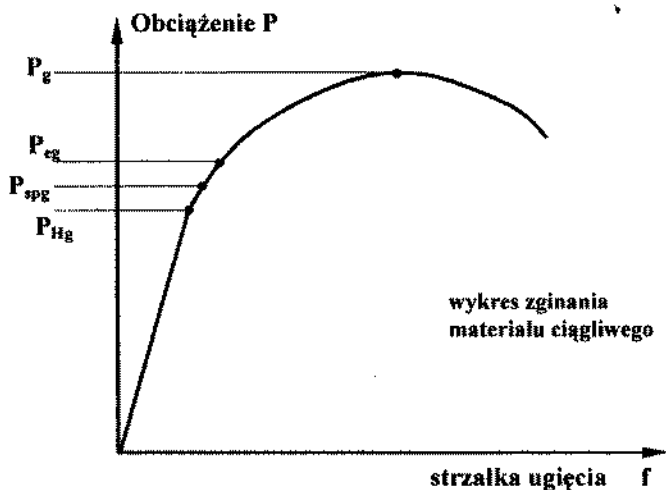
### Wskaźniki przekroju belki

$$W_g = \frac{b \cdot h^2}{6} \quad \text{- dla belki o przekroju prostokątnym (h – wysokość w kierunku F)}$$

$$W_g = \frac{\pi \cdot d^3}{32} \quad \text{- dla belki o przekroju kołowym o średnicy d}$$



## Własności wytrzymałości przy zginaniu Statyczna próba zginania



$R_g$  – wytrzymałość na zginanie (jest to naprężenie wyliczone ze wzoru  $M_g/W_g$  dla obciążenia  $P_g$ )

$R_{Hg}$  – granica sprężystości liniowej przy zginaniu (naprężenie dla  $P_{Hg}$ )

$R_{spg}$  – granica sprężystości przy zginaniu (naprężenie dla  $P_{spg}$ )

$R_{g0.2}$  – umowna granica plastyczności przy zginaniu (naprężenie dla  $P_{g0.2}$ )

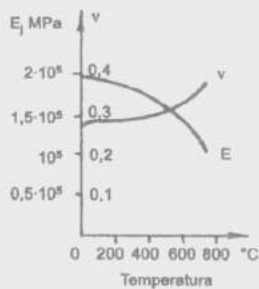
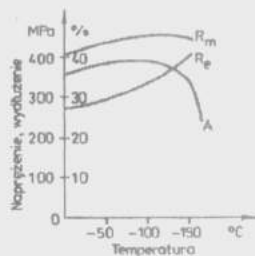
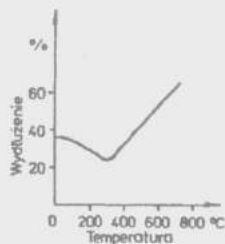
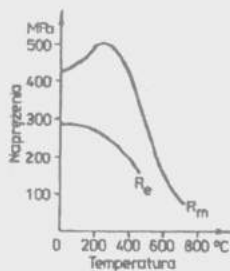
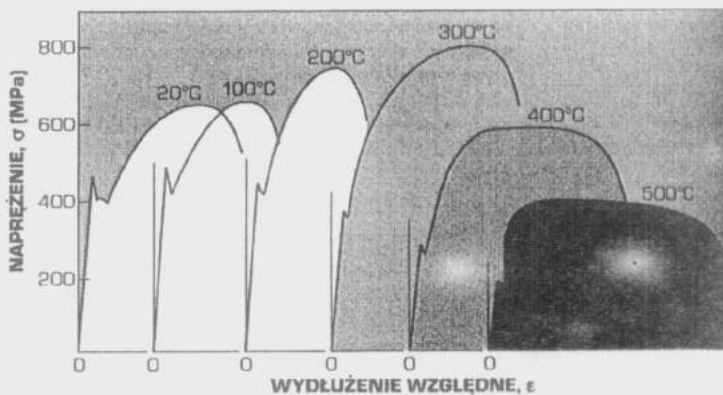
# **Własności wytrzymałości przy zginaniu** **Statyczna próba zginania**

Umowną granicę plastyczności przy zginaniu  $R_{g0.2}$  oblicza się przyjmując, że skrajne włókna próbki ulegają względnemu wydłużeniu  $\epsilon = 0.2\%$ .

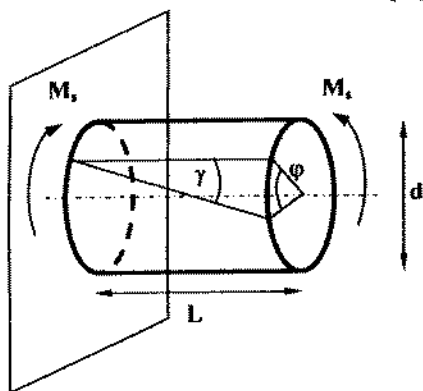
Strzałkę ugięcia  $f_{g0.2}$  odpowiadającą temu wydłużeniu oblicza się z tabeli.

Sposób obciążenia	Przekrój próbki	
	kołowy	prostokątny
w środku siłą P	$f_{g0.2} = \frac{L^2 \cdot \epsilon}{6 \cdot d}$	$f_{g0.2} = \frac{L^2 \cdot \epsilon}{6 \cdot h}$
dwiema siłami P/2	$f_{g0.2} = \frac{(L - 2z)^2 \cdot \epsilon}{4 \cdot d}$	$f_{g0.2} = \frac{(L - 2z)^2 \cdot \epsilon}{4 \cdot h}$

# Krzywe rozciągania stali węglowej w różnych temperaturach



**Własności mechaniczne przy skręcaniu**  
**Opis odkształceń skręcanego pręta o przekroju kołowym**  
**w zakresie sprężystości liniowej**



Stan odkształcenia próbki charakteryzuje jednostkowy kąt skręcania

$M_t$  – moment skręcający

$$\phi' = \frac{\phi}{L}$$

$\phi$  – kąt skręcenia pręta [rad]

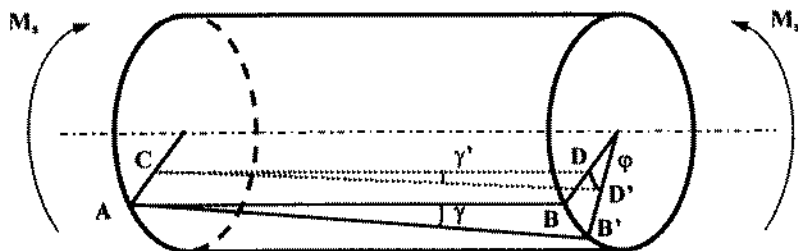
$L$  – długość pręta

$d$  – średnica pręta

$\gamma$  – kąt odkształcenia postaciowego [rad]

1. Przekroje końcowe pręta pozostają płaskie, długość oraz średnica pręta nie ulegają zmianie
2. Linie obwodowe pozostają nadal płaskie i zachowują kształt kołowy
3. Promień przekroju końcowego obraca się w trakcie skręcania o kąt  $\phi$ , pozostając cały czas liniowym
4. Hipoteza płaskich przekrojów – każdy przekrój poprzeczny pręta pozostaje płaski, a każdy promień pomyślany w środku pozostaje odcinkiem prostym
5. W przekrojach poprzecznych nie występują naprężenia normalne (ani rozciągające ani ściskające) tylko równoległe do tych płaszczyzn (tzw. ścinające lub tnące)
6. Nie zachodzi zmiana objętości pręta, tylko zmiana postaciowa (kąty proste odkształcają się o kąt  $\gamma$ )
7. Warstwy równoległe do osi próbki po skręceniu układają się wzdłuż linii śrubowej

**Własności mechaniczne przy skręcaniu**  
**Opis odkształceń skręcanego pręta o przekroju kołowym**  
**w zakresie sprężystości liniowej**



Związek pomiędzy kątem skręcenia  $\varphi$  a kątem odkształcenia postaciowego  $\gamma$ :

$$\gamma \cdot L = \varphi \cdot r$$

$L$  – długość próbki       $r$  – odległość od osi próbki

1. Kąt odkształcenia postaciowego  $\gamma$  wzrasta wraz z odległością od osi próbki  
 $\gamma > \gamma'$
2. Naprężenia tnące (ścinające) wzrastają od zera na osi próbki do wartości maksymalnej na powierzchni próbki w sposób liniowy

**Dla pręta o przekroju kołowym:**

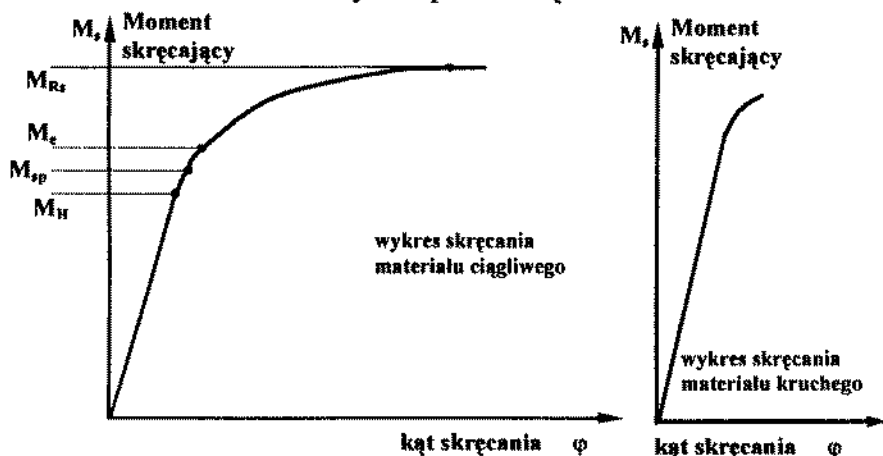
$$\varphi = \frac{32 \cdot M \cdot L}{\pi \cdot d^4 \cdot G}$$

$$G = \frac{E}{2 \cdot (1 + \nu)}$$

- moduł (współczynnik) sprężystości poprzecznej

(lub moduł sprężystości postaciowej lub moduł Kirchhoffa)

## Własności wytrzymałości przy skręcaniu Statyczna próba skręcania



Wskaźnik na skręcanie dla próbek o przekroju poprzecznym kołowym:

$$W_S = \frac{\pi \cdot d^3}{16} \quad [m^3]$$

dla próbek rurowych o średnicy zewn.  $d_z$  i wew.  $d_w$ :

$$W_S = \frac{\pi}{16} \cdot \frac{d_z^4 - d_w^4}{d_z} \quad [m^3]$$

$$R_H = \frac{M_H}{W_S} \quad \text{- granica sprężystości przy skręcaniu}$$

$$R_{sp} = \frac{M_{sp}}{W_S} \quad \text{- granica sprężystości}$$

$$R_e = \frac{M_e}{W_S} \quad \text{- granica plastyczności przy skręcaniu}$$

$$R_{Rs} = \frac{M_{Rs}}{W_S} \quad \text{- wytrzymałość na skręcanie dla materiałów kruchych}$$

$$R_{Rs} = \frac{3 \cdot M_{Rs}}{4 \cdot W_S} \quad \text{- wytrzymałość na skręcanie dla materiałów ciągliwych}$$

## Własności wytrzymałości przy skręcaniu Statyczna próba skręcania

Umowna granica plastyczności:

$$\gamma_{\max} = 1.5 \cdot \varepsilon_{0.2}$$

$\varepsilon_{0.2}$  – umowna granica plastyczności przy rozciąganiu odpowiadająca trwałemu odkształceniu względnemu podłużnemu 0.2%

$$\varphi_{\max} = \gamma_{\max} \cdot \frac{L}{r} = \frac{1.5 \cdot L \cdot \varepsilon_{0.2}}{r}$$

$\varphi_{\max}$  – dopuszczalny kąt skręcenia

Dla próbek ciągłych po przekroczeniu granicy plastyczności pojawia się odkształcenie trwale polegające na:

- zmianie kierunku przebiegu krzywej skręcania
- niewielkiemu wydłużeniu próbek
- cechy granicy plastyczności nie pojawiają się tak wyraźnie jak w próbie rozciągania, gdyż odkształcenia plastyczne pojawiają się najpierw w warstwach zewnętrznych, a zatem nie pojawiają się jednocześnie w całym przekroju

### Pomiary twardości (statyczne)

**Twardość** - miara umowna, określa odporność materiału na powstanie odkształcenia trwałego (plastycznego) wskutek oddziaływania na jego powierzchnię innego twardszego przedmiotu - wglębnika.

Metody pomiaru twardości dzielą się na:

- **statyczne:** polegają na powolnym wciskaniu wglębnika w materiał przy działaniu stałej lub stopniowo wzrastającej siły do określonej wartości
- **dynamiczne:** polegają na uderzeniowym oddziaływaniu twardego elementu na powierzchnię badanego materiału, są mniej dokładne i mniej jednoznacznie określone w porównaniu do metod statycznych, używane są rzadziej

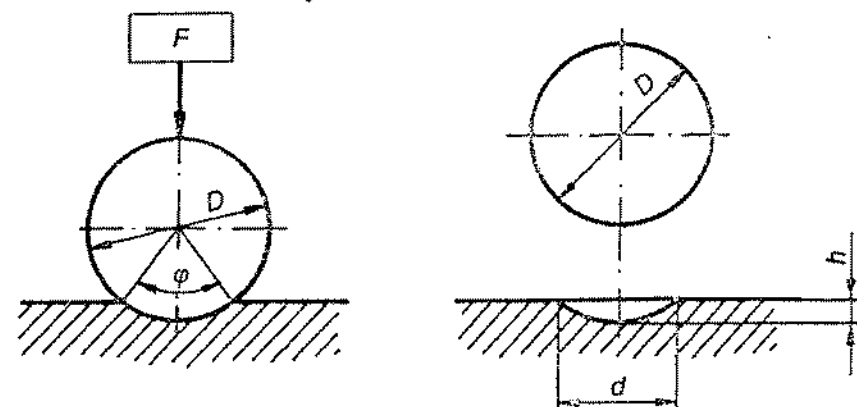
#### Uwagi:

1. Twardość nie jest stałą materiałową, bardzo zależy ona od metody jej wyznaczenia.
2. Porównywanie twardości jest możliwe zasadniczo w zakresie jednej metody i z wieloma zastrzeżeniami: podobieństwo geometryczne odcisków.
3. Istnieje korelacja pomiędzy twardością a innymi właściwościami mechanicznymi materiału (wytrzymałością na rozciąganie, sprężystością, własnościami plastycznymi), np.:

dla stali węglowej nie hartowanej:  $R_m \approx 0.35 \cdot HB$

WYKRAJ 111

### Pomiary twardości - metoda Brinella



**Zasada metody:** wciskanie w badany materiał twardej kulki o średnicy  $D$  pod działaniem siły  $F$  zależnej od średnicy kulki i twardości badanego materiału oraz pomiar średnicy  $d$  trwałego odcisku po odejściu, w celu określenia pola powierzchni odcisku.

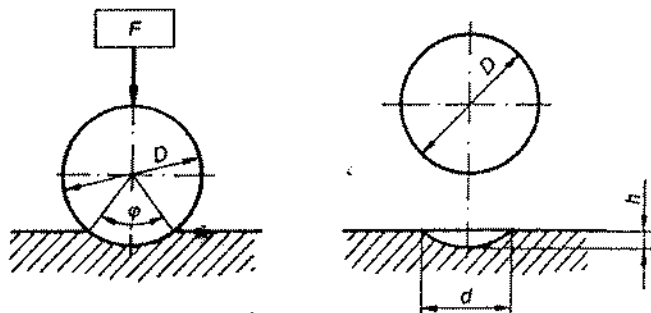
Twardość Brinella:  $HB = 0.102 \cdot \frac{F}{S}$  (miara nie podaje się)

$F$  - siła obciążająca [N],  $S$  - pole powierzchni odcisku (czasy) [ $mm^2$ ]

Współczynnik 0.102 wynika z przeliczenia niutonów na kilogramy.



### Pomiary twardości – metoda Brinella

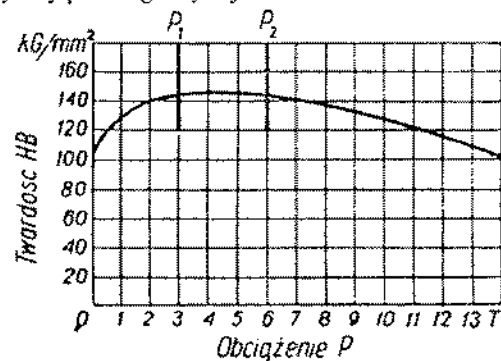


$$S = \pi \cdot D \cdot h, \quad h = \frac{1}{2} \cdot (D - \sqrt{D^2 - d^2}), \quad S = \pi \cdot \frac{D}{2} \cdot (D - \sqrt{D^2 - d^2})$$

$$HB = \frac{0.204 \cdot F}{\pi \cdot D \cdot (D - \sqrt{D^2 - d^2})}$$

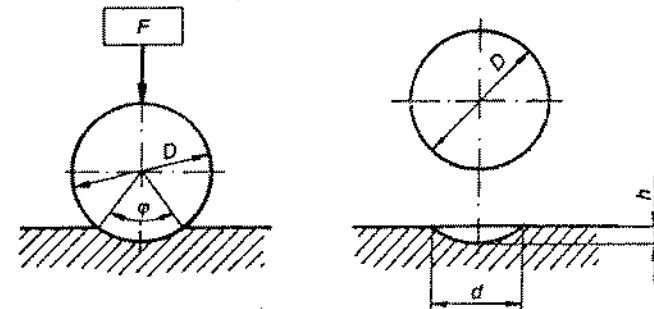
Twardość Brinella zależy od F, D oraz d.

Charakterystyczny przebieg krzywej twardości Brinella w funkcji obciążenia



W pewnym zakresie obciążeń ( $P_1 < P < P_2$ ) wokół maksimum krzywej twardość Brinella jest wielkością w przybliżeniu stałą.

### Pomiary twardości – metoda Brinella



**Obserwacja:** w pewnym zakresie obciążeń dla danego materiału, wartość HB nie ulega większym zmianom. Zachodzi to, gdy spełniony jest warunek:

$$0.24 \cdot D \leq d \leq 0.6 \cdot D$$

**Wniosek:** aby mierzone twardości były porównywalne powinno być zachowane podobieństwo geometryczne odcisków, tzn.:

$$\phi = \text{const}$$

Zależność między  $\phi$ , D oraz d:

$$d = D \cdot \sin \frac{\phi}{2}$$

# Pomiary twardości – metoda Brinella

$$HIB = \frac{0.204 \cdot F}{\pi \cdot D \cdot (D - \sqrt{D^2 - d^2})} \quad \leftarrow \quad d = D \cdot \sin \frac{\varphi}{2}$$

$$HIB = \frac{F}{D^2} \cdot \frac{0.204}{\pi \cdot (1 - \cos \frac{\varphi}{2})} = \frac{F}{D^2} \cdot \text{const}$$

$$\frac{F_1}{D_1^2} = \frac{F_2}{D_2^2} = \frac{F_3}{D_3^2} = \dots = \frac{F_n}{D_n^2} = K \cdot 9.807$$

Wartości współczynnika K są znormalizowane i wynoszą:  
30, 15, 10, 5, 2.5, 1.25, 1.

# Pomiary twardości – metoda Brinella

Wartość K dobiera się tak, aby spełniony był warunek:  
 $0.24 \cdot D \leq d \leq 0.6 \cdot D$

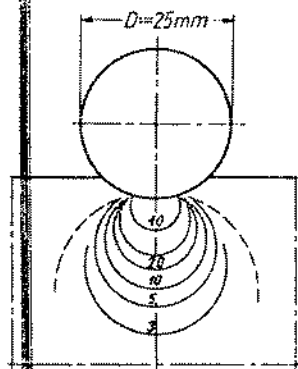
Wielkość siły obciążającej F w zależności od średnicy kulki D i współczynnika K

Współczynnik <i>K</i>	Średnica kulki <i>D</i> , mm					Zalecenia dotyczące wyboru współczynnika <i>K</i> w zależności od materiału i jego twardości	
	10	5	2.5	2	1	Rodzaj materiału	Twardość HB (HBS lub HBW)
	Siła obciążająca <i>F</i> , N (kg)						
30	29420 (3000)	7355 (750)	1839 (187,5)	1177 (120)	294,2 (30)	stal niezależnie od twardości oraz żeliwo i stopy Ni, Co, Ti itd. o twardości powyżej 140 HB, stopy miedzi i innych metali o twardości powyżej 200 HB	90 + 650
15	14710 (1500)	—	—	—	—	miedź i jej stopy o twardości 50 + 300 HB, metale lekkie i ich stopy oraz stopy łożyskowe o twardości powyżej 50 HB	50 + 325
10	9807 (1000)	2452 (250)	612,9 (62,5)	392,3 (40)	98,07 (10)	żeliwo i stopy Ni, Co, Ti itd. o twardości poniżej 140 HB, stopy miedzi o twardości 3 do 200 HB, stopy aluminium o twardości powyżej 80 HB	32 + 200
5	4903 (500)	1226 (125)	306,5 (31,25)	196,1 (20)	49,03 (5)	miedź i jej stopy o twardości poniżej 35 HB, stopy aluminium, stopy łożyskowe oraz magnez, cynk i ich stopy o twardości 35 do 80 HB	16 + 100
2.5	2452 (250)	612,9 (62,5)	153,2 (15,625)	98,07 (10)	24,52 (2,5)	aluminium i jego stopy oraz stopy łożyskowe o twardości poniżej 35 HB	8 + 50
1.25	1226 (125)	306,5 (31,25)	76,6 (7,8125)	49,03 (5)	12,26 (1,25)	ołów, cyna, stopy łożyskowe i inne metale o twardości poniżej 20 HB	+ 25
1	980,7 (100)	245,2 (25)	61,29 (6,25)	39,23 (4)	9,807 (1)	stopy łożyskowe, cyna, ołów oraz inne metale i ich stopy o twardości poniżej 20 HB	3,2 + 20

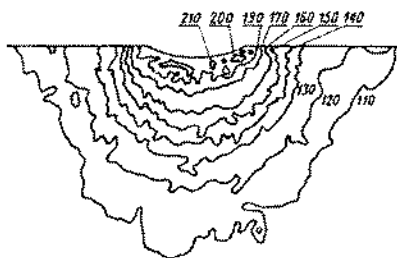
## Twierdzenie Brinella

Zmiany występujące w materiale pod wpływem wgniatania wgłębnika

Wyniki eksperymentalnego określenia zgniotu materiału pod wciskaną kulką:

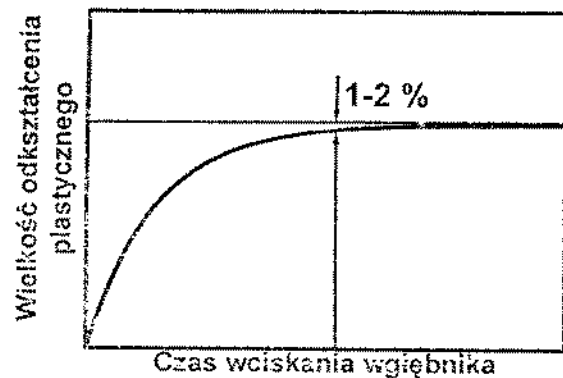


Utworzenie materiału pod kulką otrzymane w badaniach wciskania kulki w próbkę składającą się z szeregu złączonych blaszek.



Utworzenie materiału po kulką o średnicy  $D = 50$  mm i pod obciążeniem  $P = 30 \cdot D^2$ , odcisk  $d = 28.8$  mm. Wynik otrzymany metodą elastooptyczną

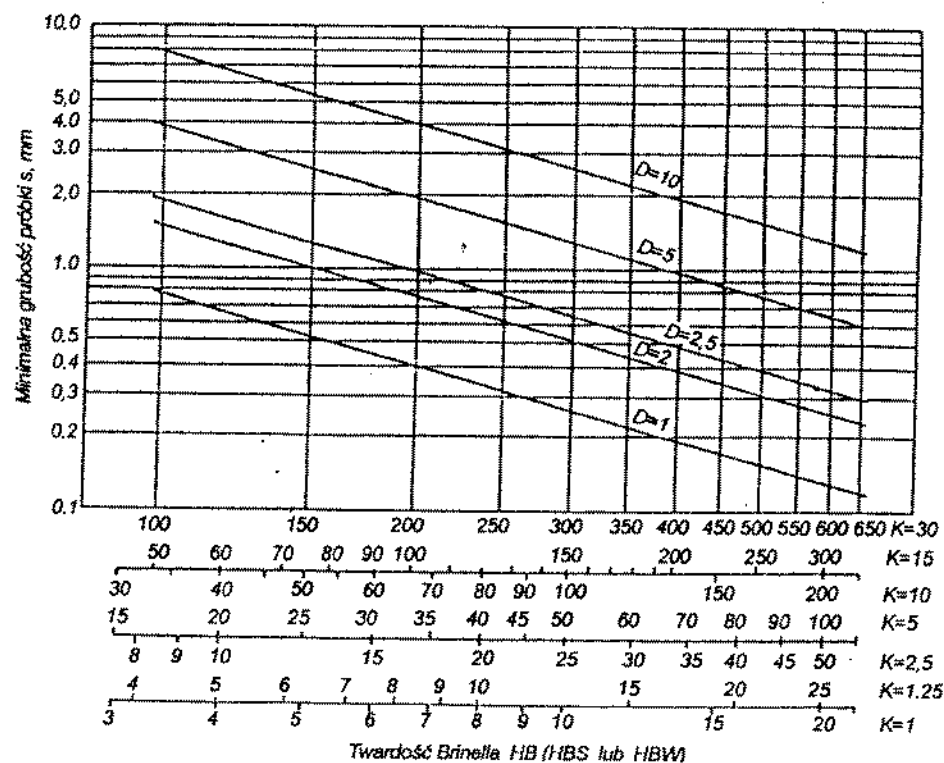
Określenie czasu potrzebnego do wcisnięcia wgłębnika



## Pomiary twardości – metoda Brinella

Grubość próbki – powinna być co najmniej 8 razy większa od głębokości odcisku  $h$ .

$$h = \frac{F \cdot 0.102}{\pi \cdot D \cdot HB}$$

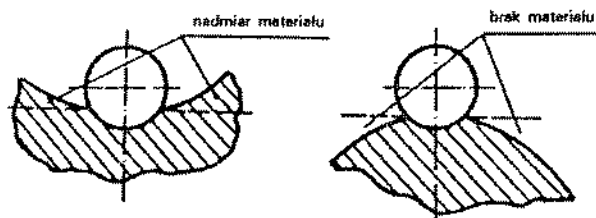


Minimalna grubość badanej próbki w zależności od twardości  $HB$

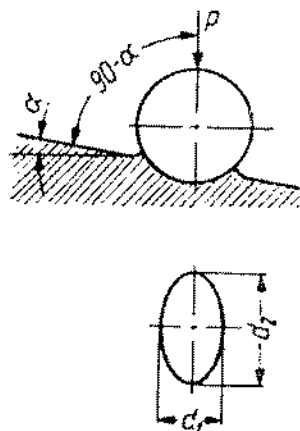
Dla metali nieżelaznych i ich stopów wyznaczoną z wykresu minimalną grubość należy pomnożyć przez 1.5.

## Metoda Brinella

Wpływ krzywizny badanej powierzchni na powstawanie błędów:



Wpływ nieprostokątności powierzchni (lub nie prostopadłe wciskanie kulki) na kształt odcisku



## Pomiary twardości – metoda Brinella

### 1. Zakres stosowania:

- do badania twardości mniejszej od 450 HB używano kulek stalowych o twardości min. 850 HV 10
- do badania twardości do 650 HB używa się kulek wykonanych z węglików spiekanych

Dawniej dla materiałów o twardości  $> 350$  HB zmierzonych przy użyciu kulki stalowej używano oznaczenia HBS, a wartości twardości otrzymywane przy użyciu kulki z węglików spiekanych oznaczano HBW. Obecnie używa się wyłącznie kulek z węglików spiekanych.

### 2. Wymagania, które należy spełnić w metodzie Brinella:

- **kształt badanego przedmiotu** – możliwie płaski, umożliwiając nieruchome ustawienie przedmiotu tak, aby badana powierzchnia była prostopadła do kierunku działania siły obciążającej; dopuszcza się przeprowadzenie próby twardości na powierzchni, której najmniejszy promień krzywizny jest większy od trzykrotnej średnicy kulki
- **jakość powierzchni** – gładka i oczyszczona ze zgorzeliny oraz smarów, przy wyglądaniu należy zachować ostrożność, aby nie zmienić twardości poprzez nagrzanie lub zgniot
- **odstęp środków odcisków** – co najmniej 4-krotnie większy od średnicy odcisku
- **temperatura** – dla próby kontrolnej i odbiorczej  $20 \pm 15^\circ\text{C}$ , a dla próby rozjemczej  $23 \pm 5^\circ\text{C}$
- **czas działania siły obciążającej** – próbkę należy obciążyć bez wstrząsów równomiernie do żądanej siły w czasie od 2 do 8 s; czas działania siły powinien wynieść:
 

dla	HB > 100	-	10 ÷ 15 s
	$100 \geq \text{HB} \geq 35$	-	30 s
	$35 \geq \text{HB} \geq 10$	-	120 s
	HB < 10	-	180 s
- **pomiar odcisku** – w dwóch wzajemnie prostopadłych kierunkach, a przy odciskach wzdłużnych i nieregularnych mierzy się najmniejszą i największą średnicę; średnia arytmetyczna służy do wyznaczenia HB

## Pomiary twardości – metoda Brinella

### 3. Oznaczenie twardości Brinella:

dla kulki 10 mm i siły obciążającej 29420 N (3000 kG) działającej przez 10÷15 s  
oznaczenie wygląda:

*wartość HBW*

w innych przypadkach:

*wartość HBW  $D/0.102 \cdot F/\tau$*

D – średnica kulki [mm]

F – wielkość obciążenia [N]

$\tau$  – czas działania obciążenia [s]

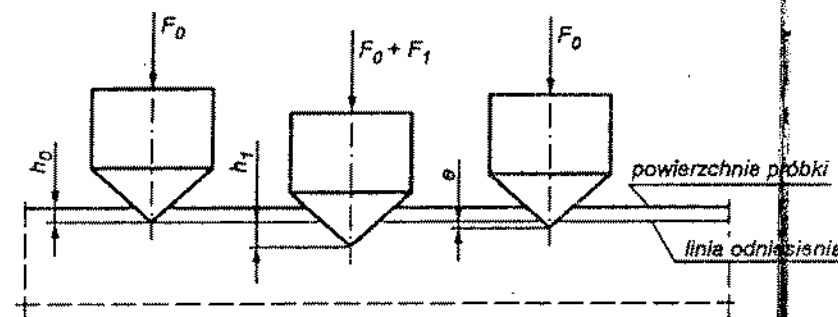
### 3. Dokładność podawania wyników:

twardość > 100 HB, dokładność 1 HB

twardość 10÷100 HB, dokładność 0.1 HB

twardość < 10 HB, dokładność 0.01 HB

## Pomiary twardości – metoda Rockwella

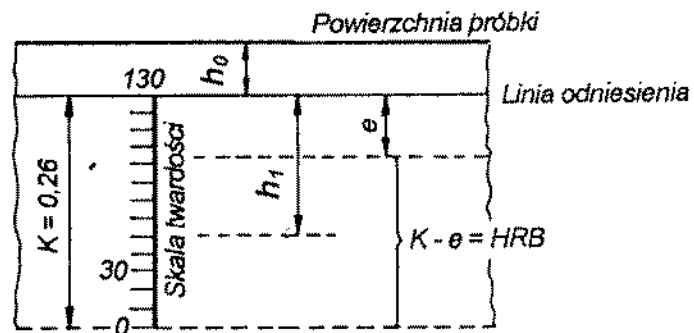
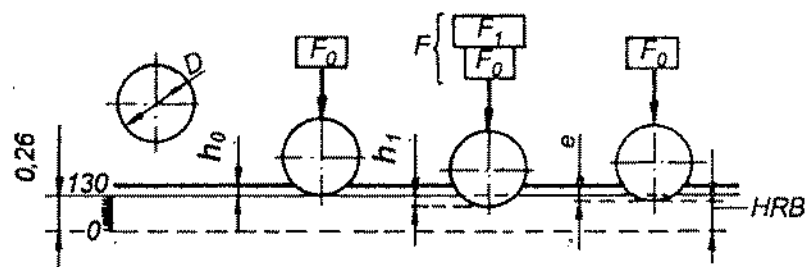
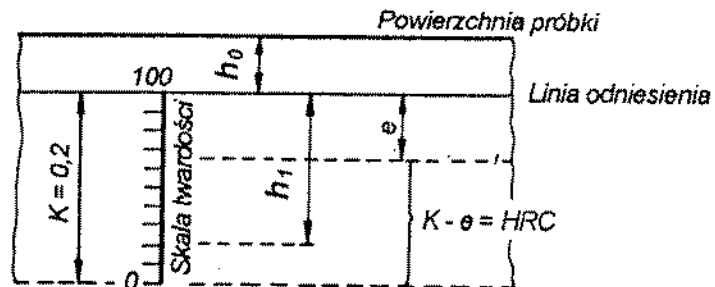
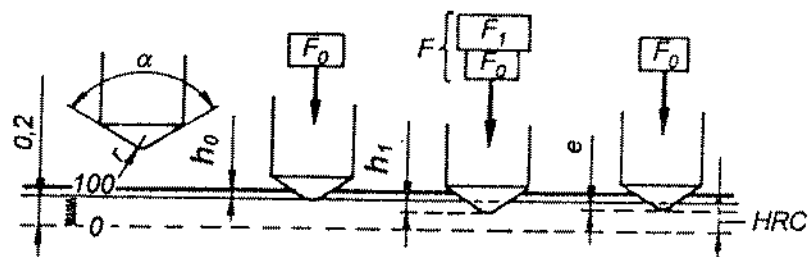


**Zasada metody:** dwustopniowe wciskanie stożka diamentowego o kącie wierzchołkowym  $\alpha = 120^\circ$  lub kulki stalowej o twardości nie mniejszej niż 850 HB i średnicy 1.588 mm (1/16 cala) lub 3.175 mm (2/16 cala)

### Etapy pomiaru:

1.  $F_0$  – obciążenie wstępne, wciska wgłębnik na głębokość  $h_0$
2.  $F_1$  – obciążenie główne.  $F_0 + F_1$  wciska wgłębnik na głębokość  $h_1$
3. Odciąża się  $F_1$  ( $F_0$  pozostaje) wgłębnik cofa się nieco (o część sprężystą odkształcenia) i pozostaje w położeniu na głębokości  $h_0 + e$
4.  $e$  – trwały przyrost głębokości
5.  $HR = K - e$ 
  - $K$  – stała = 0.2 mm tj. 100 jednostek dla stożka
  - = 0.26 mm tj. 130 jednostek dla kulki
  - $e$  – podaje się w jednostkach 0.002 mm

# Pomiary twardości – metoda Rockwella



# Pomiary twardości – metoda Rockwella

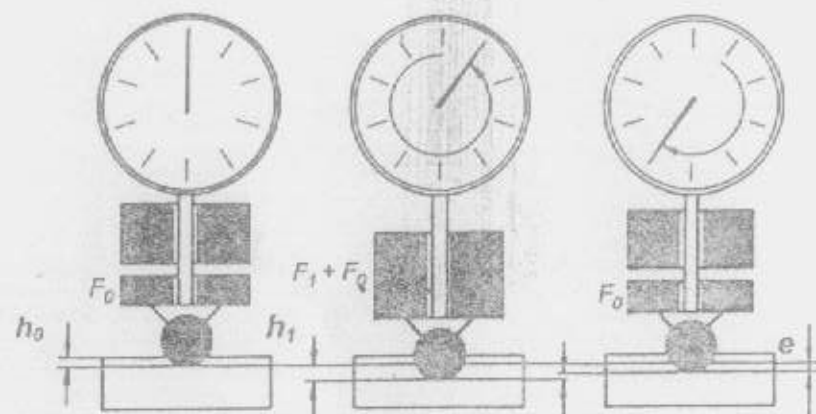
## Skale twardości Rockwella

Skala	Rodzaj węgelnika	Obciążenie wstępne $F_0$ N (kg)	Obciążenie całkowite $F$ N (kg)	Stała K	Oznaczenie twardości
A	stożek diamentowy o kącie wierzchołkowym 120°	98,07 (10)	588,4 (60)	0,2 mm = 100j	HRA
C			1471 (150)		HRC
D			980,7 (100)		HRD
B	kulka stalowa $\phi$ 1,588 mm	98,07 (10)	980,7 (100)	0,26 mm = 130j	HRB
F			588,4 (60)		HRF
G			1471 (150)		HRG
E	kulka stalowa $\phi$ 3,175 mm	98,07 (10)	980,7 (100)	0,26 mm = 130j	HRE
H			588,4 (60)		HRH
K			1471 (150)		HRK

## Zakresy stosowania skal:

HRC	20-70	stale ulepszone cieplnie, twarde żeliwa
HRA	20-88	cienkie blachy, węgliki spiekane
HRD	40-77	
HRB	20-100	metale nieżelazne, stale nieulepszone cieplnie
HRG	30-94	
HRF	60-100	miękkie stale, miedź i metale nieżelazne
HRH	80-100	aluminium, cynk, ołów
HRE	70-100	żeliwa, aluminium, stopy magnezu, cynku, łożyskowe oraz inne miękkie materiały
HRK	40-100	

## Pomiary twardości – metoda Rockwella



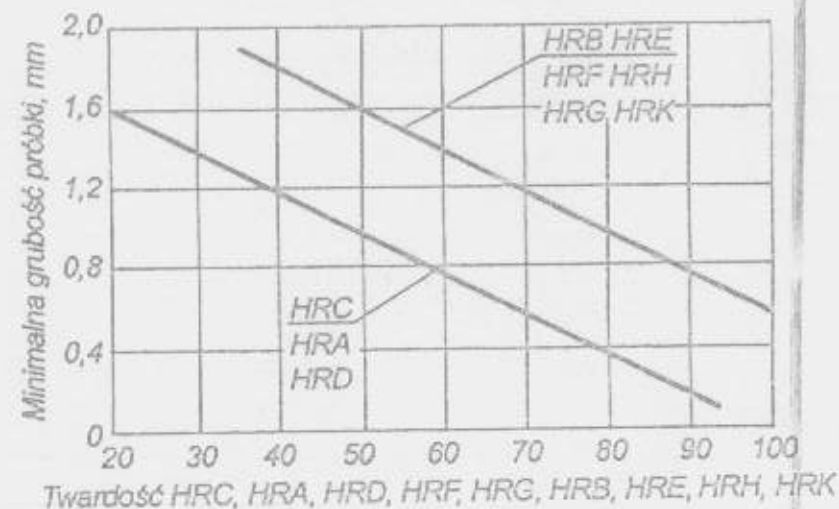
Wskazania czujnika pomiarowego w trakcie wykonywania pomiaru twardości metodą Rockwella



Uniwersalny twardościomierz umożliwiający pomiary metodami: Brinella, Vickersa i Rockwella.

## Pomiary twardości – metoda Rockwella

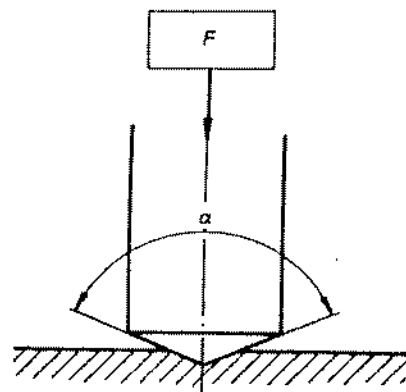
Grubość próbek: powinna być nie mniejsza od 10·e



Czas działania siły obciążającej – po przyłożeniu obciążenia wstępnego i wyzerowaniu czujnika należy przyłożyć obciążenie główne bez wstrząsów, równomiernie w czasie od 2 do 8 s; obciążenie główne zdejmuje się po czasie:

- nie mniejszym niż 1÷3 s po zatrzymaniu się wskazówki czujnika w przypadku metali nie wykazujących widocznych odkształceń plastycznych
- nie mniejszym niż 1÷5 s po zatrzymaniu się wskazówki czujnika w przypadku metali wykazujących nieznaczne odkształcenie
- nie mniejszym niż 10÷15 s po zatrzymaniu się wskazówki czujnika w przypadku metali wykazujących znaczne stopniowe odkształcenie plastyczne

## Pomiary twardości – metoda Vickersa



### Zasada metody:

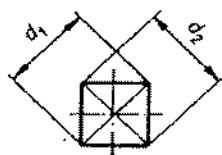
Wciskanie w badany materiał, pod obciążeniem  $F$ , foremnego ostrosłupa diamentowego o podstawie kwadratowej i wierzchołkowym kącie pomiędzy przeciwległymi ścianami  $\alpha = 136^\circ$ .

Po odciążeniu mierzy się przekątne odcisku  $d_1$  i  $d_2$  w celu obliczenia jego powierzchni.

Twardość Vickersa:

$$HV = 0.102 \cdot \frac{F}{S} \quad (\text{miana nie podaje się})$$

$F$  – siła obciążająca [N],  $S$  – pole powierzchni odcisku [ $\text{mm}^2$ ]



$$S = \frac{d^2}{2 \cdot \sin \frac{136^\circ}{2}}$$

$$d = \frac{d_1 + d_2}{2}$$

$$h \approx \frac{d}{7} - \text{głębokość odcisku}$$

$$HV = \frac{0.204 \cdot F \cdot \sin 68^\circ}{d^2} = 0.18915 \cdot \frac{F}{d^2}$$

Powierzchnie odcisków dla węgelnika w postaci ostrosłupa, niezależnie od wielkości obciążenia, są geometrycznie podobne, tzn. **twardość HV nie zależy od obciążenia**.

Kąt wierzchołkowy wynosi  $136^\circ$ , gdyż dla tej wartości kąta wyniki pomiarów twardości metodą Vickersa są porównywalne do wyników pomiarów twardości metodą Brinella dla odcisków równych  $d = 0.375 D$ . Do wartości 350 HB praktycznie się pokrywają. Odchyłki pojawiające się dla większych twardości wynikają z odkształceń sprężystych kulki w metodzie Brinella.

## Pomiary twardości – metoda Vickersa

### 1. Stosowane obciążenia:

1.961	2.942	4.903	9.807	19.61	24.52	29.42	49.03	98.07	196.1	294.2	490.3	980.7	N
0.2	0.3	0.5	1	2	2.5	3	5	10	20	30	50	100	kG

### 2. Wynagania metody Vickersa:

- kształt badanego przedmiotu** – możliwie płaski, umożliwiający nieruchome ustawienie przedmiotu tak, aby badana powierzchnia była prostopadła do kierunku działania siły obciążającej; dopuszcza się przeprowadzenie próby twardości na powierzchniach kulistych lub cylindrycznych (należy użyć poprawek)
- jakość powierzchni** – gładka (chropowatość mniejsza niż  $2.5 \mu\text{m}$  wg parametru  $R_a$ ) i oczyszczona ze zgorzeliny oraz smarów, przy wygładzaniu należy zachować ostrożność, aby nie zmienić twardości poprzez nagrzanie lub zgniot
- odstęp środków odcisków** – od co najmniej  $3d$  dla materiałów twardych (stal), aż do  $6d$  dla materiałów miękkich (ołów, cyna)
- temperatura** – dla próby kontrolnej i odbiorczej  $10 \pm 35^\circ\text{C}$ , a dla próby rozjemczej  $23 \pm 5^\circ\text{C}$
- czas działania siły obciążającej** – próbkę należy obciążyć bez wstrząsów równomiernie do żądanej siły w czasie 15 s; czas działania siły powinien wynieść:  $10 \pm 15$  s, dopuszcza się dłuższy czas
- pomiar przekątnych odcisku** – różnica może wynieść najwyżej 2% dla materiałów izotropowych

### 3. Oznaczenie twardości Vickersa:

wartość HV obciążenie [kG]

np. 600 HV 30

jeśli czas działania obciążenia jest większy, to należy go podać

wartość HV obciążenie / czas

np. 600 HV 10/30

### 4. Dokładność podawania wyników:

twardość  $> 100$  HV, dokładność 1 HV

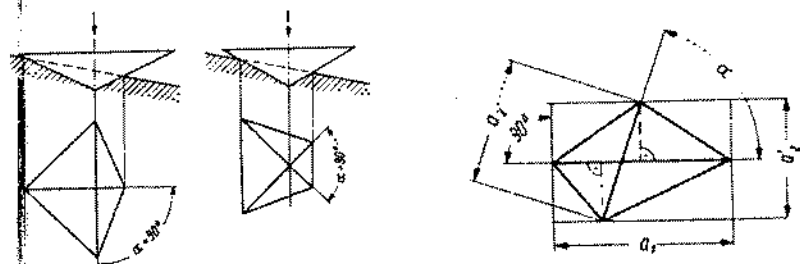
twardość  $10 \div 100$  HV, dokładność 0.1 HV

twardość  $< 10$  HV, dokładność 0.01 HV



## Pomiary twardości – metoda Vickersa

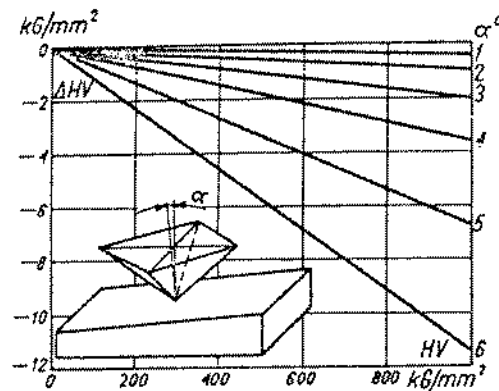
Wpływ braku prostokątności osi ostrosłupa Vickersa względem powierzchni



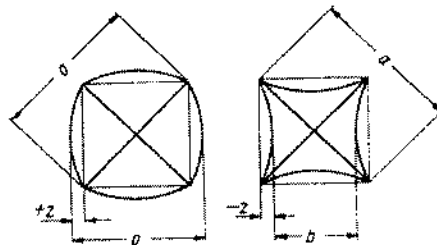
Przypadki zachowania prostokątności przekątnych odcisku

Przypadek braku zachowania prostokątności przekątnych odcisku

Wpływ kąta odchylenia osi ostrosłupa Vickersa względem powierzchni na wartość błędu pomiaru

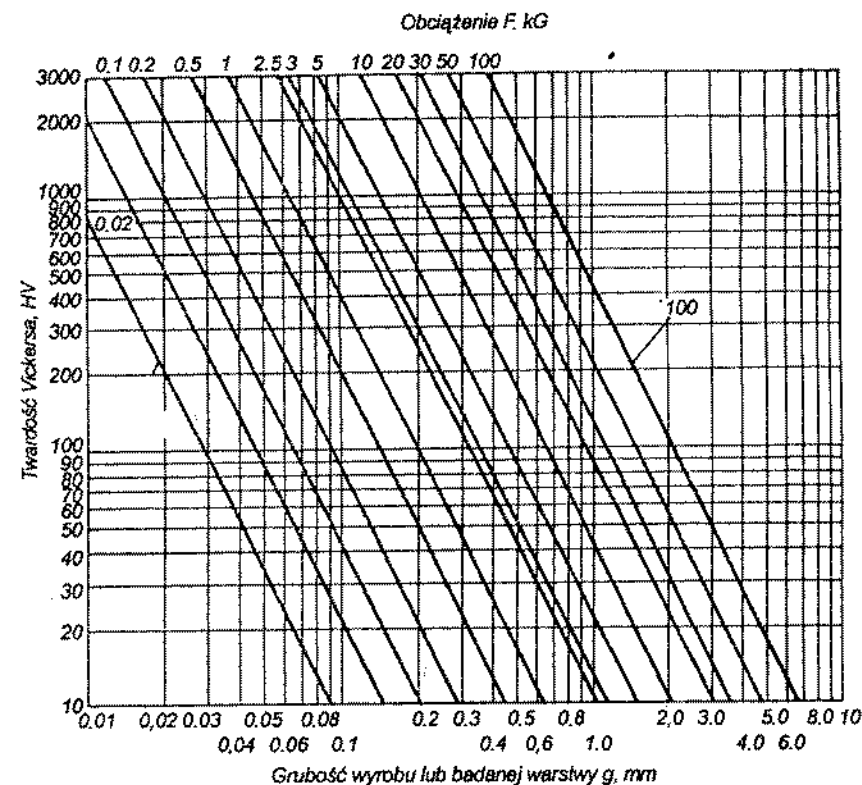


Wpływ anizotropii materiału na kształt (wypukłości i wklęsłości) krawędzi odcisku

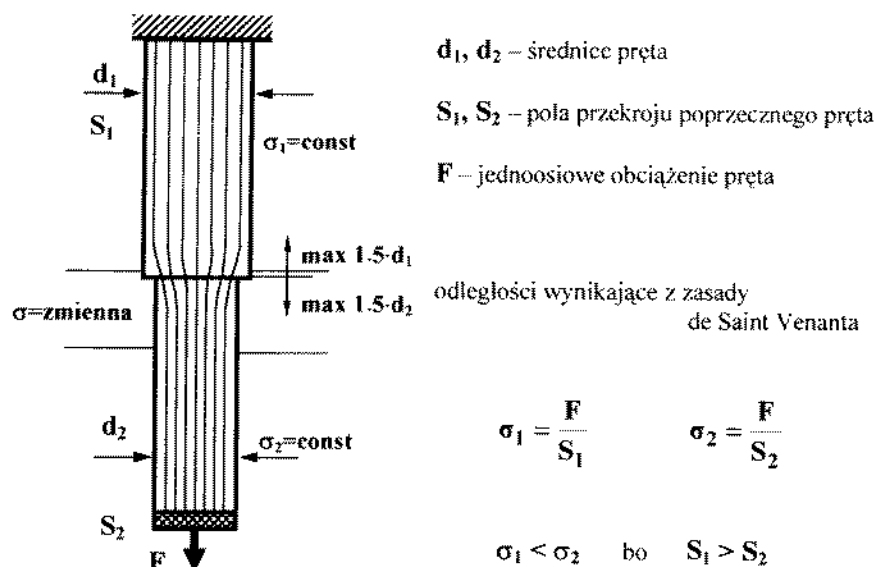


## Pomiary twardości – metoda Vickersa

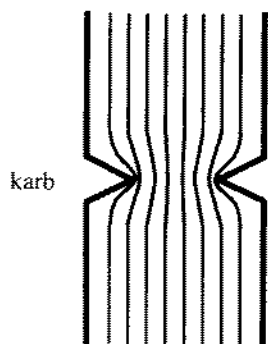
5. Grubość badanego przedmiotu lub badanej warstwy powinna wynosić co najmniej 1.5d, na odwrotnej stronie próbki nie powinno być śladów odkształceń
6. Dobór siły obciążającej



## Rozkład naprężenia w pręcie o zmiennym przekroju poprzecznym



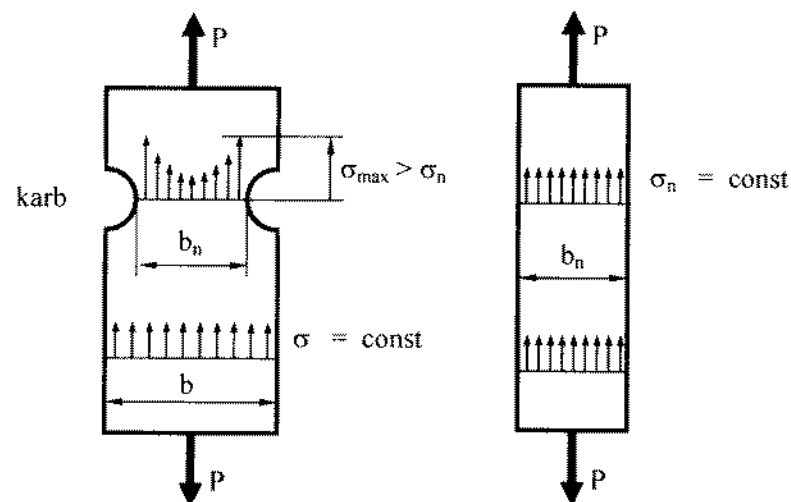
**Karb** - nagła zmiana przekroju poprzecznego elementu maszyny lub konstrukcji (np. nacięcie, rowek)



Naprężenia w pobliżu karbu mają rozkład niejednorodny, którego **wartość maksymalna** pojawia się na dnie karbu.

## Spiętrzenie naprężeń. Współczynnik kształtu.

Przykład płaskownika o szerokości  $b$  i grubości  $g$



$\sigma = \frac{P}{b \cdot g}$  - naprężenie dla płaskownika o szerokości  $b$  i grubości  $g$

$\sigma_n = \frac{P}{b_n \cdot g}$  - **naprężenie nominalne** dla płaskownika o szerokości  $b_n$

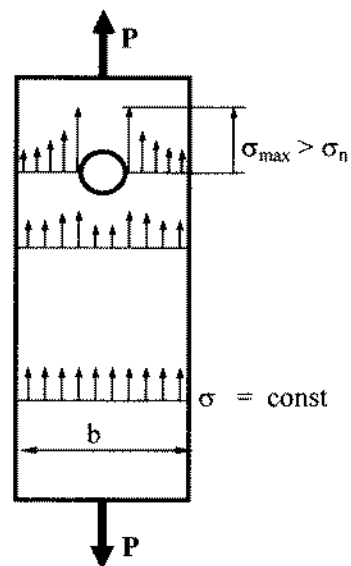
Naprężenia w pobliżu karbu mają rozkład niejednorodny, którego **wartość maksymalna** pojawia się na dnie karbu.

$\sigma_{\max} > \sigma_n$

$\alpha_k = \frac{\sigma_{\max}}{\sigma_n}$  **współczynnik kształtu** (jego wartość zależy od geometrii i wielkości karbu)

## Śpiętrzenie naprężeń. Współczynnik kształtu.

Przykład płaskownika o szerokości  $b$  i grubości  $g$



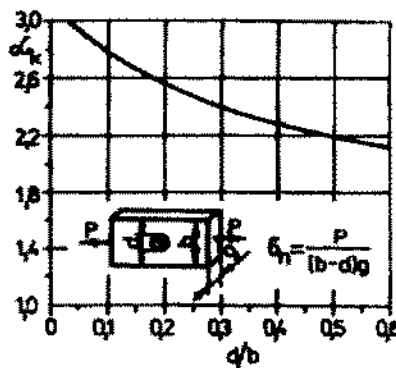
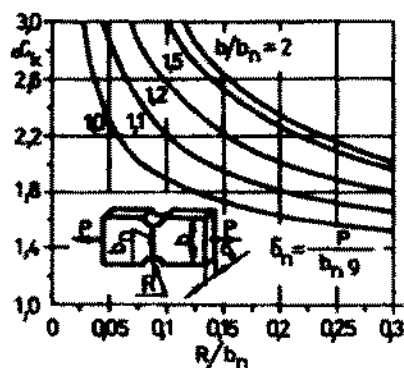
$d$  – średnica otworu

$$\sigma_n = \frac{P}{(b-d) \cdot g}$$

- naprężenie nominalne w przekroju przechodzącym przez średnicę otworu

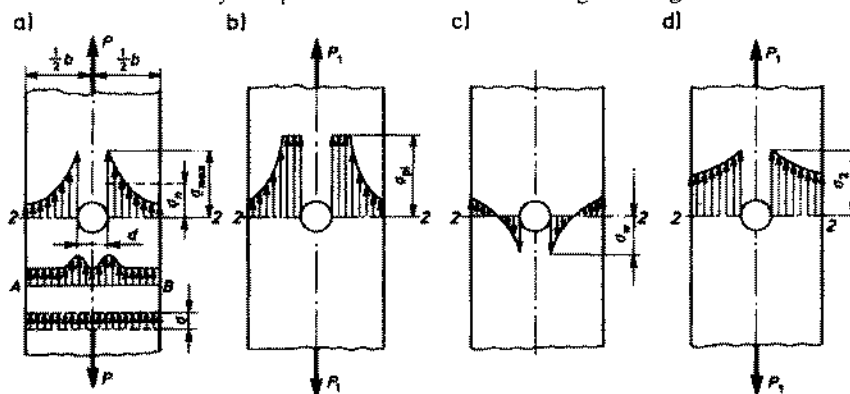
$$\alpha_k = \frac{\sigma_{\max}}{\sigma_n}$$

Wartości współczynników  $\alpha_k$  dla dwóch rodzajów karbu w płaskownikach obciążonych siłą osiową.



## Śpiętrzenie naprężeń. Współczynnik kształtu.

Przykład płaskownika o szerokości  $b$  i grubości  $g$



- Obciążenie  $P$  wywołuje spiętrzenie naprężeń blisko karbu  $\sigma_{\max} > \sigma_n > \sigma$
- Większe obciążenie  $P_1$  wywołuje spiętrzenie naprężeń, które osiąga granicę plastyczności  $\sigma_{\max} = \sigma_{pl} = R_e$  – wokół karbu zachodzą odkształcenia plastyczne (trwałe), w pozostałej części płaskownika (daleko od karbu) naprężenia są poniżej granicy plastyczności (w zakresie sprężystości)
- Po odciążeniu płaskownika wokół karbu pozostają naprężenia wstępne: ujemne (ściskające) przy dnie karbu, dodatnie (rozciągające) dalej od niego
- Ponowne przyłożenie obciążenia  $P_1$  wywołuje inny rozkład naprężeń wokół karbu (w reszcie płaskownika daleko od karbu naprężenia są identyczne jak poprzednio) – tym razem naprężenia są mniejsze przy dnie karbu a większe przy brzegach płaskownika ze względu na istnienie naprężeń wstępnych - w całej próbce naprężenia są poniżej granicy plastyczności.

Dla materiałów **sprężysto-plastycznych** (z granicą plastyczności) nie uwzględnia się spiętrzenia naprężeń w obliczeniach wytrzymałościowych dotyczących **obciążeń stałych** ze względu na powyższy efekt.

Śpiętrzenie naprężeń odgrywa kluczową rolę dla wytrzymałości materiałów działających pod **zmiennymi obciążeniami** (efekty zmęczenia).

## Próba udarności

### Udarowa próba zginania próbek z karbem

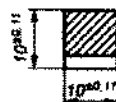
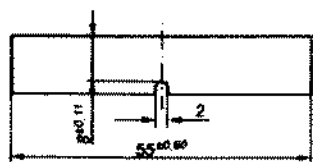
**Udarność** – odporność materiału na działanie obciążeń dynamicznych, wyrażona ilością pracy potrzebnej do złamania określonej próbki przypadającej na jednostkę powierzchni jej przekroju poprzecznego w miejscu złamania

$$KC = \frac{K}{S_0} \quad [J/cm^2]$$

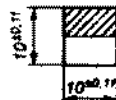
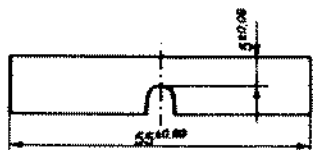
przelicznik na stare jednostki:

$$1 J/cm^2 = 0.102 kGm/cm^2$$

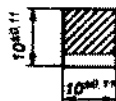
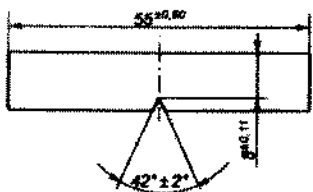
### Próbki



Karb w kształcie U



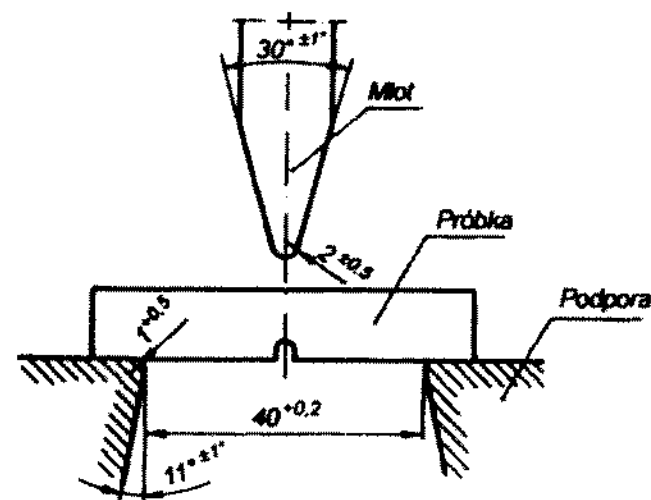
Karb w kształcie U



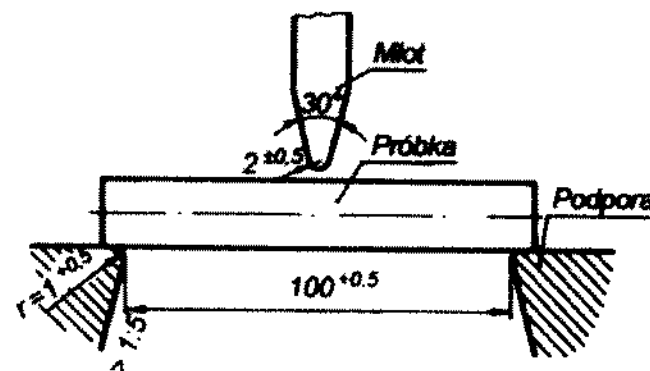
Karb w kształcie V

Zastosowanie karbu ma na celu zlokalizowanie pęknięcia i stworzenie warunków do powstania kruchego pęknięcia w materiałach ciągliwych.

## Próba udarności

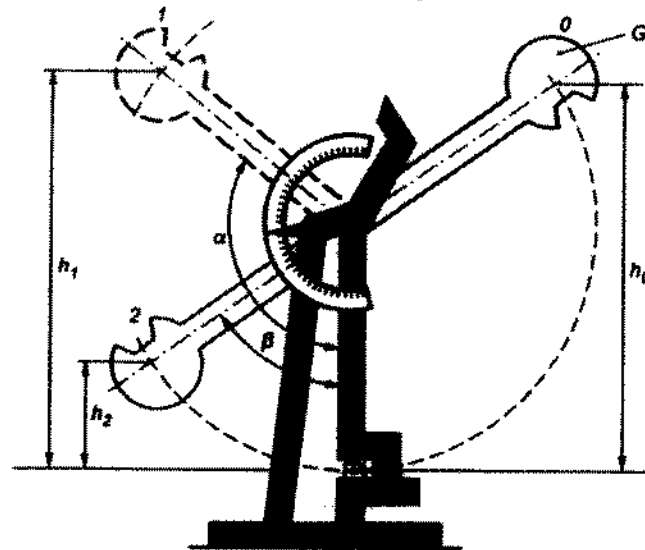


Próba udarności dla żeliwa szarego (brak karbu)



## Próba udarności

### Młot Charpy'ego



$$KC = \frac{K}{S_0} \quad [J/cm^2]$$

$$K = EP_{h1} - EP_{h2} = G \cdot (h_1 - h_2)$$

$G$  – ciężar młota

$EP_{h1}$ ,  $EP_{h2}$  – energia potencjalna młota na wysokości  $h_1$  i  $h_2$

$h_1$  – wysokość podniesienia młota swobodnego, puszczonego z wysokości  $h_0$

$h_2$  – wysokość podniesienia młota, puszczonego z wysokości  $h_0$ , po złamaniu próbki

$$K = m \cdot g \cdot R \cdot (\cos \beta - \cos \alpha) \quad [J]$$

$m$  – masa młota w kg

$g$  – przyspieszenie ziemskie  $9.81 \text{ m/s}^2$

$R$  – odległość od osi wahadła młota do środka powierzchni zetknięcia noża wahadła z próbką

$\alpha$ ,  $\beta$  – kąty wzniesienia wahadła młota przed uderzeniem i po złamaniu próbki

## Próba udarności

### Warunki przeprowadzania próby udarności:

1. Konstrukcja młota powinna być sztywna, ciężka i trwale przymocowana do podłoża.
2. Początkowa energia uderzenia młota powinna wynosić:  
300, 150, 100, 50, 10 lub 5 J  
Straty energii na skutek tarcia powinny być mniejsze niż 0.5%.
3. Prędkość ostrza wahadła w chwili uderzenia powinna zawierać się w przedziale:  $5.0 \div 5.5 \text{ m/s}$

$$v \approx \sqrt{2 \cdot g \cdot R \cdot (1 - \cos \alpha)} = \sqrt{2 \cdot g \cdot h_1}$$

4. Próba udarności polega na złamaniu próbki z karbem za pomocą jednego uderzenia.
5. Czas niszczenia próbki wynosi od ok. 0.01 s dla próbek z metali plastycznych do ok. 0.001 s dla próbek metali kruchych.
6. Próbkę powinny być obrobione skrawaniem.
7. Oznaczenie udarności danej próbki o szerokości 10 mm dla energii młota 300 J i karbu U o głębokości 5 mm lub karbu V o głębokości 2 mm.

wartość KCU lub wartość KCV

np.: 175 KCU lub 155 KCV

w innych przypadkach:

wartość KCU energia / głębokość karbu / szerokość próbki

w temperaturach różnych od temperatury pokojowej

wartość KCU<sup>temp.</sup>

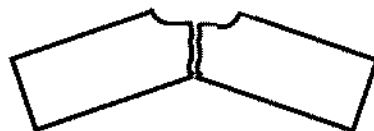
### Podsumowanie:

1. Celem prób udarności jest określenie wpływu prędkości obciążenia na właściwości mechaniczne materiałów przy obciążeniach dynamicznych.
2. Wpływ prędkości obciążenia wywołuje znaczne wewnętrzne siły bezwładności, które wpływają na stan naprężenia.
3. Podwyższona zostaje granica plastyczności i wytrzymałości materiału przy ograniczeniu odkształceń plastycznych. Mechanizm odkształceń plastycznych ulega zahamowaniu przy dużych prędkościach obciążenia.

### Próba udarowości Typowe złomy próbek



**Złom kruchy** – brak widocznych odkształceń plastycznych



**Złom rozdzieleny** – przed pęknięciem próbka ulega zgięciu



**Złom z rozwarstwieniem** – wskazuje na dużą anizotropowość materiału, spowodowaną np. obróbką plastyczną

### Badanie wytrzymałości zmęczeniowej

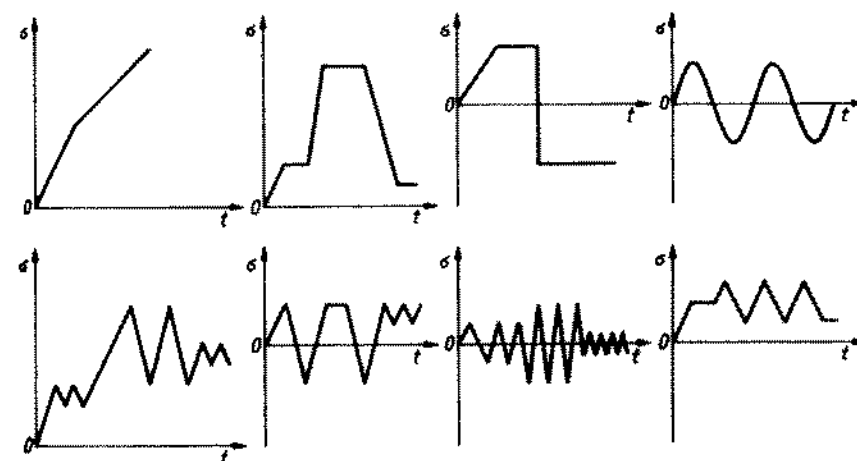
**Zmęczenie materiału** – zjawisko polegające na znacznym obniżaniu się wytrzymałości materiału przy naprężeniach zmiennych.

Zniszczenie elementu maszyny poddanego odpowiednio długo zmiennym naprężeniom zachodzi dla naprężeń **mniejszych** niż te wyznaczone w statycznych próbach wytrzymałości.

Dotyczy to prób rozciągania-ściskania, zginania, skręcania i ścinania, jak też ich kombinacji.

Pęknięcia materiału poddanego długotrwałym obciążeniom zmiennym (także takiego, który wykazuje własności plastyczne w próbach wytrzymałości statycznej) zachodzą bez żadnych dostrzegalnych odkształceń plastycznych.

### Naprężenia zmienne i okresowo zmienne:



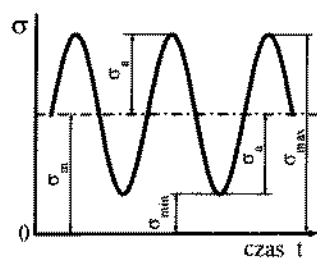
## Badanie wytrzymałości zmęczeniowej

**Pulsator** – maszyna wytrzymałościowa do realizacji badań zmęczeniowych

Różnorodność pulsatorów:

- z wirującą niewyważoną masą
- z napędem serwo-hydraulicznym
- rezonansowe, drgania wywołują elektromagnesy
- wykorzystujące ultradźwięki

Podstawowe cykle naprężeń zmiennych sinusoidalnych:



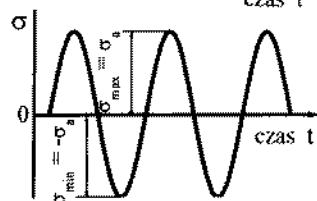
$$\sigma = \sigma_m + \sigma_a \cdot \sin(\omega \cdot t)$$

$\sigma_m$  – naprężenie średnie cyklu

$\sigma_a$  – amplituda zmian naprężeń

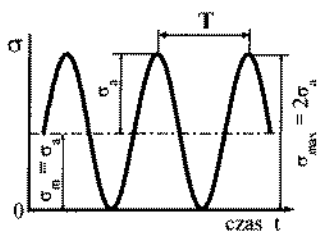
$\omega$  – prędkość kątowa (pulsacja zmian naprężeń)

Cykl sinusoidalny **dowolny**



Cykl sinusoidalny **obustronny**

- symetryczny wahadłowy



Cykl sinusoidalny **jednostronny**

- tętniący pulsujący

$$\omega = 2 \cdot \pi \cdot f = \frac{2 \cdot \pi}{T}$$

$f$  – częstotliwość zmian naprężeń

$T$  – okres zmian naprężeń

$$T = \frac{1}{f} = \frac{2 \cdot \pi}{\omega}$$

$$\sigma_m = \frac{\sigma_{\max} + \sigma_{\min}}{2}$$

$$\sigma_a = \frac{\sigma_{\max} - \sigma_{\min}}{2}$$

## Badanie wytrzymałości zmęczeniowej

$$R = \frac{\sigma_{\min}}{\sigma_{\max}} \quad - \text{współczynnik asymetrii cyklu} \quad \text{lub charakterystyka cyklu}$$

$$\kappa = \frac{\sigma_m}{\sigma_a} \quad - \text{współczynnik stałości obciążenia}$$

$$\kappa = \frac{1 + R}{1 - R} \quad R = \frac{\kappa - 1}{\kappa + 1}$$

**Podstawowe przypadki zmienności naprężeń (sinusoidalnych):**

1. naprężenie stałe w czasie:  $R = 1$   $\kappa = \infty$

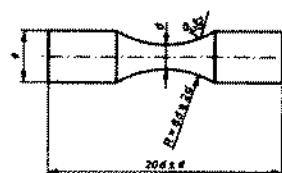
2. cykl tętniący:  $R = 0$   $\kappa = 1$   
 $R = \infty$   $\kappa = -1$

3. cykl wahadłowy:  $R = -1$   $\kappa = 0$

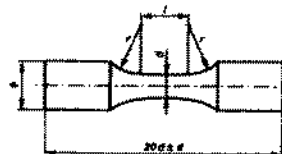
## Badanie wytrzymałości zmęczeniowej

**Próbki** – na ogół posiadają znormalizowane kształty, wymagają bardzo starannej obróbki, zwłaszcza powierzchni, gdyż pęknięcia rozwijają się głównie od powierzchni

Przykładowe próbki:



próbka klepsydrowa  
o zmiennym kształcie



próbka walecowa

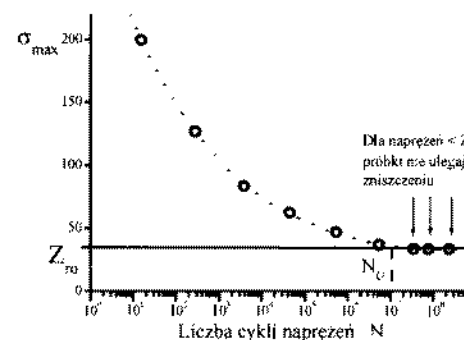
Próbki mogą mieć przekroje kołowe lub być płaskie, mogą posiadać karb (U, V lub otwór dla próbek płaskich)

### Rodzaje próbek do badań zmęczeniowych

Rodzaj próbki	Zastosowanie do badań	
Próbka okrągła o stałym przekroju	tętniące rozciąganie oraz	zginanie płaskie i zginanie obrotowe
Próbka okrągła o zmiennym przekroju	wahadłowe rozciąganie-ściskanie	
Próbka okrągła z karbem obrączkowym w kształcie litery V	tętniące rozciąganie, wahadłowe rozciąganie-ściskanie, tętniące	
Próbka okrągła z karbem obrączkowym w kształcie litery U	ściskanie	
Próbka płaska z karbem w kształcie litery V	tętniące rozciąganie oraz wahadłowe rozciąganie-ściskanie	zginanie płaskie
Próbka płaska z karbem-otworem		
Próbka płaska o stałym przekroju		
Próbka płaska o zmiennym przekroju		

## Badanie wytrzymałości zmęczeniowej Wykres Wöhlera

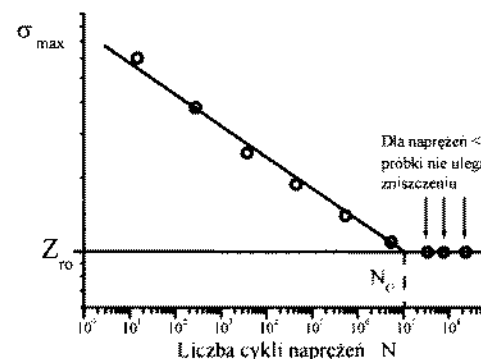
Zniszczenie elementu maszyny poddanego odpowiednio długo zmiennym naprężeniom zachodzi dla naprężeń **mniejszych** niż te wyznaczone w statycznych próbach wytrzymałości.



$\sigma_{\max}$  – największe naprężenie występujące w trakcie cyklu

$Z_{ro}$  – wytrzymałość zmęczeniowa przy rozciąganiu ściskaniu dla cyklu obustronnego (symetrycznego)

Wykres półlogarytmiczny



$N_G$  – podstawa próby zmęczeniowej

Wykres logarytmiczny

Dla naprężeń  $\sigma_{\max} < Z_{ro}$  próbka nie ulega zniszczeniu dla dowolnie dużej liczby cykli



## Badanie wytrzymałości zmęczeniowej

Stosowane oznaczenia w wytrzymałości zmęczeniowej oraz przybliżone zależności empiryczne pomiędzy odpowiednią wytrzymałością zmęczeniową a wytrzymałością doraźną  $R_m$  dla bardzo gładkich próbek stalowych:

### 1. Dla cykli obustronnych-symetrycznych (wahadlowych)

$Z_{rc}$  – rozciąganie-ściskanie  $Z_{rc} = 0.33 R_m$

$Z_{go}$  – zginanie  $Z_{go} = 0.5 R_m$

$Z_{so}$  – skręcanie  $Z_{so} = 0.25 R_m$

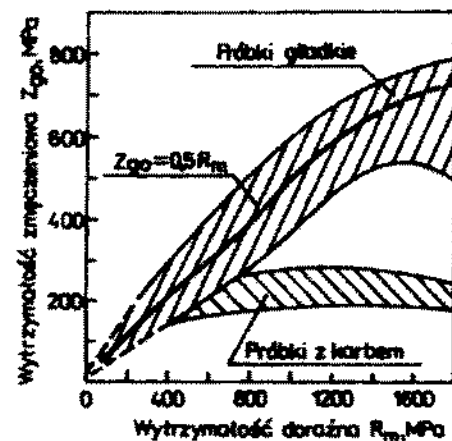
### 2. Dla cykli odzerowo-tętniających

$Z_{rj}$  – rozciąganie  $Z_{rj} = (0.55 \div 0.63) R_m$

$Z_{gj}$  – zginanie  $Z_{gj} = 0.7 R_m$

$Z_{sj}$  – skręcanie  $Z_{sj} = (0.45 \div 0.5) R_m$

dla stopów aluminium  $Z_{go} = 0.4 R_m$



Zależność wytrzymałości zmęczeniowej dla obustronnego zginania  $Z_{go}$  od wytrzymałości doraźnej  $R_m$  (otrzymanej w próbie statycznej rozciągania) dla próbek stalowych gładkich i z korbem.

## Badanie wytrzymałości zmęczeniowej

### Metodyka pomiaru:

Ze względów praktycznych badanie zmęczeniowe prowadzi się do chwili, gdy próbka bez zniszczenia wytrzyma pewną liczbę cykli  $N_G$ , -zwaną graniczną lub bazową liczbą cykli.

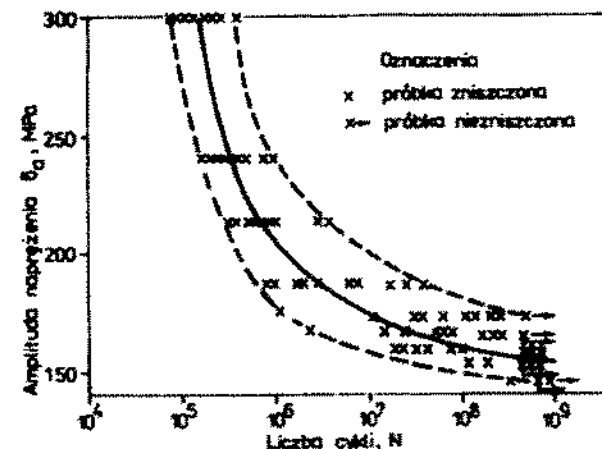
Dla stali:

$N_G = 10 \cdot 10^6$  cykli

Dla stopów metali  
nieżelaznych:

$N_G = 100 \cdot 10^6$  cykli

Wyniki badań stopu Al na  
obustronne zginanie  
- brak asymptoty.

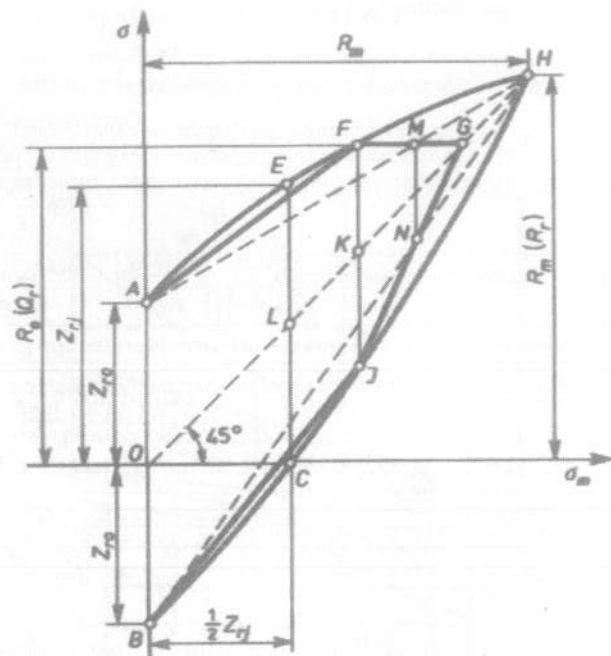


Wytrzymałość zmęczeniowa ma charakter statystyczny – bada się ją metodami statystycznymi

**Trwała wytrzymałość zmęczeniowa** – taka wartość wytrzymałości w cyklu, dla której więcej niż 50% próbek nie ulegnie zniszczeniu po przekroczeniu bazowej liczby cykli  $N_G$ .

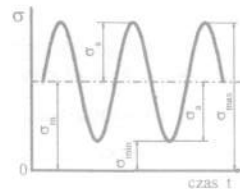
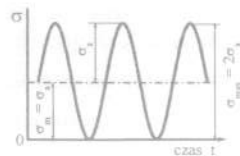
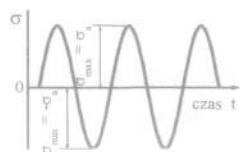
### Badanie wytrzymałości zmęczeniowej Wykres Smitha

**Wykres Smitha** – zbiorcze zestawienie wartości wytrzymałości zmęczeniowej danego materiału dla różnych rodzajów cykli.



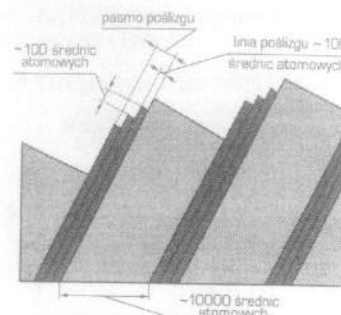
Oś pozioma – wartości  $\sigma_m$

Oś pionowa – wartości  $\sigma_{\max}$  i  $\sigma_{\min}$

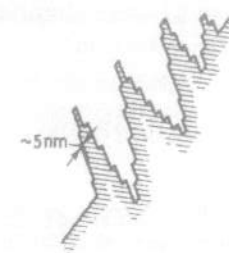
 $R_e$  – granica plastyczności $R_m$  – wytrzymałość doraźna

### Badanie wytrzymałości zmęczeniowej

#### Złom zmęczeniowy



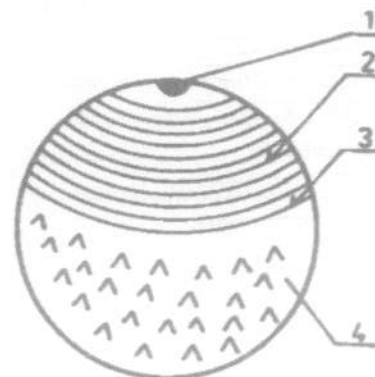
Linie poślizgu przy odkształceniu  
plastycznym



Tworzenie się mikropeknięć na powierzchni materiału cyklicznie obciążonego przez mechanizm poślizgów plastycznych

1. Istota zjawiska zmęczenia wynika z polikrystalicznej (ziarnistej) budowy materiałów.
2. Lokalne spiętrzenie naprężeń wywołane obecnością karbu lub wady materiałowej (wzrost odkształceń) wywołują powstanie wewnątrz materiału linii poślizgów, łączących się w pasma poślizgów.
3. W miarę wzrostu liczby cykli obciążeniowych pasma poślizgu przeradzają się w mikropęknięcia.
4. Powstawaniu mikropęknięć sprzyjają wtrącenia niemetaliczne (np. siarczki), które skoncentrowane są głównie w granicach ziarn.
5. Z czasem mikropęknięcia przekształcają się w szczeliny o wymiarach makroskopowych. Szczelina, rozszerzając się na dalsze obszary przekroju, doprowadza do całkowitego pęknięcia elementu.

### Złom zmęczeniowy



- 1 – **ognisko** – miejsce zapoczątkowania procesu pęknięcia
- 2 – **strefa zmęczenia** – o gładkiej powierzchni o muszlowym wyglądzie
- 3 – **linie** zaznaczające przemieszczanie się **czoła pęknięcia**
- 4 – **strefa reszkowa** – obszar chropowaty, podobny do przełomu przy obciążeniu statycznym

## Badanie wytrzymałości zmęczeniowej Czynniki wpływające na wytrzymałość zmęczeniową

### 1. Wpływ kształtu elementu – istnienie karbów (wręby, występy, nacięcia, otwory itp.)

$$\alpha_k = \frac{\sigma_{\max}}{\sigma_n} \quad - \text{spiętrzenie naprężeń charakteryzuje współczynnik kształtu}$$

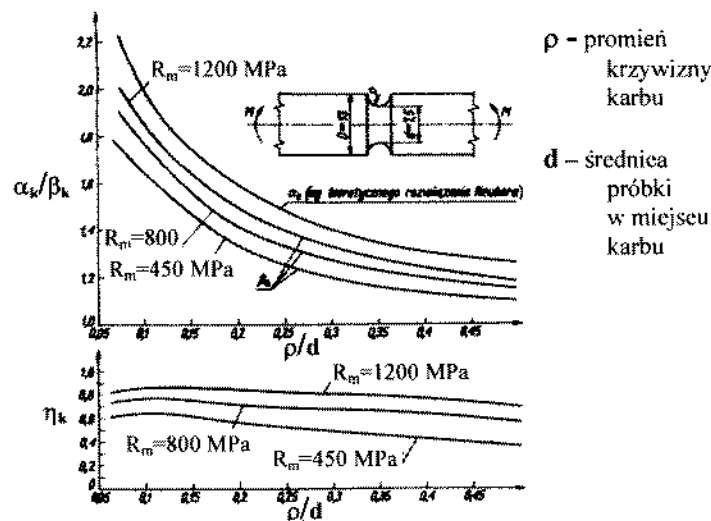
Doświadczenie wykazuje, że: materiały rzeczywiste nie są tak bardzo wrażliwe na spiętrzenie naprężeń jakby to wynikało z wartości współczynnika  $\alpha_k$

$$\beta_k - \text{współczynnik działania karbu} \quad \beta_k = \frac{Z_r}{Z_{rk}}$$

$Z_r$  – wytrzymałość zmęczeniowa próbki gładkiej

$Z_{rk}$  – wytrzymałość zmęczeniowa próbki z karbem

$$\eta_k = \frac{\beta_k - 1}{\alpha_k - 1} \quad - \text{współczynnik wrażliwości na działanie karbu}$$



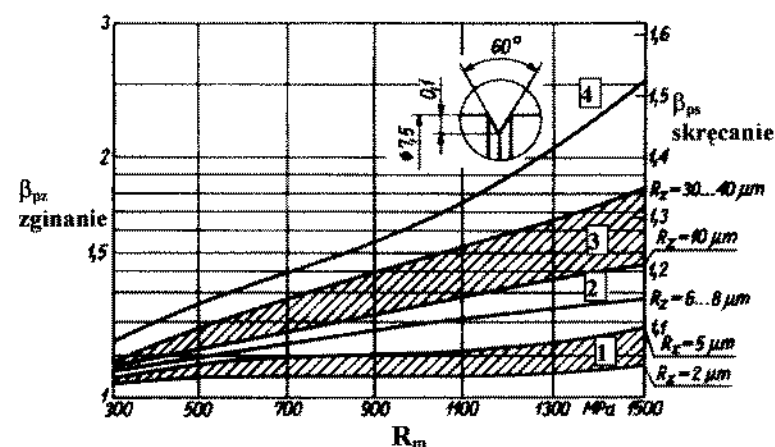
## Badanie wytrzymałości zmęczeniowej Czynniki wpływające na wytrzymałość zmęczeniową

### 2. Wpływ stanu powierzchni i warstwy podpowierzchniowej – nierówności powierzchni wynikające z np. różnej obróbki

$$\beta_p = \frac{Z}{Z_p} \quad - \text{współczynnik stanu powierzchni}$$

$Z$  – wytrzymałość zmęczeniowa próbki polerowanej

$Z_p$  – wytrzymałość próbki po danym rodzaju obróbki



1 – próbka szlifowana 2 – próbka toczone dokładnie 3 – próbka toczone zgrubnie  
4 – próbka z karbem

Zależność współczynnika stanu powierzchni od wytrzymałości doraźnej  
 $R_z$  – średnia wysokość nierówności powierzchni

$$\text{Łączny wpływ działania karbu i stanu powierzchni:} \quad \beta = \beta_k + \beta_p - 1$$

Zabiegi technologiczne poprawiające wytrzymałość zmęczeniową (wywołują powstawanie naprężeń powierzchniowych ściskających):

1. obróbka mechaniczna powierzchni: młotkowanie, śrutowanie, nagniatanie
2. obróbka cieplno-chemiczna: nawęglanie, azotowanie, hartowanie

Obróbka powierzchni obniżająca wytrzymałość zmęczeniową: pokrycia galwaniczne: chromowanie, niklowanie.

## Wektory. Siły i momenty sił.

### Pojęcie wektora:

1. Istnieją wielkości fizyczne, które określone są tylko jedną liczbą, są to wielkości skalarne, np.: masa, gęstość, temperatura, potencjał, energia
2. Istnieją inne wielkości fizyczne, które oprócz miary, posiadają także kierunek, są to wielkości wektorowe, np.: prędkość, przyspieszenie, siła, moment siły, natężenie pola

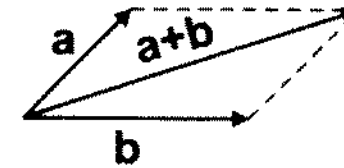
Wektor można przedstawić jako odcinek o pewnej długości i pewnym kierunku: jest to odcinek skierowany, wyznaczony przez punkt początkowy i punkt końcowy.

### Wektory można podzielić na:

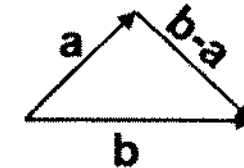
- wektory związane lub umiejscowione: ich punkt początkowy musi leżeć w ściśle określonym miejscu, np. siły wewnętrzne odpowiedzialne za odkształcenie ciała elastycznego, gdyż odkształcenie elementów zależy od miejsca przyłożenia siły
- wektory ślizgające się: mogą być przesuwane wzdłuż prostych, na których leżą, np. siły działające na ciało doskonale sztywne, gdyż ich działanie nie zmienia się, jeśli przesuwa się ich punkty zaczepienia wzdłuż prostych, na których leżą
- wektory swobodne: można je względem siebie równolegle przesuwać bez zmiany ich znaczenia, nie zależą od punktu początkowego, np.: moment pary sił, gdyż względem każdego punktu w przestrzeni wektor ten ma tę samą wartość i kierunek

## Wektory. Siły i momenty sił.

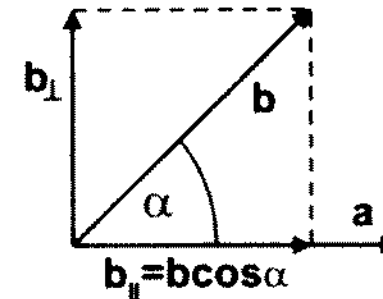
### Dodawanie i odejmowanie wektorów (zasada równoległoboku)



suma wektorów  $\vec{a}$  i  $\vec{b}$



różnica wektorów  $\vec{b}$  i  $\vec{a}$

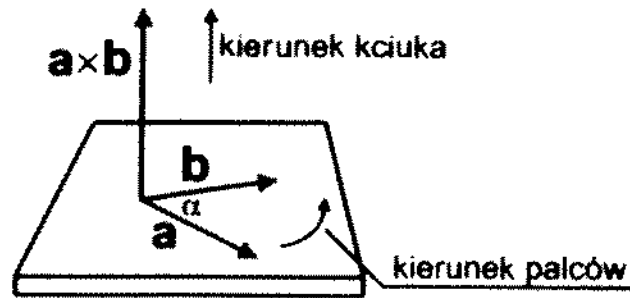


Iloczyn skalarny wektorów  $\vec{a}$  i  $\vec{b}$ :

np. praca (skalar) = siła (wektor) • droga (wektor)

$$\vec{a} \cdot \vec{b} = a \cdot b \cdot \cos(\alpha)$$

## Wektory. Siły i momenty sił.



Iloczyn wektorowy wektorów  $\vec{a}$  i  $\vec{b}$ :

$$\vec{a} \times \vec{b} = \vec{c}$$

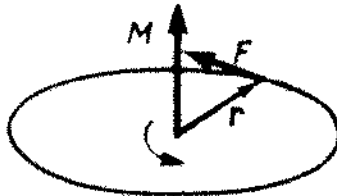
$$a \cdot b \cdot \sin(\alpha) = c$$

1. Punkt przyłożenia wektora  $\vec{c}$  pokrywa się z początkami wektorów  $\vec{a}$  i  $\vec{b}$
2. Kierunek wektora  $\vec{c}$  jest prostopadły do płaszczyzny zawierającej  $\vec{a}$  i  $\vec{b}$
3. Zwrot wektora  $\vec{c}$  określa reguła prawej ręki (śruby prawoskrętnej, korkociągu)

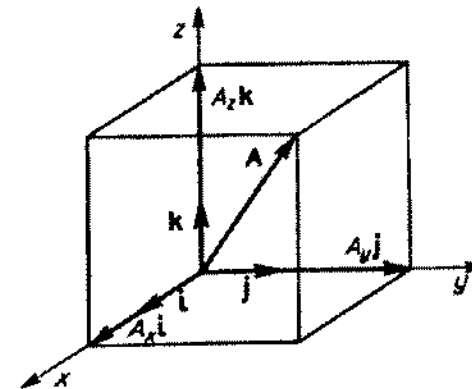
Przykład:

$$\vec{r} \times \vec{F} = \vec{M}$$

np.: moment siły (wektor) = ramię (wektor)  $\times$  siła (wektor)



## Wektory. Siły i momenty sił.

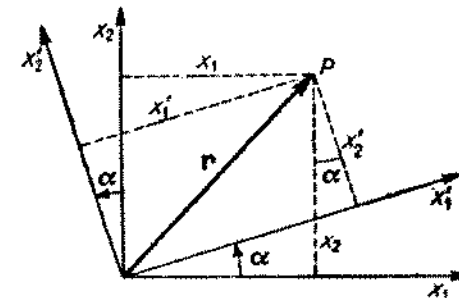


Rozkład wektora  $\vec{A}$  na składowe w kartezjańskim układzie współrzędnych.

$\vec{i}$ ,  $\vec{j}$ ,  $\vec{k}$  - wektory jednostkowe odpowiednio w kierunkach osi x, y, z

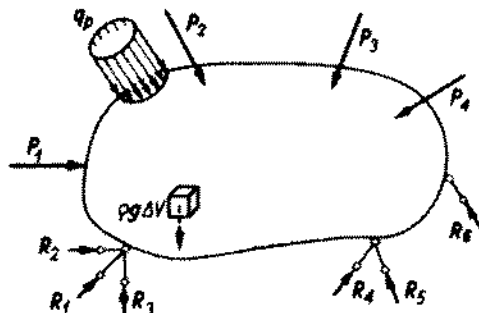
$A_x$ ,  $A_y$ ,  $A_z$  - długości rzutów wektora  $\vec{A}$  odpowiednio na osie x, y, z

$\vec{A}_x = A_x \cdot \vec{i}$ ,  $\vec{A}_y = A_y \cdot \vec{j}$ ,  $\vec{A}_z = A_z \cdot \vec{k}$ , - składowe wektora  $\vec{A}$  o kierunkach x, y, z



Wektor  $\vec{r}$  w dwóch różnych płaskich układach współrzędnych

## Siły zewnętrzne - powierzchniowe i objętościowe



$P_1, P_2, \dots$  - siły zewnętrzne czynne skupione (przyłożone punktowo)

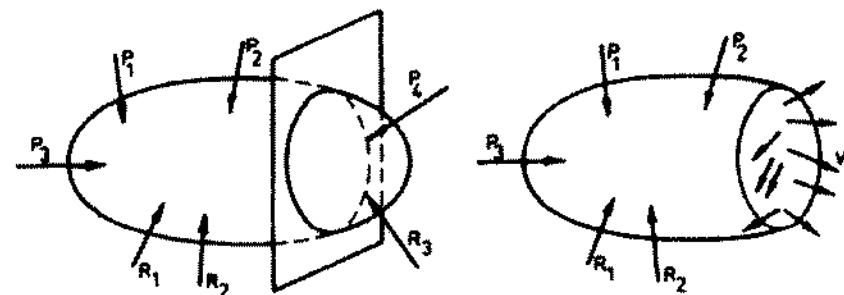
$q_p$  - siły zewnętrzne powierzchniowe, przyłożone w sposób ciągły (np. ciśnienie gazu lub cieczy, obciążenie ośrodkiem sypkim, parcie wiatru, bezpośrednie oddziaływanie innych ciał na dużej powierzchni)

$\rho g \Delta V$  siły objętościowe wynikające z masy ciała (siły ciężkości, do tej grupy można zaliczyć także siły bezwładności)

$R_1, R_2, \dots$  - siły zewnętrzne bierne, reakcje podporowe

Jeśli ciało znajduje się w stanie równowagi statycznej to suma wszystkich sił zewnętrznych oddziałujących na to ciało oraz suma ich momentów względem dowolnego punktu w przestrzeni wynoszą zero

## Siły wewnętrzne - przekrojowe



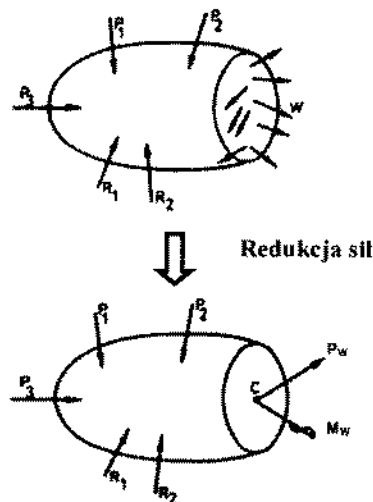
Myślowy przekrój ciała będącego w równowadze statycznej

Aby lewa część ciała nadal pozostawała w równowadze statycznej, na jej powierzchni, powstałej na wskutek przekroju myślowego, muszą istnieć siły  $W$  (wewnętrzne – istniejące wewnątrz tego ciała), które zrównoważą siły zewnętrzne działające na tę część.

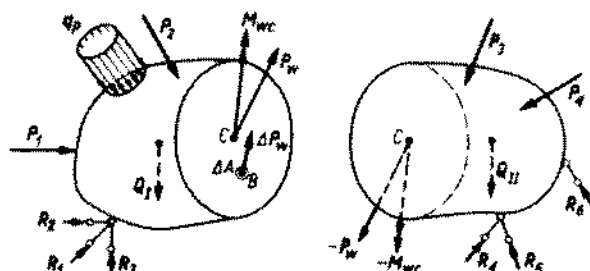
Siły wewnętrzne są rozłożone na powierzchni przekroju myślowego w sposób ciągły.

## Sily wewnętrzne - przekrojowe

Redukcja sil wewnętrznych rozłożonych na płaszczyźnie przekroju myślowego do środka ciężkości przekroju C



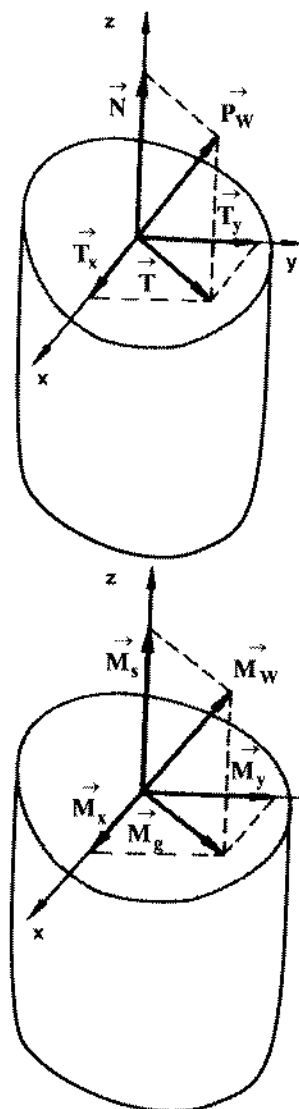
$\vec{P}_W$  - wektor główny sil wewnętrznych  
 $\vec{M}_W$  - moment ogólny sil wewnętrznych



Na płaszczyźnie przekroju powierzchniowego drugiej części ciała występują takie same, co do wartości, lecz przeciwnie skierowane: wektor główny siły i moment ogólny, przyłożone do punktu ciężkości przekroju.

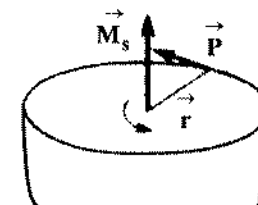
## Sily wewnętrzne - przekrojowe

Rozkład wektorów  $\vec{P}_W$  i  $\vec{M}_W$  na składowe: w kierunku normalnym do płaszczyzny przekroju myślowego i na tej płaszczyźnie



$\vec{N}$  - siła osiowa lub podłużna  
 $\vec{T}$  - siła poprzeczna lub tnąca  
 $\vec{T}_x, \vec{T}_y$  - składowe siły tnącej w kierunkach x i y

$\vec{M}_s$  - moment skręcający  
 $\vec{M}_g$  - moment zginający  
 $\vec{M}_x, \vec{M}_y$  - składowe momentu gnącego w kierunkach x i y



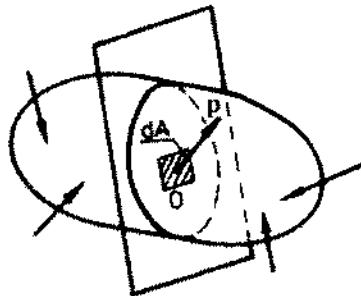
## Napężenie w punkcie Definicja napężenia w punkcie



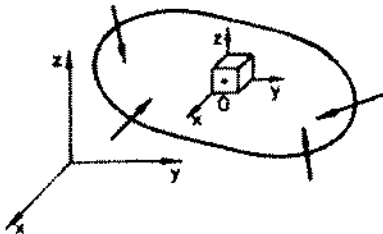
$\vec{\Delta W}$  - wypadkowa sił wewnętrznych  
z małego obszaru  $\Delta A$

$$\vec{p} = \lim_{\Delta A \rightarrow 0} \frac{\vec{\Delta W}}{\Delta A} = \frac{d\vec{W}}{dA}$$

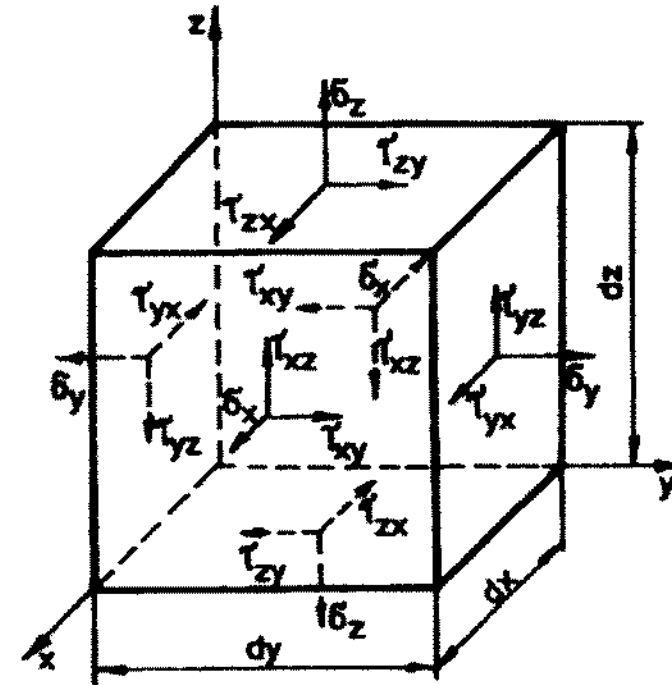
jednostki  $\left[ \text{Pa} = \frac{\text{N}}{\text{m}^2} \right]$   
praktyczne jednostki [MPa]



Stan napężenia w punkcie O jest  
określony przez napężenia  $\vec{p}$  na  
wszystkich możliwych płaszczyznach  
przechodzących przez punkt O.



Stan napężenia w punkcie O  
najwygodniej jest wyznaczyć określając  
napężenia na ścianach małego sześcianu  
otaczającego punkt O w kartezjańskim  
układzie współrzędnych. Krawędzie  
sześcianu zorientowane są równoległe do  
osi układu współrzędnych.



Napężenia na każdej ścianie sześcianu rozkłada się na składowe: normalną (czyli prostopadłą do ściany) i dwie styczne, wzdłuż osi równoległych do danej ściany.

### Oznaczenia:

$\sigma_x$  – napężenie normalne (prostopadłe) do ściany w płaszczyźnie Y-Z

$\sigma_y$  – napężenie normalne (prostopadłe) do ściany w płaszczyźnie Z-X

$\sigma_z$  – napężenie normalne (prostopadłe) do ściany w płaszczyźnie Y-Z

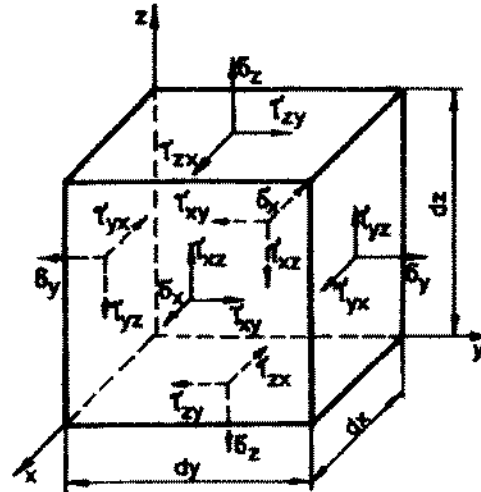
$\tau_{xy}, \tau_{xz}$  – napężenia styczne leżące na ścianie prostopadłej do osi X  
i odpowiednio równoległe do kierunków osi Y i Z

$\tau_{yx}, \tau_{yz}$  – napężenia styczne leżące na ścianie prostopadłej do osi Y  
i odpowiednio równoległe do kierunków osi X i Z

$\tau_{zx}, \tau_{zy}$  – napężenia styczne leżące na ścianie prostopadłej do osi Z



i odpowiednio równoległe do kierunków osi X i Y  
 Naprężenie w punkcie



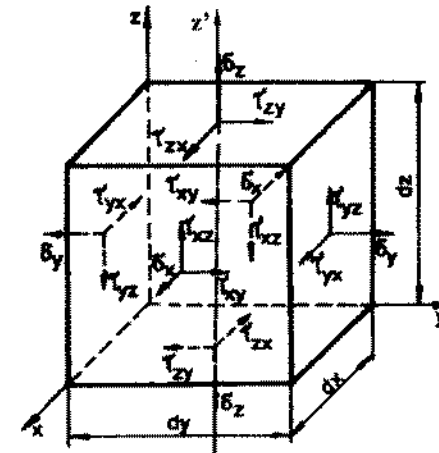
Z warunku sumy rzutów sił na osie X, Y i Z określających równowagę sześcianu wynika, że: naprężenia normalne lub styczne na przeciwległych ścianach sześcianu muszą być sobie równe co do wielkości lecz przeciwnie skierowane.

Wniosek: stan naprężenia w punkcie, będącym środkiem sześcianu wyznaczony jest dziewięcioma naprężeniami:

- trzema normalnymi  $\sigma_x$ ,  $\sigma_y$  i  $\sigma_z$
- sześcioma stycznymi  $\tau_{xy}$ ,  $\tau_{yx}$ ,  $\tau_{yz}$ ,  $\tau_{zy}$ ,  $\tau_{zx}$  i  $\tau_{xz}$

Dalsze zmniejszenie liczby składowych stanu naprężenia następuje po uwzględnieniu równań momentów.

Naprężenie w punkcie



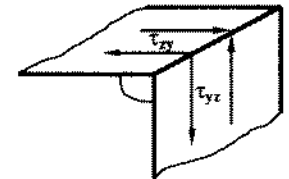
Równanie momentów względem osi z':

$$2 \cdot (\tau_{xy} \cdot dy \cdot dz) \cdot \frac{1}{2} \cdot dx - 2 \cdot (\tau_{yx} \cdot dx \cdot dz) \cdot \frac{1}{2} \cdot dy = 0$$

$$\tau_{xy} = \tau_{yx}$$

Po uwzględnieniu równań momentów względem pozostałych osi:

$$\tau_{xy} = \tau_{yx} \quad \tau_{yz} = \tau_{zy}$$



Prawo równości odpowiadających sobie naprężeń:

Składowe naprężeń stycznych prostopadłe do krawędzi przecięcia się dwu przekrojów elementarnych wzajemnie prostopadłych są zawsze równe.

Ostatecznie:

Stan naprężenia w danym punkcie wyznacza sześć niezależnych składowych stanu naprężenia:

$$\sigma_x, \sigma_y, \sigma_z, \tau_{xy}, \tau_{yz}, \tau_{xz}$$

## Naprężenie w punkcie

Składowe stanu naprężenia:  $\sigma_x, \sigma_y, \sigma_z, \tau_{xy}, \tau_{yz}, \tau_{xz}$  określają dowolny przestrzenny (trójosiowy) stan naprężenia.

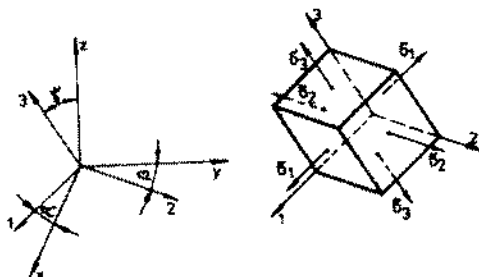
Stan naprężenia opisuje się macierzą (zwaną tensorem naprężeń  $T_\sigma$ ), która ze względu na równowartość naprężeń stycznych jest symetryczna względem przekątnej:

$$T_\sigma = \begin{bmatrix} \sigma_x & \tau_{xy} & \tau_{xz} \\ \tau_{yx} & \sigma_y & \tau_{yz} \\ \tau_{zx} & \tau_{zy} & \sigma_z \end{bmatrix} \quad - \text{tensor naprężeń}$$

Na gruncie teorii tensorów można udowodnić, że istnieje taki układ współrzędnych, w którym tensor naprężeń ma niezerowe wartości tylko na przekątnej głównej.

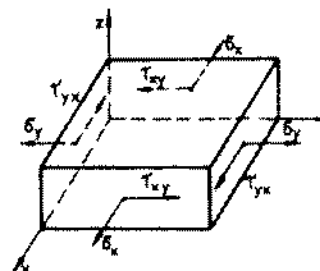
$$T_\sigma = \begin{bmatrix} \sigma_1 & 0 & 0 \\ 0 & \sigma_2 & 0 \\ 0 & 0 & \sigma_3 \end{bmatrix} \quad \sigma_1 \geq \sigma_2 \geq \sigma_3$$

Taki układ współrzędnych powstaje przez takie przestrzenne zorientowanie osi, aby w płaszczyznach prostopadłych do tych osi nie występowały naprężenia styczne.



Osie tego układu nazywają się osiami głównymi i są oznaczone liczbami 1, 2, 3. Płaszczyzny prostopadłe do osi głównych noszą nazwę płaszczyzn głównych, a naprężenia normalne w tych płaszczyznach  $\sigma_1, \sigma_2$  i  $\sigma_3$ , nazywają się **naprężeniami głównymi**.

## Płaski (dwuosiowy) stan naprężenia

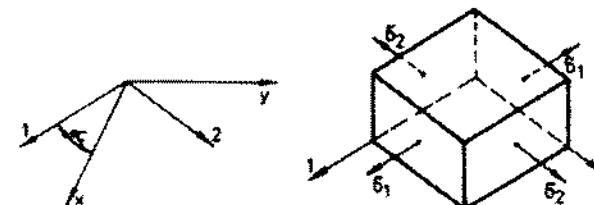


Wszystkie składowe stanu naprężenia leżą w jednej płaszczyźnie, np.: (x-y), w kierunku z nie ma żadnych naprężeń.

Tensor naprężeń dla płaskiego stanu naprężenia określają tylko trzy składowe:  $\sigma_x, \sigma_y$  i  $\tau_{xy}$

$$T_\sigma = \begin{bmatrix} \sigma_x & \tau_{xy} \\ \tau_{yx} & \sigma_y \end{bmatrix}$$

Naprężenia główne i kierunki główne w płaskim (dwuosiowym) stanie naprężeń



$$T_\sigma = \begin{bmatrix} \sigma_1 & 0 \\ 0 & \sigma_2 \end{bmatrix}$$

$$\sigma_1 \geq \sigma_2$$

## Jednoosiowy stan naprężenia



$$\sigma = \frac{P}{S} \sigma_1$$

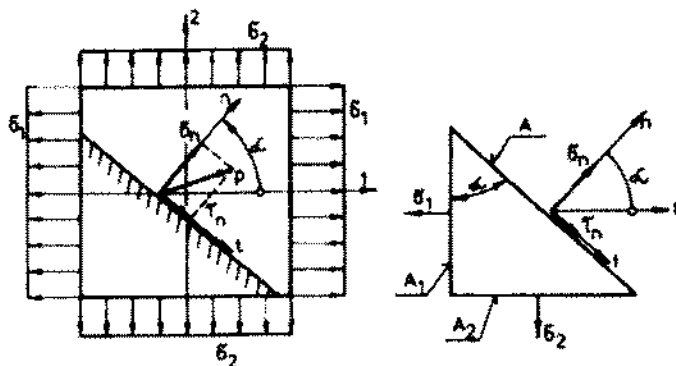
jedno naprężenie główne

Oś pręta pokrywa się z kierunkiem głównym.

(Rozciąganie i ściskanie)

## Płaski stan naprężenia

Wyprowadzenie wzorów transformacyjnych pozwalających przejść z kierunków głównych na dowolne i odwrotnie



Warunek równowagi sił w kierunku normalnym przekroju:

$$\sigma_n \cdot A - \sigma_1 \cdot \cos(\alpha) \cdot A_1 - \sigma_2 \cdot \sin(\alpha) \cdot A_2 = 0$$

Warunek równowagi sił w kierunku naprężenia stycznego:

$$\tau_n \cdot A - \sigma_1 \cdot \sin(\alpha) \cdot A_1 + \sigma_2 \cdot \cos(\alpha) \cdot A_2 = 0$$

Warunek geometryczny:

Warunek równowagi sił w kierunku normalnym przekroju:

$$A_1 = A \cdot \cos(\alpha) \quad A_2 = A \cdot \sin(\alpha)$$

Rozwiązanie ze względu na  $\sigma_n$  i  $\tau_n$ :

$$\sigma_n = \sigma_1 \cdot \cos^2(\alpha) + \sigma_2 \cdot \sin^2(\alpha)$$

$$\tau_n = (\sigma_1 - \sigma_2) \cdot \sin(\alpha) \cdot \cos(\alpha)$$

## Płaski stan naprężenia

Wyprowadzenie wzorów transformacyjnych

Zależności trygonometryczne:

$$\cos^2(\alpha) = \frac{1 + \cos(2 \cdot \alpha)}{2} \quad \sin^2(\alpha) = \frac{1 - \cos(2 \cdot \alpha)}{2}$$

$$\sin(\alpha) \cdot \cos(\alpha) = \frac{\sin(2 \cdot \alpha)}{2}$$

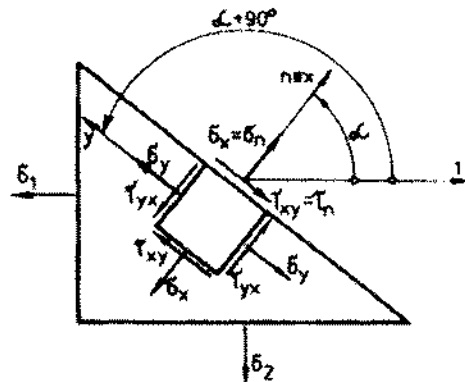
Ostatecznie:

$$\sigma_n = \frac{\sigma_1 + \sigma_2}{2} + \frac{\sigma_1 - \sigma_2}{2} \cdot \cos(2 \cdot \alpha)$$

$$\tau_n = \frac{\sigma_1 - \sigma_2}{2} \cdot \sin(2 \cdot \alpha)$$

## Płaski stan naprężenia

### Wyprowadzenie wzorów transformacyjnych



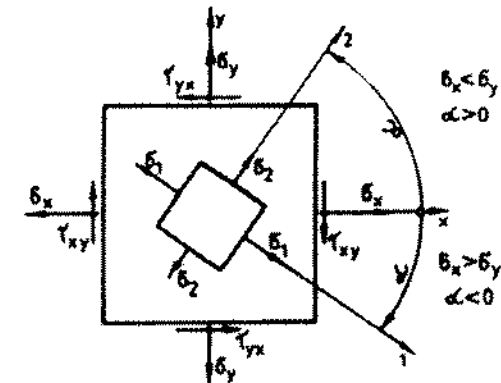
W układzie współrzędnych x-y:

$$\sigma_n = \sigma_x \quad \tau_n = \tau_{xy}$$

Aby obliczyć naprężenie  $\sigma_y$  należy dokonać takich samych obliczeń dla przekroju obróconego o kąt  $\alpha + 90^\circ$

$$\sigma_y = \frac{\sigma_1 + \sigma_2}{2} + \frac{\sigma_1 - \sigma_2}{2} \cdot \cos[2 \cdot (\alpha + 90^\circ)] = \frac{\sigma_1 + \sigma_2}{2} - \frac{\sigma_1 - \sigma_2}{2} \cdot \cos(2 \cdot \alpha)$$

## Płaski stan naprężenia



### Wzory transformacyjne

$$\sigma_x = \frac{\sigma_1 + \sigma_2}{2} + \frac{\sigma_1 - \sigma_2}{2} \cdot \cos(2 \cdot \alpha)$$

$$\sigma_y = \frac{\sigma_1 + \sigma_2}{2} - \frac{\sigma_1 - \sigma_2}{2} \cdot \cos(2 \cdot \alpha)$$

$$\tau_{xy} = \frac{\sigma_1 - \sigma_2}{2} \cdot \sin(2 \cdot \alpha)$$

$$\sigma_1 = \frac{\sigma_x + \sigma_y}{2} + \frac{1}{2} \cdot \sqrt{(\sigma_x - \sigma_y)^2 + 4 \cdot \tau_{xy}^2}$$

$$\sigma_2 = \frac{\sigma_x + \sigma_y}{2} - \frac{1}{2} \cdot \sqrt{(\sigma_x - \sigma_y)^2 + 4 \cdot \tau_{xy}^2}$$

$$\operatorname{tg}(2 \cdot \alpha) = \frac{2 \cdot \tau_{xy}}{\sigma_x - \sigma_y}$$

## Plaski stan naprężenia

### Wzory transformacyjne

$$\sigma_x = \frac{\sigma_1 + \sigma_2}{2} + \frac{\sigma_1 - \sigma_2}{2} \cdot \cos(2 \cdot \alpha)$$

$$\sigma_y = \frac{\sigma_1 + \sigma_2}{2} - \frac{\sigma_1 - \sigma_2}{2} \cdot \cos(2 \cdot \alpha)$$

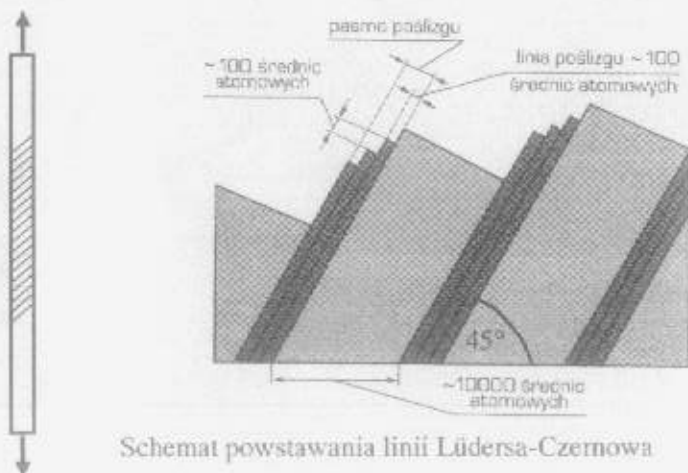
$$\tau_{xy} = \frac{\sigma_1 - \sigma_2}{2} \cdot \sin(2 \cdot \alpha)$$

Suma dwóch pierwszych równań daje:

$$\sigma_x + \sigma_y = \sigma_1 + \sigma_2$$

Z trzeciego wzoru wynika, że dla  $\alpha = 45^\circ$ , tzn. dla przekroju myślowego nachylnego  $45^\circ$  względem kierunków głównych  $\tau_{xy}$  przyjmuje wartość maksymalną

$$\tau_{\max} = \frac{\sigma_1 - \sigma_2}{2}$$



## Plaski stan naprężenia

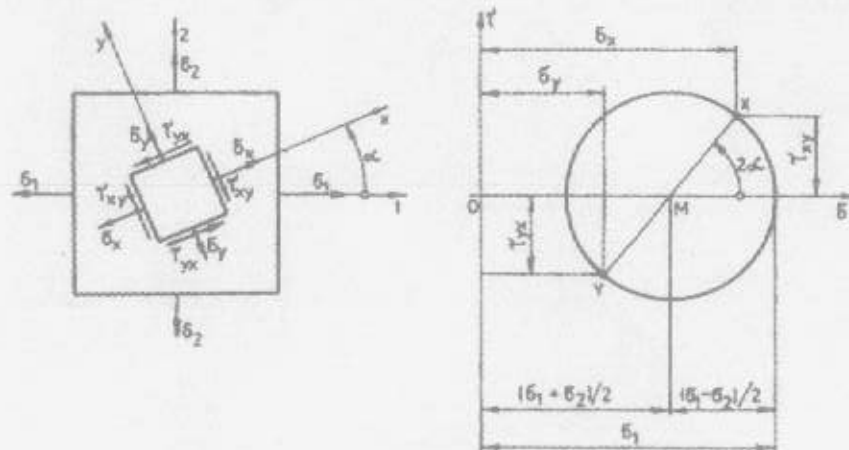
### Kolo naprężeń Mohra – odwzorowanie stanu naprężenia

$$\left. \begin{aligned} \sigma &= \frac{\sigma_1 + \sigma_2}{2} + \frac{\sigma_1 - \sigma_2}{2} \cdot \cos(2 \cdot \alpha) \\ \tau &= \frac{\sigma_1 - \sigma_2}{2} \cdot \sin(2 \cdot \alpha) \end{aligned} \right\} / ( )^2 +$$

$$\left( \sigma - \frac{\sigma_1 + \sigma_2}{2} \right)^2 + \tau^2 = \left( \frac{\sigma_1 - \sigma_2}{2} \right)^2$$

równanie okręgu we współrzędnych  $\sigma$ - $\tau$

środek okręgu ma współrzędne  $\left( \frac{\sigma_1 + \sigma_2}{2}, 0 \right)$ , a promień  $\frac{\sigma_1 - \sigma_2}{2}$

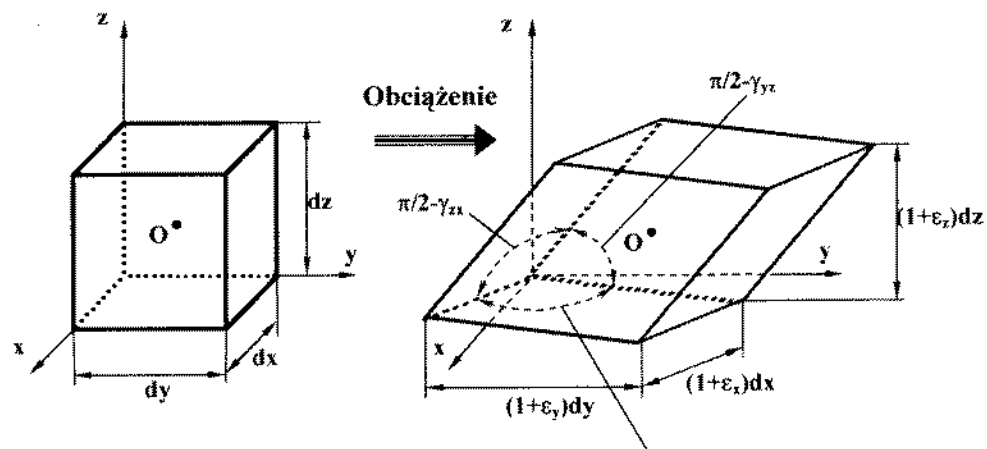


Konstrukcja wyznaczająca składowe stanu naprężenia dla dowolnego kąta  $\alpha$  na podstawie znajomości naprężeń głównych  $\sigma_1$  i  $\sigma_2$ .

## Stan odkształcenia

obciążenie zewnętrzne  $\Rightarrow$  stan naprężenia  $\Rightarrow$  stan odkształcenia

Stan odkształcenia w punkcie O można przedstawić jako odkształcenie nieskończenie małego sześcianu elementarnego, którego środek stanowi punkt O. Odkształcenie jest tak małe, że krawędzie odkształconej bryły są odcinkami.



Odkształcenie sześcianu elementarnego jest określone następującymi składowymi stanu odkształcenia:

$\epsilon_x, \epsilon_y, \epsilon_z$  - wydłużenia względne

$\gamma_{xy}, \gamma_{yz}, \gamma_{zx}$  - kąty odkształcenia postaciowego, zwane też odkształceniami poprzecznymi lub posunięciami

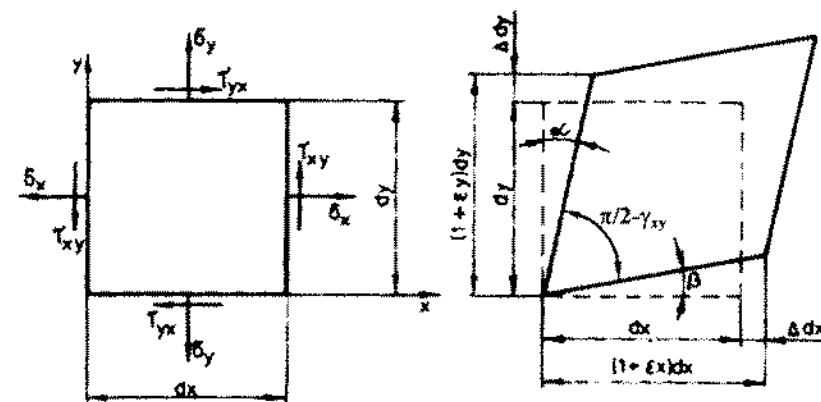
Odkształcenie sześcianu elementarnego składa się z:

- odkształcenia objętościowego ( $\epsilon_x, \epsilon_y, \epsilon_z$ )
- odkształcenia postaciowego ( $\gamma_{xy}, \gamma_{yz}, \gamma_{zx}$ )

Wielkości  $\epsilon_x, \epsilon_y, \epsilon_z, \gamma_{xy}, \gamma_{yz}, \gamma_{zx}$  są małe  $\ll 1$ .

## Stan odkształcenia

Płaski stan naprężenia:  $\sigma_x, \sigma_y, \tau_{xy}$



$$\epsilon_x = \frac{\Delta dx}{dx}$$

$$\epsilon_y = \frac{\Delta dy}{dy}$$

$$\gamma_{xy} = \alpha + \beta$$

## Stan odkształcenia

Stan odkształcenia w punkcie O przedstawia się w postaci tensora stanu odkształcenia

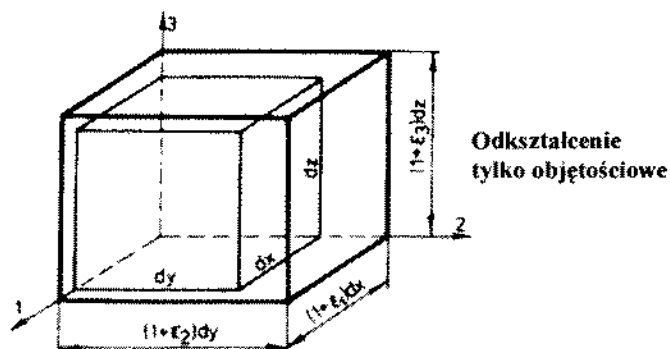
$$T_\varepsilon = \begin{bmatrix} \varepsilon_x & \gamma_{xy}/2 & \gamma_{xz}/2 \\ \gamma_{yx}/2 & \varepsilon_y & \gamma_{yz}/2 \\ \gamma_{zx}/2 & \gamma_{zy}/2 & \varepsilon_z \end{bmatrix}$$

Można udowodnić, że w punkcie O istnieje prostokątny układ współrzędnych, w którym kąty odkształcenia postaciowego są równe zero.

Tensor stanu odkształcenia ma wówczas postać:

$$T_\varepsilon = \begin{bmatrix} \varepsilon_1 & 0 & 0 \\ 0 & \varepsilon_2 & 0 \\ 0 & 0 & \varepsilon_3 \end{bmatrix}$$

Osie tego szczególnego układu współrzędnych nazywa się osiami głównymi i oznaczane się liczbami 1, 2 i 3



Odkształcenia liniowe  $\varepsilon_1, \varepsilon_2, \varepsilon_3$  wzdłuż osi głównych osiągają wartości ekstremalne i nazywane są odkształceniami głównymi.

Można wykazać, że:

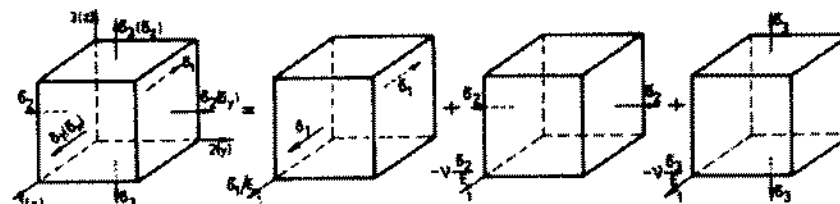
$$\varepsilon_1 + \varepsilon_2 + \varepsilon_3 = \varepsilon_x + \varepsilon_y + \varepsilon_z - \text{niezmiennik stanu odkształcenia}$$

## Związki pomiędzy stanem naprężenia i stanem odkształcenia

W ośrodku izotropowym (tzn. mającym takie same własności we wszystkich kierunkach) kierunki osi głównych stanu naprężenia i stanu odkształcenia pokrywają się ze sobą.

### Uogólnione prawo Hook'a

### Odkształcenie objętościowe



Z prawa Hook'a dla jednoosiowej próby rozciągania wynika, że:

naprężenia główne  $\sigma_1, \sigma_2, \sigma_3$  wywołują w kierunku odkształcenia głównego 1

następujące odkształcenia:  $\frac{\sigma_1}{E}, -\nu \cdot \frac{\sigma_2}{E}, -\nu \cdot \frac{\sigma_3}{E}$ .

Odkształcenie główne w kierunku 1 ma postać:

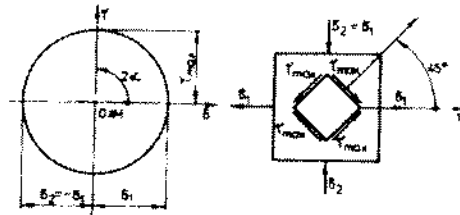
$$\varepsilon_1 = \frac{\sigma_1}{E} - \nu \cdot \frac{\sigma_2}{E} - \nu \cdot \frac{\sigma_3}{E} = \frac{1}{E} \cdot [\sigma_1 - \nu \cdot (\sigma_2 + \sigma_3)]$$

Analiza odkształceń w pozostałych kierunkach 2 i 3 prowadzi do:

$$\varepsilon_2 = \frac{1}{E} \cdot [\sigma_2 - \nu \cdot (\sigma_1 + \sigma_3)]$$

$$\varepsilon_3 = \frac{1}{E} \cdot [\sigma_3 - \nu \cdot (\sigma_1 + \sigma_2)]$$

## Uogólnione prawo Hook'a Czyste ścinanie



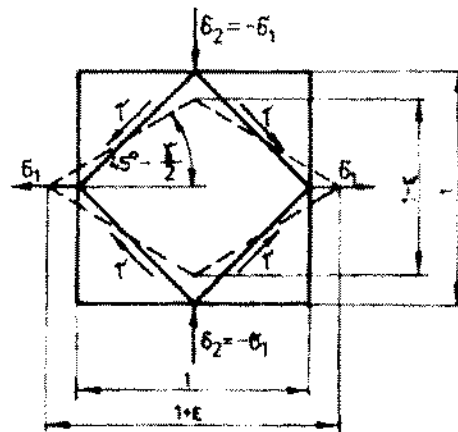
Dla płaskiego stanu naprężenia:

$$\tau_{\max} = \frac{\sigma_1 - \sigma_2}{2} \quad \text{dla } \alpha = 45^\circ$$

Czyste ścinanie:

$$\sigma_1 = -\sigma_2$$

$$|\tau| = \sigma_1 = -\sigma_2$$



Prawo Hook'a:

$$\epsilon_1 = |\epsilon_2| = \epsilon = \frac{1}{E} \cdot (\sigma_1 - \nu \cdot \sigma_2)$$

$$\epsilon = \frac{1 + \nu}{E} \cdot \sigma_1$$

Geometria:

$$\operatorname{tg}\left(\frac{\pi}{4} - \frac{\gamma}{2}\right) = \frac{1 - \epsilon_2}{1 + \epsilon_1} = \frac{1 - \epsilon}{1 + \epsilon} \quad (1)$$

$$\operatorname{tg}\left(\frac{\pi}{4} - \frac{\gamma}{2}\right) = \frac{\operatorname{tg}(\frac{\pi}{4}) - \operatorname{tg}(\frac{\gamma}{2})}{1 + \operatorname{tg}(\frac{\pi}{4}) \cdot \operatorname{tg}(\frac{\gamma}{2})} = \frac{1 - \operatorname{tg}(\frac{\gamma}{2})}{1 + \operatorname{tg}(\frac{\gamma}{2})}$$

$$\left. \begin{array}{l} \text{dla } 0 \leq \gamma \ll 1 \quad \operatorname{tg}\left(\frac{\gamma}{2}\right) \approx \frac{\gamma}{2} \end{array} \right\} \Rightarrow \operatorname{tg}\left(\frac{\pi}{4} - \frac{\gamma}{2}\right) = \frac{1 - \frac{\gamma}{2}}{1 + \frac{\gamma}{2}} \quad (2)$$

$$(1) \text{ i } (2) \rightarrow \epsilon = \gamma/2$$

$$\epsilon = \frac{1 + \nu}{E} \cdot \sigma_1 = \frac{\gamma}{2} \rightarrow \gamma = \frac{\sigma_1}{\frac{E}{2(1+\nu)}} = \frac{\tau}{\frac{E}{2(1+\nu)}}$$

## Uogólnione prawo Hook'a Czyste ścinanie

$$\gamma = \frac{\tau}{\frac{E}{2(1+\nu)}} \quad \text{kąt odkształcenia postaciowego } \gamma \text{ wywołany naprężeniem tnącym } \tau$$

$$G = \frac{E}{2 \cdot (1 + \nu)} \quad \text{jednostka [MPa]}$$

G - moduł sprężystości postaciowej (lub poprzecznej) lub moduł Kirchhoffa

$$\gamma = \frac{\tau}{G} \quad - \text{prawo Hook'a dla czystego ścinania}$$

Dla trójosiowego stanu naprężenia:

$$\gamma_{xy} = \frac{\tau_{xy}}{G} \quad \gamma_{yz} = \frac{\tau_{yz}}{G} \quad \gamma_{xz} = \frac{\tau_{xz}}{G}$$

Z twierdzenia o równości naprężeń stycznych:  $\tau_{xy} = \tau_{yx}$ ,  $\tau_{xz} = \tau_{zx}$ ,  $\tau_{yz} = \tau_{zy}$ ,

wynika:

$$\gamma_{xy} = \gamma_{yx} \quad \gamma_{xz} = \gamma_{zx} \quad \gamma_{yz} = \gamma_{zy}$$

Tensor stanu odkształcenia jest więc tensorem symetrycznym:

$$T_\epsilon = \begin{bmatrix} \epsilon_x & \gamma_{xy}/2 & \gamma_{xz}/2 \\ \gamma_{xy}/2 & \epsilon_y & \gamma_{yz}/2 \\ \gamma_{xz}/2 & \gamma_{yz}/2 & \epsilon_z \end{bmatrix}$$



## Związek pomiędzy stanem naprężenia i stanem odkształcenia Uogólnione prawo Hook'a

Dotychczasowe rozważania prowadzą do uogólnionego prawa Hook'a, które obowiązuje w dowolnym układzie naprężenia trójosiowego

$$\varepsilon_x = \frac{1}{E} \cdot [\sigma_x - \nu \cdot (\sigma_y + \sigma_z)] \quad \gamma_{xy} = \frac{\tau_{xy}}{G}$$

$$\varepsilon_y = \frac{1}{E} \cdot [\sigma_y - \nu \cdot (\sigma_z + \sigma_x)] \quad \gamma_{yz} = \frac{\tau_{yz}}{G}$$

$$\varepsilon_z = \frac{1}{E} \cdot [\sigma_z - \nu \cdot (\sigma_x + \sigma_y)] \quad \gamma_{zx} = \frac{\tau_{zx}}{G}$$

$$\sigma_x = \frac{E}{1 + \nu} \cdot \left[ \varepsilon_x + \frac{\nu}{1 - 2 \cdot \nu} \cdot (\varepsilon_x + \varepsilon_y + \varepsilon_z) \right] \quad \tau_{xy} = G \cdot \gamma_{xy}$$

$$\sigma_y = \frac{E}{1 + \nu} \cdot \left[ \varepsilon_y + \frac{\nu}{1 - 2 \cdot \nu} \cdot (\varepsilon_x + \varepsilon_y + \varepsilon_z) \right] \quad \tau_{yz} = G \cdot \gamma_{yz}$$

$$\sigma_x = \frac{E}{1 + \nu} \cdot \left[ \varepsilon_z + \frac{\nu}{1 - 2 \cdot \nu} \cdot (\varepsilon_x + \varepsilon_y + \varepsilon_z) \right] \quad \tau_{zx} = G \cdot \gamma_{zx}$$

W układzie osi głównych:

$$\varepsilon_1 = \frac{1}{E} \cdot [\sigma_1 - \nu \cdot (\sigma_2 + \sigma_3)]$$

$$\varepsilon_2 = \frac{1}{E} \cdot [\sigma_2 - \nu \cdot (\sigma_1 + \sigma_3)]$$

$$\varepsilon_3 = \frac{1}{E} \cdot [\sigma_3 - \nu \cdot (\sigma_1 + \sigma_2)]$$

$$\sigma_1 = \frac{E}{1 + \nu} \cdot \left[ \varepsilon_1 + \frac{\nu}{1 - 2 \cdot \nu} \cdot (\varepsilon_1 + \varepsilon_2 + \varepsilon_3) \right]$$

$$\sigma_2 = \frac{E}{1 + \nu} \cdot \left[ \varepsilon_2 + \frac{\nu}{1 - 2 \cdot \nu} \cdot (\varepsilon_1 + \varepsilon_2 + \varepsilon_3) \right]$$

$$\sigma_3 = \frac{E}{1 + \nu} \cdot \left[ \varepsilon_3 + \frac{\nu}{1 - 2 \cdot \nu} \cdot (\varepsilon_1 + \varepsilon_2 + \varepsilon_3) \right]$$

## Związek pomiędzy stanem naprężenia i stanem odkształcenia Uogólnione prawo Hook'a

Przypadek płaskiego (dwuosowego) stanu naprężenia (w układzie osi głównych)

$$\sigma_1 \neq 0, \quad \sigma_2 \neq 0, \quad \sigma_3 = 0$$

$$\varepsilon_1 = \frac{1}{E} \cdot (\sigma_1 - \nu \cdot \sigma_2)$$

$$\varepsilon_2 = \frac{1}{E} \cdot (\sigma_2 - \nu \cdot \sigma_1) \quad \text{- odkształcenia w trzech kierunkach}$$

$$\varepsilon_3 = -\frac{\nu}{E} \cdot (\sigma_1 + \sigma_2)$$

Przypadek płaskiego (dwuosowego) stanu odkształcenia (w układzie osi głównych)

$$\varepsilon_1 \neq 0, \quad \varepsilon_2 \neq 0, \quad \varepsilon_3 = 0$$

$$\varepsilon_3 = \frac{1}{E} \cdot [\sigma_3 - \nu \cdot (\sigma_1 + \sigma_2)] = 0$$



$$\sigma_3 = \nu \cdot (\sigma_1 + \sigma_2)$$

Płaski stan naprężenia wywołać można odpowiednio dobranym przestrzennym układem naprężenia.

**Płaski stan odkształcenia.  
Podstawy tensometrii**

Wykorzystując wzory (wiążące naprężenia główne z dowolnie obróconym o kąt  $\alpha$  układem naprężeń) otrzymane dla płaskiego stanu naprężenia:

$$\sigma_{1,2} = \frac{\sigma_x + \sigma_y}{2} \pm \frac{1}{2} \sqrt{(\sigma_x - \sigma_y)^2 + 4 \cdot \tau_{xy}^2}$$

$$\operatorname{tg}(2 \cdot \alpha) = \frac{2 \cdot \tau_{xy}}{\sigma_x - \sigma_y}$$

i podstawiając do nich uogólnione równania Hook'a oraz wykorzystując niezmiennik stanu odkształcenia ( $\epsilon_1 + \epsilon_2 + \epsilon_3 = \epsilon_x + \epsilon_y + \epsilon_z$ ) otrzymuje się:

$$\frac{E}{1+\nu} \cdot \left[ \epsilon_{1,2} + \frac{\nu}{1-2\nu} \cdot (\epsilon_1 + \epsilon_2 + \epsilon_3) \right] =$$

$$\frac{1}{2} \cdot \frac{E}{1+\nu} \cdot \left[ \epsilon_x + \epsilon_y + \frac{2\nu}{1+\nu} \cdot (\epsilon_x + \epsilon_y + \epsilon_z) \right] \pm \frac{1}{2} \sqrt{\frac{E^2}{(1+\nu)^2} (\epsilon_x - \epsilon_y)^2 + 4 \cdot G \cdot \gamma_{xy}^2}$$

$$\epsilon_{1,2} = \frac{\epsilon_x + \epsilon_y}{2} \pm \sqrt{(\epsilon_x - \epsilon_y)^2 + \gamma_{xy}^2}$$

$$\operatorname{tg}(2 \cdot \alpha) = \frac{2 \cdot G \cdot \gamma_{xy}}{\frac{E}{1+\nu} \cdot \left[ \epsilon_x + \frac{\nu}{1-2\nu} \cdot (\epsilon_x + \epsilon_y + \epsilon_z) - \epsilon_x - \frac{\nu}{1-2\nu} \cdot (\epsilon_x + \epsilon_y + \epsilon_z) \right]} =$$

$$= \frac{\gamma_{xy}}{\epsilon_x - \epsilon_y}$$

$$\epsilon_{1,2} = \frac{\epsilon_x + \epsilon_y}{2} \pm \sqrt{(\epsilon_x - \epsilon_y)^2 + \gamma_{xy}^2}$$

$$\operatorname{tg}(2 \cdot \alpha) = \frac{\gamma_{xy}}{\epsilon_x - \epsilon_y}$$

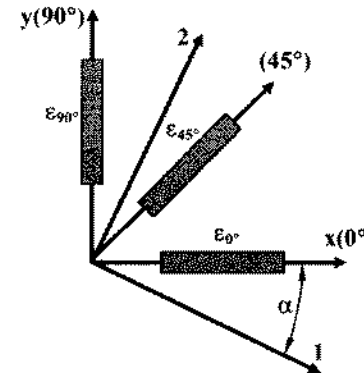
**Płaski stan odkształcenia.  
Podstawy tensometrii**

$$\epsilon_{1,2} = \frac{\epsilon_x + \epsilon_y}{2} \pm \sqrt{(\epsilon_x - \epsilon_y)^2 + \gamma_{xy}^2}$$

$$\operatorname{tg}(2 \cdot \alpha) = \frac{\gamma_{xy}}{\epsilon_x - \epsilon_y}$$

Układ równań pozwala wyznaczyć dla płaskiego stanu odkształceń kierunki główne odkształcenia  $\epsilon_1$ ,  $\epsilon_2$  oraz kąt  $\alpha$  przy pomocy odkształceń liniowych  $\epsilon_x$ ,  $\epsilon_y$  i kąta odkształcenia postaciowego  $\gamma_{xy}$  zmierzonych w dowolnym prostokątnym układzie współrzędnych (obróconym o kąt  $\alpha$  względem układu osi głównych) - zadanie w praktyce bardzo trudne do zrealizowania ze względu na trudności pomiaru  $\gamma_{xy}$ .

W praktyce rozwiązuje się to stosując następujący układ pomiaru odkształceń liniowych w trzech kierunkach  $\epsilon_{0^\circ}$ ,  $\epsilon_{45^\circ}$ ,  $\epsilon_{90^\circ}$



$$\epsilon_n = \frac{\epsilon_1 + \epsilon_2}{2} + \frac{\epsilon_1 - \epsilon_2}{2} \cdot \cos(2 \cdot \alpha)$$

$$\frac{\gamma_n}{2} = \frac{\epsilon_1 - \epsilon_2}{2} \cdot \sin(2 \cdot \alpha)$$

$$\epsilon_{0^\circ} = \frac{\epsilon_1 + \epsilon_2}{2} + \frac{\epsilon_1 - \epsilon_2}{2} \cdot \cos(2 \cdot \alpha)$$

$$\epsilon_{45^\circ} = \frac{\epsilon_1 + \epsilon_2}{2} + \frac{\epsilon_1 - \epsilon_2}{2} \cdot \cos[2 \cdot (\alpha + 45^\circ)]$$

$$\epsilon_{90^\circ} = \frac{\epsilon_1 + \epsilon_2}{2} + \frac{\epsilon_1 - \epsilon_2}{2} \cdot \cos[2 \cdot (\alpha + 90^\circ)]$$

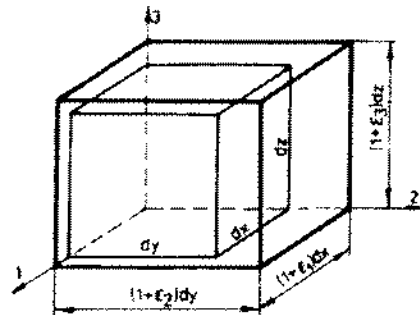
$$\epsilon_{1,2} = \frac{\epsilon_{0^\circ} + \epsilon_{90^\circ}}{2} \pm \frac{\epsilon_{0^\circ} - \epsilon_{90^\circ}}{2} \cdot \frac{1}{\cos(2 \cdot \alpha)}$$

$$\operatorname{tg}(2 \cdot \alpha) = \frac{2 \cdot \epsilon_{45^\circ} - \epsilon_{0^\circ} - \epsilon_{90^\circ}}{\epsilon_{0^\circ} - \epsilon_{90^\circ}}$$

$$\epsilon_{1,2} = \frac{\epsilon_{0^\circ} + \epsilon_{90^\circ}}{2} \pm \frac{1}{\sqrt{2}} \cdot \sqrt{(\epsilon_{0^\circ} - \epsilon_{45^\circ})^2 + (\epsilon_{45^\circ} - \epsilon_{90^\circ})^2}$$

Praktyczne wzory do  
doświadczalnego  
wyznaczania  
odkształceń  
głównych

## Odkształcenia objętościowe Moduł objętościowej ścisłości sprężystej



Objętość początkowa  $dV_0 = dx \cdot dy \cdot dz$

Objętość końcowa

$$dV = (1 + \varepsilon_1) \cdot dx \cdot (1 + \varepsilon_2) \cdot dy \cdot (1 + \varepsilon_3) \cdot dz$$

Względna zmiana objętości  $\vartheta$  (przyrost jednostkowy objętości), wynosi

$$\begin{aligned} \vartheta &= \frac{dV - dV_0}{dV_0} = \frac{(1 + \varepsilon_1) \cdot (1 + \varepsilon_2) \cdot (1 + \varepsilon_3) \cdot dx \cdot dy \cdot dz - dx \cdot dy \cdot dz}{dx \cdot dy \cdot dz} = \\ &= (1 + \varepsilon_1) \cdot (1 + \varepsilon_2) \cdot (1 + \varepsilon_3) - 1 = \\ &= 1 + \varepsilon_1 + \varepsilon_2 + \varepsilon_3 + \varepsilon_1 \cdot \varepsilon_2 + \varepsilon_2 \cdot \varepsilon_3 + \varepsilon_3 \cdot \varepsilon_1 + \varepsilon_1 \cdot \varepsilon_2 \cdot \varepsilon_3 - 1 \end{aligned}$$

Ponieważ  $\varepsilon_1 \cdot \varepsilon_2, \varepsilon_2 \cdot \varepsilon_3, \varepsilon_3 \cdot \varepsilon_1, \varepsilon_1 \cdot \varepsilon_2 \cdot \varepsilon_3 \ll \varepsilon_1, \varepsilon_2, \varepsilon_3$ ; to

$$\vartheta = \frac{dV - dV_0}{dV_0} = \varepsilon_1 + \varepsilon_2 + \varepsilon_3 = \varepsilon_x + \varepsilon_y + \varepsilon_z$$

Dla hydrostatycznego ściskania (zewnętrzne ciśnienie  $p$ ):  $\sigma_1 = \sigma_2 = \sigma_3 = p$

$$\vartheta = \varepsilon_1 + \varepsilon_2 + \varepsilon_3 = \frac{1 - 2 \cdot \nu}{E} \cdot (\sigma_1 + \sigma_2 + \sigma_3) = \frac{3 \cdot (1 - 2 \cdot \nu)}{E} \cdot p = \frac{p}{B}$$

$$B = \frac{E}{3 \cdot (1 - 2 \cdot \nu)} \quad \text{- moduł objętościowej ścisłości sprężystej}$$

(moduł Helmholtza)

## Energia sprężysta

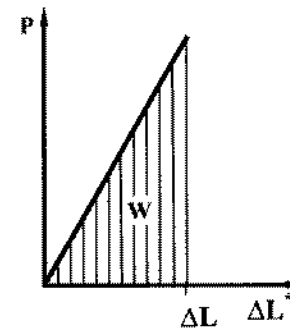
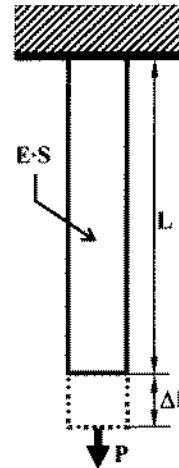
Quasi-statyczne rozciąganie pręta pryzmatycznego

Obciążenie  $P$ , narastając bardzo powoli od zera  $P(0)=0$  do swojej końcowej wartości  $P$ , wykonuje pracę, związaną z pokonaniem sił wewnętrznych w przęcie i rozciągnięciem go o długość  $\Delta L$ .

Praca ta jest zmagazynowana w materiale pręta w postaci sprężystej energii potencjalnej.

Siła potrzebna do rozciągnięcia pręta o długość  $\Delta L^*$  jest proporcjonalna do  $\Delta L^*$ , tzn. zmienia się liniowo w trakcie rozciągania i wynosi:

$$P(\Delta L^*) = \frac{E \cdot S}{L} \cdot \Delta L^*$$



$W$  - praca wykonywana przez siłę  $P$

$\varepsilon = \frac{\Delta L}{L}$  - względny przyrost długości

$\sigma = \frac{P}{S}$  - naprężenie

$V = L \cdot S$  - objętość pręta

$\Phi = \frac{W}{V}$  - energia przypadająca na jednostkę

objętości pręta, czyli energia właściwa odkształcenia sprężystego

Praca wykonana przez narastającą liniowo siłę  $P(\Delta L^*)$ :

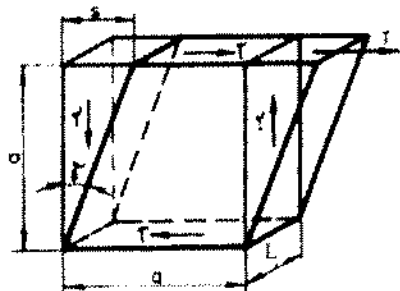
$$W = \sum_{\Delta L^* \rightarrow 0} P \cdot \Delta L^* = \int_0^{\Delta L} P \cdot d(\Delta L^*) = \frac{E \cdot S}{L} \cdot \int_0^{\Delta L} \Delta L^* \cdot d(\Delta L^*) = \frac{E \cdot S}{L} \cdot \frac{\Delta L^2}{2}$$

$$W = \frac{E \cdot S \cdot \Delta L^2}{2 \cdot L} = \frac{E \cdot S \cdot \left(\frac{P \cdot L}{E \cdot S}\right)^2}{2 \cdot L} = \frac{P^2 \cdot L}{2 \cdot E \cdot S}$$

$$\Phi = \frac{P^2 \cdot L / 2 \cdot E \cdot S}{L \cdot S} = \frac{P^2}{2 \cdot E \cdot S^2} = \frac{\sigma^2}{2 \cdot E}$$

Korzystając z prawa Hook'a  $E \cdot \varepsilon = \sigma$ , otrzymuje się  $\Phi = \frac{1}{2} \cdot \sigma \cdot \varepsilon$

## Energia sprężysta – przypadek ścinania



Element o grubości  $L$   
i bokach  $a \times a$

Pracę wykonuje siła

$T = \tau \cdot a \cdot L$  (napężenie  $\times$  pole powierzchni)

na drodze  $s = a \cdot \gamma$  (ramię  $\times$  kąt odkształcenia)

Praca wykonana przez narastającą liniowo siłę  $T(\gamma')$ :

$$W = \int_0^s T \cdot ds' = \int_0^\gamma G \cdot \gamma' \cdot a \cdot L \cdot a \cdot d\gamma' = G \cdot a^2 \cdot L \int_0^\gamma \gamma' \cdot d\gamma' = G \cdot a^2 \cdot L \cdot \frac{\gamma^2}{2}$$

$$W = \frac{G \cdot a^2 \cdot L \cdot \gamma^2}{2} = \frac{G \cdot a^2 \cdot L \cdot \gamma \cdot \frac{\tau}{G}}{2} = \frac{a^2 \cdot L \cdot \gamma \cdot \tau}{2}$$

$$\Phi = \frac{W}{V} = \frac{a^2 \cdot L \cdot \gamma \cdot \tau}{2 \cdot a^2 \cdot L} = \frac{1}{2} \cdot \gamma \cdot \tau$$

$$\Phi = \frac{1}{2} \cdot \gamma \cdot \tau$$

Uogólniając otrzymane wyniki do przestrzennego (trójosiowego) stanu napężenia i wykorzystując zasadę superpozycji otrzymuje się wyrażenie na energię właściwą odkształcenia sprężystego w dowolnym układzie współrzędnych:

$$\Phi = \frac{1}{2} \cdot (\sigma_x \cdot \varepsilon_x + \sigma_y \cdot \varepsilon_y + \sigma_z \cdot \varepsilon_z + \tau_{xy} \cdot \gamma_{xy} + \tau_{yz} \cdot \gamma_{yz} + \tau_{zx} \cdot \gamma_{zx})$$

oraz dla naprężeń głównych

$$\Phi = \frac{1}{2} \cdot (\sigma_1 \cdot \varepsilon_1 + \sigma_2 \cdot \varepsilon_2 + \sigma_3 \cdot \varepsilon_3)$$

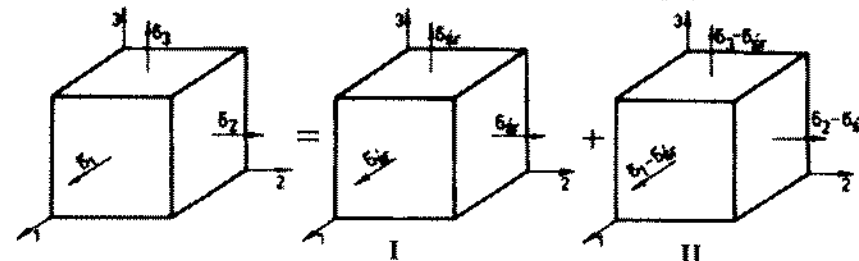
## Energia sprężysta

$\Phi_O$  – energia sprężysta odkształcenia objętościowego

$\Phi_P$  – energia sprężysta odkształcenia postaciowego

$$\Phi = \frac{1}{2} \cdot (\sigma_1 \cdot \varepsilon_1 + \sigma_2 \cdot \varepsilon_2 + \sigma_3 \cdot \varepsilon_3) = \Phi_O + \Phi_P$$

Sześcian elementarny w układzie naprężeń głównych przedstawiony jako superpozycja dwóch rodzajów naprężeń I i II



$$\sigma_{sr} = \frac{\sigma_1 + \sigma_2 + \sigma_3}{3} \quad \text{– średnie napężenie}$$

Zmiana objętości drugiego (II) rodzaju naprężenia:

$$\begin{aligned} \vartheta &= \varepsilon_1 + \varepsilon_2 + \varepsilon_3 = \frac{1-2 \cdot \nu}{E} \cdot [(\sigma_1 - \sigma_{sr}) + (\sigma_2 - \sigma_{sr}) + (\sigma_3 - \sigma_{sr})] = \\ &= \frac{1-2 \cdot \nu}{E} \cdot (\sigma_1 + \sigma_2 + \sigma_3 - 3 \cdot \sigma_{sr}) = 0 \end{aligned}$$

Rodzaj naprężenia II odpowiada wyłącznie za zmianę kształtu

$$\Phi_O = \frac{3}{2} \cdot \sigma_{sr} \cdot \varepsilon_{sr} = \frac{3}{2} \cdot \sigma_{sr} \cdot \frac{1}{E} \cdot [\sigma_{sr} - \nu \cdot (\sigma_{sr} + \sigma_{sr})] = \frac{3}{2} \cdot \frac{1-2 \cdot \nu}{E} \cdot \sigma_{sr}^2$$

$$\Phi_O = \frac{1-2 \cdot \nu}{6 \cdot E} \cdot (\sigma_1 + \sigma_2 + \sigma_3)^2 = \frac{1-2 \cdot \nu}{6 \cdot E} \cdot (\sigma_x + \sigma_y + \sigma_z)^2$$

$$\begin{aligned} \Phi_P &= \Phi - \Phi_O = \frac{1+\nu}{6 \cdot E} \cdot [(\sigma_1 - \sigma_2)^2 + (\sigma_2 - \sigma_3)^2 + (\sigma_3 - \sigma_1)^2] = \\ &= \frac{1+\nu}{6 \cdot E} \cdot [(\sigma_x - \sigma_y)^2 + (\sigma_y - \sigma_z)^2 + (\sigma_z - \sigma_x)^2 + 6 \cdot (\tau_{xy}^2 + \tau_{yz}^2 + \tau_{zx}^2)] \end{aligned}$$

## Pojęcie wyężenia materiału

Napężenie dopuszczalne w statycznej próbie rozciągania (ściskania)

$K$  – napężenie niszczące: np.:  $R_t$  dla materiałów sprężysto-plastycznych  
 $R_m$  dla materiałów kruchych

$k_r$  – napężenie dopuszczalne (napężenie, jakie dopuszcza się ze względu na bezpieczeństwo danego elementu urządzenia/konstrukcji)

$k_r = \frac{K}{n}$  gdzie  $n > 1$  – warunek bezpieczeństwa

Przyjmując odpowiednią wartość  $n$  należy uwzględnić warunki pracy konstrukcji, możliwość pojawienia się wad materiałowych, niedokładność modelu obliczeniowego itp.)

### Ważne praktyczne zagadnienie:

Jakie kryterium bezpieczeństwa przyjąć dla elementu konstrukcyjnego poddanego działaniu obciążeń złożonych, tzn. w dwu- lub trójwymiarowym stanie naprężeń?

Doświadczalne określanie naprężeń niszczących i określanie naprężeń dopuszczalnych dla złożonych stanów naprężeń jest zagadnieniem czasochłonnym i kosztownym. Należy znaleźć prostszą metodę.

Pojęcie wyężenia materiału: miara zbliżania się materiału do stanu niebezpiecznego (grożącego zniszczeniem)

Przyjmuje się, że wyężenie jest funkcją stanu naprężenia:  $\sigma_x, \sigma_y, \sigma_z, \tau_{xy}, \tau_{yz}, \tau_{zx}$  oraz stałych materiałowych:  $C_1, C_2, \dots$

$$W = f(\sigma_x, \sigma_y, \sigma_z, \tau_{xy}, \tau_{yz}, \tau_{zx}, C_1, C_2, \dots)$$

$$W = f(\sigma_1, \sigma_2, \sigma_3, C_1, C_2, \dots)$$

## Pojęcie wyężenia materiału

Aby określić warunek odpowiadający stanowi niebezpiecznemu dla danego materiału w złożonym stanie naprężenia, przyrównuje się wyężenie tego materiału do wyężenia tego materiału dla jednoosiowego rozciągania naprężeniem równym  $\sigma_{red}$ , zwanym naprężeniem zredukowanym.

$$f(\sigma_1, \sigma_2, \sigma_3, C_1, C_2, \dots) = f(\sigma_{red}, C_1, C_2, \dots)$$

$$\sigma_{red} = \varphi(\sigma_1, \sigma_2, \sigma_3, C_1, C_2, \dots)$$

$\sigma_{red}$  charakteryzuje dany ogólny stan naprężenia pod względem wyężenia

Warunek wytrzymałościowy określa się, zatem jako:

$$\sigma_{red} \leq k_r = \frac{K}{n}$$

Postać funkcji  $\varphi(\sigma_1, \sigma_2, \sigma_3, C_1, C_2, \dots)$  zależy od odpowiednio postawionej hipotezy wyężeniowej (wytrzymałościowej)

## Hipotezy wytrzymałościowe

### 1. Hipoteza największego naprężenia rozciągającego (Galileusz)

O wytrzymałości materiału decyduje wartość największego naprężenia rozciągającego lub ściskającego:

$$k_{rc} \leq \sigma_{red} = \sigma_1 \leq k_r$$

$k_{rc}$ ,  $k_r$  – naprężenia dopuszczalne dla jednoosiowego ściskania i rozciągania

Doświadczenie wykazuje, że hipoteza ta ma zastosowanie do materiałów kruchych. W przypadku materiałów sprężysto-plastycznych nie sprawdza się.

### 2. Hipoteza największego odkształcenia (de Saint-Venant)

O wytrzymałości materiału decyduje największe wydłużenie względne:

$$\varepsilon_{max} = \varepsilon_1 = \frac{1}{E} [\sigma_1 - \nu(\sigma_2 + \sigma_3)] \quad \text{dla ogólnego trójosiowego stanu naprężenia}$$

$$\varepsilon_{red} = \frac{\sigma_{red}}{E} \quad \text{dla jednoosiowego stanu naprężenia przy rozciąganiu}$$

Prosty (jednoosiowy) oraz złożony stan naprężenia mają wywołać takie samo wydłużenie, zatem  $\varepsilon_{max} = \varepsilon_{red}$ , a stąd warunek bezpieczeństwa

$$\sigma_{red} = \sigma_1 - \nu(\sigma_2 + \sigma_3) \leq k_r$$

Doświadczenie wykazuje, że hipoteza ta ma zastosowanie do materiałów kruchych, zwłaszcza niemetalicznych. W przypadku materiałów sprężysto-plastycznych nie sprawdza się.

## Hipotezy wytrzymałościowe

### 3. Hipoteza największego naprężenia stycznego (Coulomb)

O wytrzymałości materiału decyduje wartość największego naprężenia stycznego:

$$\tau_{max} = \frac{\sigma_1 - \sigma_3}{2} \quad \text{dla ogólnego trójosiowego stanu naprężenia}$$

$$\tau_{red} = \frac{\sigma_{red}}{2} \quad \text{dla jednoosiowego stanu naprężenia przy rozciąganiu}$$

Prosty (jednoosiowy) oraz złożony stan naprężenia mają wywołać takie samo wytrzymałościowe, zatem  $\tau_{max} = \tau_{red}$ , a stąd warunek bezpieczeństwa

$$\sigma_{red} = \sigma_1 - \sigma_3 \leq k_r$$

Szczególne przypadki dla płaskiego stanu naprężeń (jedno z naprężeń głównych jest równe zero):

Ponieważ  $\sigma_1 \geq \sigma_2 \geq \sigma_3$ , to:

a) gdy dwa niezerowe naprężenia są rozciągające (tzn. większe od zera)  $\sigma_3 = 0$  i

$$\sigma_{red} = \sigma_1 \leq k_r$$

b) gdy dwa niezerowe naprężenia są ściskające (tzn. ujemne)  $\sigma_1 = 0$  i

$$\sigma_{red} = -\sigma_3 \leq k_r$$

c) gdy jedno niezerowe naprężenie jest rozciągające a drugie ściskające  $\sigma_2 = 0$  i

$$\sigma_{red} = \sigma_1 - \sigma_3 \leq k_r$$

Doświadczenie wykazuje, że hipoteza ta ma zastosowanie do materiałów sprężysto-plastycznych zwłaszcza w płaskich stanach naprężeń.

## Hipotezy wyężeniowe

### 4. Hipoteza, że o wyężeniu decyduje energia właściwa odkształcenia postaciowego (Huber).

Dla trójosiowego stanu napężenia:

$$\Phi_P = \frac{1+\nu}{6 \cdot E} \cdot [(\sigma_1 - \sigma_2)^2 + (\sigma_2 - \sigma_3)^2 + (\sigma_3 - \sigma_1)^2]$$

Dla jednoosiowego stanu napężenia:

$$\Phi_{P \text{ red}} = \frac{1+\nu}{6 \cdot E} \cdot \sigma_{\text{red}}^2$$

Prosty (jednoosiowy) oraz złożony stan napężenia mają posiadać taką samą energię właściwą odkształcenia postaciowego w stanie wyężenia:

$$\Phi_{P \text{ red}} = \Phi_P$$

czyli

$$\sigma_{\text{red}} = \sqrt{\sigma_1^2 + \sigma_2^2 - \sigma_1 \cdot \sigma_2} \leq k_r$$

Hipoteza ta znalazła potwierdzenie dla materiałów sprężysto-plastycznych w zakresie sprężystości jak i plastyczności.

Podobne hipotezy, dotyczące całkowitej energii sprężystej oraz energii sprężystej odkształcenia objętościowego nie znalazły potwierdzenia doświadczalnego.

## Tensometria

Tensometria (*lat.* *tensus* – napięty, *gr.* *metreo* – mierzę)

– metoda wyznaczania naprężeń na podstawie pomiarów odkształceń materiału badanej konstrukcji

Tensometr (czujnik tensometryczny) – przyrząd do pomiaru odkształceń liniowych oraz za ich pośrednictwem naprężeń występujących przy obciążeniu badanego ciała.

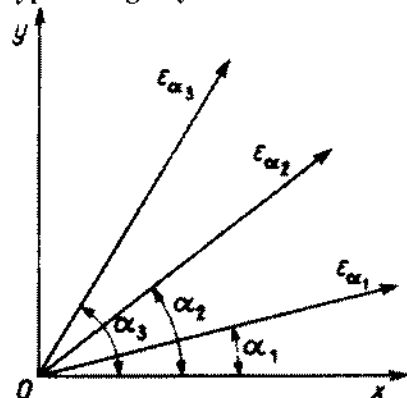
1. Tensometria – metoda punktowa, gdyż pozwala wyznaczyć odkształcenie badanego ciała tylko w punkcie przyłożenia tensometru.
2. Czujnik tensometryczny – zasadnicza część urządzenia tensometrycznego, przylegająca do powierzchni badanego ciała w ten sposób, że jej odkształcenia są identyczne z odkształceniami tego ciała.
3. Baza – podstawowa cecha tensometru, długość pomiarowa  $L_0$ , do której odnosi się zmiana  $\Delta L_0$  długości pomiarowej wywołanej odkształceniem elementu, do którego przymocowany jest czujnik tensometryczny.
4.  $\varepsilon = \frac{\Delta L_0}{L_0}$  – odkształcenie (względne wydłużenie) tensometru określa średnią odkształcenia na długości bazy tensometru. Dlatego:
  - w miejscach koncentracji naprężeń należy stosować tensometry o małej bazie (jak najkrótszej): 0.5-3 mm
  - w przypadku liniowej zmienności stanu naprężeń można stosować tensometry o średniej bazie: 5-30 mm
  - w przypadku badania cech mechanicznych materiału w warunkach jednorodnego stanu naprężenia można stosować tensometry o dużej bazie: > 30 mm.

## Tensometria

1. Czujnik tensometryczny ma skończone rozmiary – nie może być dowolnie mały (najmniejsze tensometry ok. 0.1 mm) – pomiar w punkcie jest niemożliwy.
2. Pomiar nominalnie (z nazwy) w punkcie – tzn. pomiar w małym obszarze wokół tego punktu.
3. Dwuosiowy stan odkształcenia – określony jest przez trzy wydłużenia względne, w trzech dowolnych kierunkach, leżących w jednej płaszczyźnie. Należy dokonać trzech pomiarów (w wyjątkowym przypadku dwóch) odkształceń w różnych (dowolnych) kierunkach wokół badanego punktu.
4. Rozeta tensometryczna – układ kilku tensometrów, (co najmniej dwóch) ułożonych bardzo blisko siebie na powierzchni badanego ciała umożliwiające jednoczesny pomiar odkształceń.
5. Kształt rozety tensometrycznej (czyli ustawienie geometryczne czujników tensometrycznych względem siebie) powinien zredukować do minimum błąd pomiarowy wynikający ze skończonych wymiarów objętego pomiarem pola oraz uzyskać proste związki matematyczne pomiędzy odkształceniami mierzonymi a obliczanymi.
6. Wielkość błędu pomiarowego nie jest jednoznacznie związana z długością bazy pomiarowej tensometru, ponieważ wartość średnia odkształcenia, jaką rejestruje tensometr, jest ściśle wartością w miejscu odpowiadającym połowie długości tej bazy.



## Teoria rozet tensometrycznych. Przypadek ogólny trzech tensometrów.



x-y – dowolny układ współrzędnych

$\alpha_1, \alpha_2, \alpha_3$  – dowolne kąty wyznaczające kierunki baz trzech tensometrów  
w danym układzie współrzędnych x-y

$\epsilon_{\alpha_1}, \epsilon_{\alpha_2}, \epsilon_{\alpha_3}$  – wydłużenia względne tensometrów

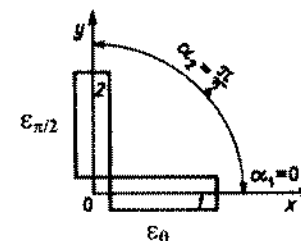
$\epsilon_x, \epsilon_y, \gamma_{xy}$  – wydłużenia względne wzdłuż osi układu współrzędnych x-y oraz  
odkształcenie kątowe w tym układzie

Związki pomiędzy wydłużeniami tensometrów a wydłużeniami zdefiniowanymi  
w układzie współrzędnych x-y:

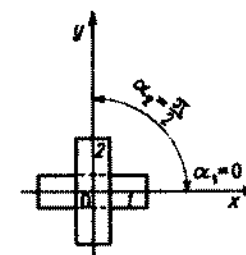
$$\begin{aligned}\epsilon_{\alpha_1} &= \frac{\epsilon_x + \epsilon_y}{2} + \frac{\epsilon_x - \epsilon_y}{2} \cos(2\alpha_1) + \frac{\gamma_{xy}}{2} \sin(2\alpha_1) \\ \epsilon_{\alpha_2} &= \frac{\epsilon_x + \epsilon_y}{2} + \frac{\epsilon_x - \epsilon_y}{2} \cos(2\alpha_2) + \frac{\gamma_{xy}}{2} \sin(2\alpha_2) \\ \epsilon_{\alpha_3} &= \frac{\epsilon_x + \epsilon_y}{2} + \frac{\epsilon_x - \epsilon_y}{2} \cos(2\alpha_3) + \frac{\gamma_{xy}}{2} \sin(2\alpha_3)\end{aligned}$$

## Teoria rozet tensometrycznych

**Podstawowe typy rozet tensometrycznych**  
(rozety zgrupowane są w grupy identyczne pod względem obliczeniowym)



rozeta prostokątna



rozeta skrzyżowana prostokątna

Typ ten jest używany tylko w przypadku, gdy znany jest jeszcze przed pomiarem układ osi głównych (kierunki głównych odkształceń). Oś tensometrów (linie bazy) ustawia się wzdłuż tych kierunków.

Związki pomiędzy odkształceniami zmierzonymi przy użyciu tensometrów a głównymi odkształceniami. Wyznaczenie naprężeń głównych:

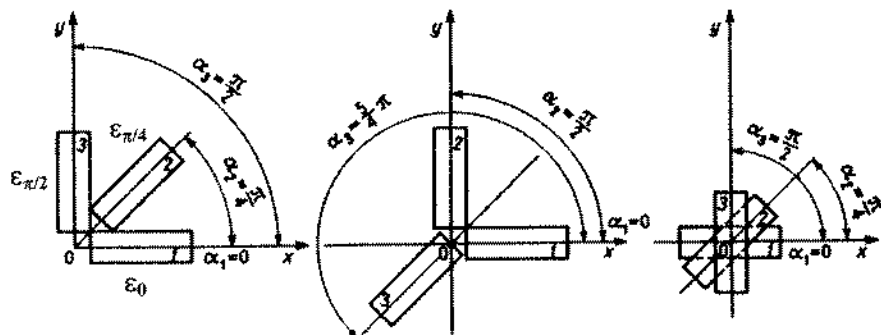
$$\epsilon_0 = \epsilon_1 \quad \epsilon_{\pi/2} = \epsilon_2$$

$$\sigma_1 = \frac{E}{1 - \nu^2} (\epsilon_1 + \nu \epsilon_2)$$

$$\sigma_2 = \frac{E}{1 - \nu^2} (\epsilon_2 + \nu \epsilon_1)$$

## Teoria rozet tensometrycznych

Typy rozet używanych, gdy nieznane są kierunki główne odkształceń



prostokątna złożona

gwiazdowa o jednej  
osi symetrii

prostokątna skrzyżowana  
(gwiazdowa)

Związki pomiędzy wydłużeniami wyznaczonymi przez tensometry a wydłużeniami względnymi i odkształceniem kątowym w układzie współrzędnych określonym przez układ tensometrów:

$$\varepsilon_x = \varepsilon_0$$

$$\varepsilon_y = \varepsilon_{\pi/2}$$

$$\frac{\gamma_{xy}}{2} = \varepsilon_{\pi/4} - \frac{1}{2}(\varepsilon_0 + \varepsilon_{\pi/2})$$

Związki pomiędzy wydłużeniami wyznaczonymi przez tensometry a głównymi odkształceniami oraz kątem  $\varphi$  o jaki układ współrzędnych tensometru jest obrócony względem osi głównych odkształcenia:

$$\varepsilon_{1,2} = \frac{\varepsilon_0 + \varepsilon_{\pi/2}}{2} \pm \frac{\sqrt{2}}{2} \sqrt{(\varepsilon_0 - \varepsilon_{\pi/4})^2 + (\varepsilon_{\pi/4} - \varepsilon_{\pi/2})^2}$$

$$\operatorname{tg}(2\varphi) = \frac{2\varepsilon_{\pi/4} - (\varepsilon_0 + \varepsilon_{\pi/2})}{\varepsilon_0 - \varepsilon_{\pi/2}}$$

Naprężenia główne wynoszą:

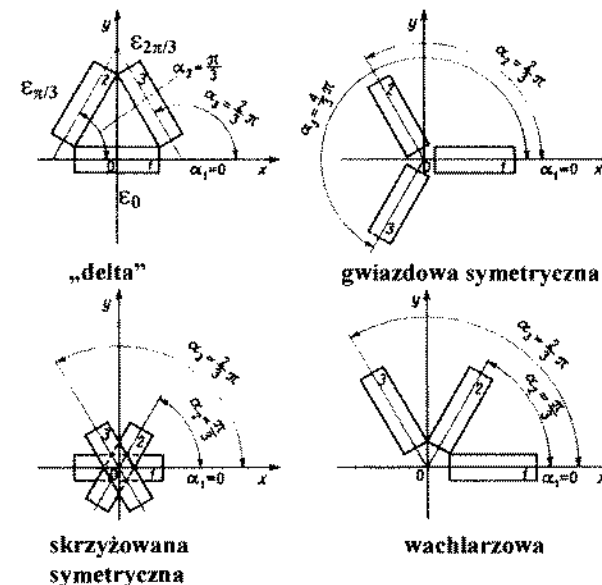
$$\sigma_1 = \frac{E}{1-\nu^2} (\varepsilon_1 + \nu \varepsilon_2) \quad \sigma_2 = \frac{E}{1-\nu^2} (\varepsilon_2 + \nu \varepsilon_1)$$

Maksymalne naprężenie styczne:

$$\tau_{\max} = G \cdot \gamma_{\max} = \frac{E}{2(1+\nu)} \gamma_{\max} = \frac{E}{2(1+\nu)} \sqrt{2} \sqrt{(\varepsilon_0 - \varepsilon_{\pi/4})^2 + (\varepsilon_{\pi/4} - \varepsilon_{\pi/2})^2}$$

## Teoria rozet tensometrycznych

Typy rozet używanych, gdy nieznane są kierunki główne odkształceń



„delta”  
skrzyżowana  
symetryczna

gwiazdowa symetryczna  
wachlarzowa

Związki pomiędzy odpowiednimi odkształceniami:

$$\varepsilon_x = \varepsilon_0$$

$$\varepsilon_y = \frac{-\varepsilon_0 + 2\varepsilon_{\pi/3} + 2\varepsilon_{2\pi/3}}{3}$$

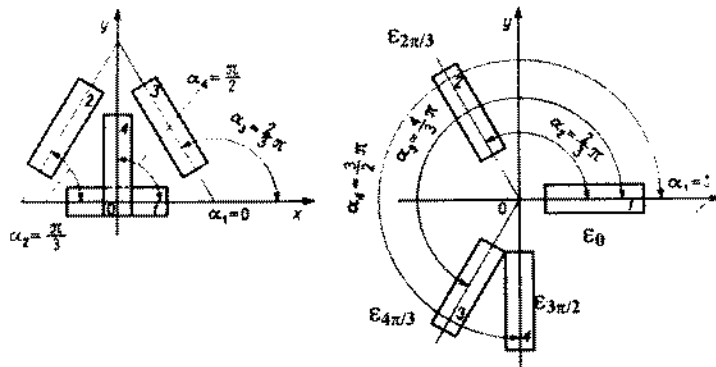
$$\frac{\gamma_{xy}}{2} = \frac{(\varepsilon_{\pi/3} - \varepsilon_{2\pi/3})}{\sqrt{3}}$$

$$\varepsilon_{1,2} = \frac{\varepsilon_0 + \varepsilon_{\pi/3} + \varepsilon_{2\pi/3}}{3} \pm \frac{\sqrt{2}}{3} \sqrt{(\varepsilon_0 - \varepsilon_{\pi/3})^2 + (\varepsilon_{\pi/3} - \varepsilon_{2\pi/3})^2 + (\varepsilon_{2\pi/3} - \varepsilon_0)^2}$$

$$\operatorname{tg}(2\varphi) = \frac{\sqrt{3} \cdot (\varepsilon_{\pi/3} - \varepsilon_{2\pi/3})}{2\varepsilon_0 - (\varepsilon_{\pi/3} + \varepsilon_{2\pi/3})}$$

## Teoria rozet tensometrycznych

Typy rozet używanych, gdy nieznane są kierunki główne odkształceń



"T-delta"

wachlarzowa

Dodatkowy czwarty tensometr (prostopadły do jednego z tensometrów z układu "delta") pełni rolę kontrolną (pomocniczą).

Związki pomiędzy odpowiednimi odkształceniami:

$$\varepsilon_x = \varepsilon_0$$

$$\varepsilon_y = \varepsilon_{\pi/2}$$

$$\frac{\gamma_{xy}}{2} = \frac{(\varepsilon_{\pi/3} - \varepsilon_{2\pi/3})}{\sqrt{3}}$$

$$\varepsilon_{1,2} = \frac{\varepsilon_0 + \varepsilon_{\pi/2} \pm \sqrt{(\varepsilon_0 - \varepsilon_{\pi/2})^2 + \frac{4}{3}(\varepsilon_{\pi/3} - \varepsilon_{2\pi/3})^2}}{2}$$

$$\operatorname{tg}(2\varphi) = \frac{2\sqrt{3} \cdot (\varepsilon_{\pi/3} - \varepsilon_{2\pi/3})}{3(\varepsilon_0 - \varepsilon_{\pi/2})}$$

$$\tau_{\max} = \sqrt{(\varepsilon_0 - \varepsilon_{\pi/2})^2 + \frac{4}{3}(\varepsilon_{\pi/3} - \varepsilon_{2\pi/3})^2}$$

## Rodzaje tensometrów

Wymagania wobec tensometrów (wielkości odkształceń są bardzo małe):

- pomiar maksymalnie zbliżony do punktowego
- duża czułość
- minimalny błąd pomiaru
- dobra powtarzalność

Rodzaje tensometrów:

### 1. Mechaniczne

- mechaniczne,
- optyczno-mechaniczne
- strunowe

### 2. Elektryczne

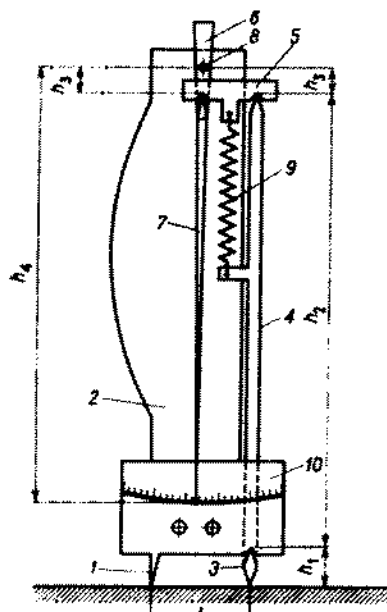
- rezystancyjne (oporowe) – obecnie najpowszechniejsze
- indukcyjne
- elektrodynamiczne
- piezoelektryczne
- pojemnościowe

Kryterium doboru odpowiedniego tensometru musi uwzględniać warunki i wymagania pomiaru związane z rodzajem materiału, kształtem elementu konstrukcyjnego, rodzajem obciążenia, temperaturą i innymi czynnikami. Kryteria te w dużej mierze zależą też od rodzaju tensometru i zasady jego działania.

## Tensometry mechaniczne

### Tensometr Huggenbergera

Używany w badaniach statycznych, przy stałych lub bardzo wolno zmieniających się siłach



- 1- ostrze nieruchome  
2- kadłub  
3- ostrze ruchome ( $h_1$ )  
4- dźwignia ( $h_2$ )  
5- beleczka pozioma  
6- dźwignia  
7- wskazówka ( $h_4$ )  
8- oś obrotu ( $h_3$ )  
9- sprężyna  
10- skala

$$k = \frac{h_2 \cdot h_4}{h_1 \cdot h_3} \quad k = 300 \div 3700$$

baza  $L_0 = 10 \div 100 \text{ mm}$

$$\varepsilon = \frac{\Delta L_0}{L_0} = \frac{s}{k \cdot L_0}$$

$s$  – wychylenie wskazówki na skali

Tensometr mocuje się na powierzchni przy użyciu przyssawek lub specjalnych uchwytów mechanicznych albo magnetycznych.

#### Zalety tensometru Huggenbergera:

- duża sztywność i lekkość
- duża dokładność
- niezawodność, łatwość regulacji
- możliwość pomiaru na powierzchniach zakrzywionych

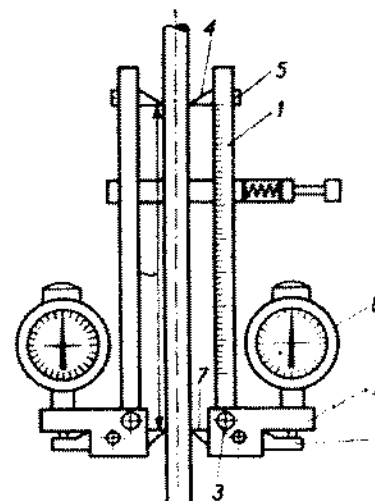
#### Wady:

- wysoka cena
- wrażliwość na wstrząsy i zmiany temperatury
- należy starannie dobierać nacisk na ostrze (zbyt mały – ślizganie się ostrzy po powierzchni, zbyt duży – uszkodzenie ostrzy i panewki)

## Tensometry mechaniczne

### Tensometr z czujnikiem zegarowym MK-3

Używany do mniej dokładnych pomiarów



- 1 – beleczka  
2 – kadłub  
3 – śruba zaciskowa  
4 – ostrze nieruchome  
5 – wkręt  
6 – dźwignia  
7 – ostrze ruchome  
8 – czujnik zegarowy (z przekładnią zębatą o dużym przełożeniu)

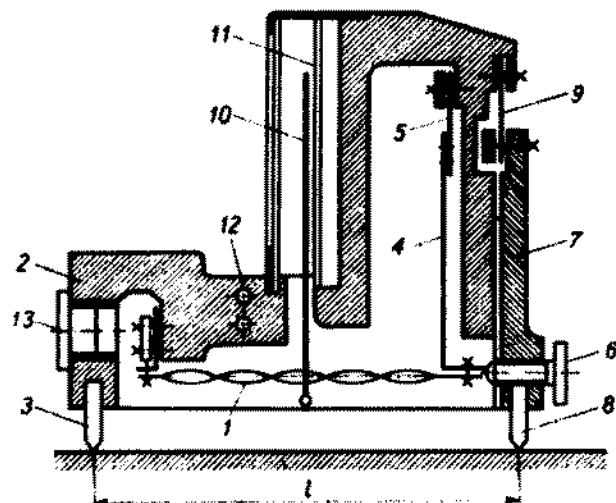
$k = 100$

Zalety: - prosta budowa i obsługa  
- możliwość pomiarów do 3 mm

Wady: - mała czułość

## Tensometry mechaniczne

### Tensometr Johannsona – mikrokator



- |   |                         |
|---|-------------------------|
| 1 – taśma sprężysta skręcona (metalowa lub szklana) | 2 – kadłuh              |
| 3 – ostrze nieruchome                               | 4 – dźwignia napinająca |
| 6 – śruba regulująca                                | 7 – dźwignia            |
| 9 – sprężyna  | 10 – wskazówka          |
| 12 – otwory do mocowania uchwytów                   | 11 – skala              |
|   | 13 – korek              |

**Zasada działania:** ruch ostrza ruchomego przenosi się za pośrednictwem śruby regulacyjnej na dźwignię napinającą, która powoduje zmianę długości taśmy skręconej wywołującą ruch wskazówki bezpośrednio do niej przytwierdzonej.

Przełożenie  $k = 100 \div 5000$       długość bazy  $L_0 = 50 \div 250$  mm

Zastosowanie głównie do pomiarów statycznych odkształceń konstrukcji.

## Tensometry mechaniczne

**Zasadnicze elementy tensorów mechanicznych:**

- dźwignie
- przekładnie zębate
- pręty
- ciągną

**Wymagania mechaniczne dotyczące elementów tensorów mechanicznych:**

- sztywność
- brak luzów na przegubach

**Cechy charakterystyczne tensorów mechanicznych:**

- stosunkowo duże rozmiary
- duży ciężar
- wymagana precyzja wykonania
- duży koszt wytworzenia

**Generalna zasada działania tensometru mechanicznego:**

- baza tensometru – wyznaczona przez dwa ostrza przyrządy, wykonane z bardzo twardej hartowanej stali, docisnięte są do powierzchni badanego ciała
- długość bazy tensometrów mechanicznych może być zmieniana w zależności od celu i warunków badania
- jedno ostrze jest trwale połączone z korpusem tensometru a drugie ostrze połączone jest przegubowo i zazwyczaj uruchamia zespół dźwigni
- odkształcenie przedmiotu wywołuje zmianę odległości pomiędzy krawędziami obu ostrzy
- ostrze umocowane przegubowo obraca się wokół osi uruchamiając zespół dźwigni, które przemieszczają wskazówkę, której koniec przesuwają po odpowiedniej skali, umożliwiając odczyt wielkości odkształcenia

**Wielkości charakteryzujące tensometr:**

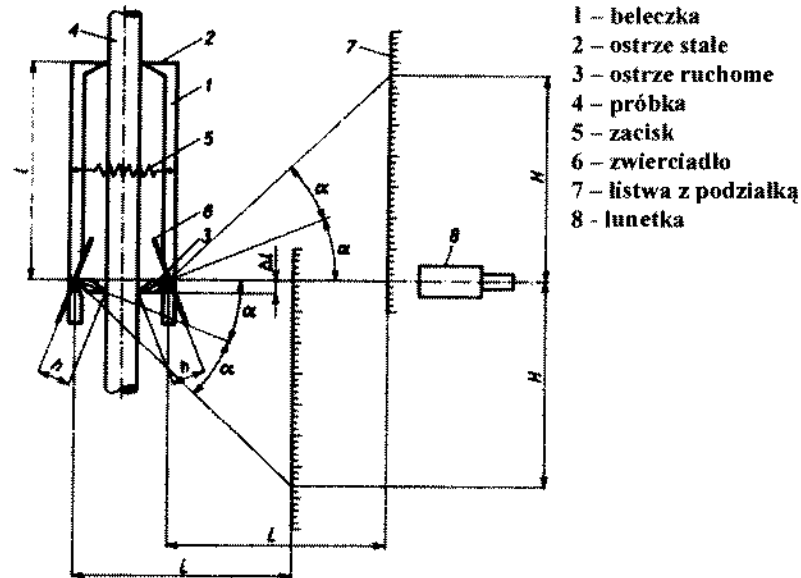
- baza
- przełożenie

**Przełożenie  $k$ :**

$k = s / \Delta L_0$  - stosunek drogi  $s$  przebytej przez wskaźnik do przyrostu długości bazy, wielkość rzędu 1000

## Tensometry optyczno-mechaniczne

### Tensometr zwierciadlany Martensa



- 1 – beleczka
- 2 – ostrze stałe
- 3 – ostrze ruchome
- 4 – próbka
- 5 – zacisk
- 6 – zwierciadło
- 7 – listwa z podziałką
- 8 – lunetka

#### Zasada działania:

- ✓ Część mechaniczna spełnia taką samą rolę jak w tensometrach mechanicznych, jest to beleczka z dwoma ostrzami. Do ruchomego ostrza przytwierdzone jest zwierciadło.
- ✓ Część optyczna stanowi przekładnię tego układu. Obserwuje się przez lunetkę zmianę położenia plamki świetlnej na skali przed i po obciążeniu badanego elementu.

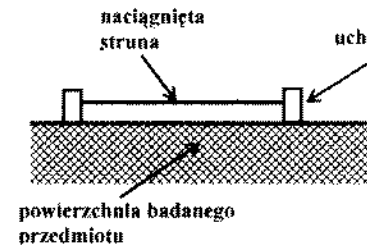
$$\text{Przełożenie } k = \frac{L \cdot \tan 2\alpha}{h \cdot \sin \alpha} \approx \frac{2 \cdot L}{h} \quad \text{dla kąta } \alpha \text{ odpowiednio małego}$$

$$\text{Dla } L > 6 \text{ m} \quad k = 3000 \div 5000$$

Tensometr bardzo trudny i kosztowny w zastosowaniu, zajmuje dużo miejsca, stosowany jedynie w specjalnych warunkach laboratoryjnych. Bardzo czuły na wibracje i wstrząsy.

## Tensometry strunowe

### Zasada działania



Częstotliwość drgań swobodnych struny

$$f_s = \frac{1}{2L} \sqrt{\frac{\sigma_s}{\rho}}$$

L – długość struny

$\sigma_s$  – naprężenie struny

$\rho$  – gęstość materiału struny

Odkształcenie materiału podłoża wywołuje zmianę odległości pomiędzy uchwytami co zmienia naprężenie struny. Zmiana naprężenia wywołuje zmianę częstotliwości drgań struny. Mierząc zmianę częstotliwości struny można wyznaczyć zmianę naprężenia materiału badanego:

$$\Delta \sigma \approx 8 \cdot \rho \cdot L^2 \cdot f_s \cdot \Delta f_s \cdot \frac{E_s}{E_m}$$

$E_s, E_m$  – moduły Younga odpowiednio: materiału struny i badanego materiału

W metodzie strunowej pomiary zmiany naprężeń sprowadzają się do pomiarów zmiany częstotliwości drgań struny.

#### Główna zaleta metody strunowej:

Możliwość pomiaru zmian naprężeń nawet w bardzo wysokich temperaturach (nawet  $>600^\circ\text{C}$ ), gdzie nie można zastosować innych rodzajów tensometrów. Wynika to z możliwości użycia jako struny materiału wytrzymującego wysokie temperatury (np. stal).

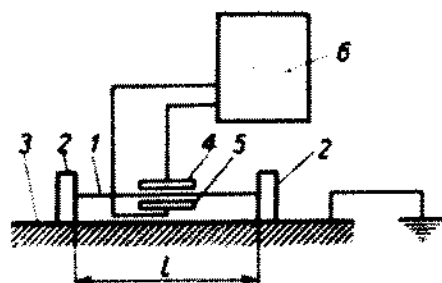
Konieczna jest znajomość współczynników rozszerzalności termicznej materiału struny  $\alpha_s$  i badanego materiału  $\alpha_m$  aby uwzględnić wpływ zmiany temperatury na zmianę naprężenia struny. Wszystkie elementy tensometru (struna, uchwyty, korpus, osłona, itd.) powinny być wykonane z tego samego materiału, aby zmiany temperatury samego tensometru nie wprowadzały dodatkowych naprężeń.

## Tensometry strunowe

Podział tensometrów strunowych ze względu na sposób pobudzania drgań struny i sposobów pomiaru parametrów tych drgań:

1. **Magnetoelektryczne:** zmienne pole magnetyczne wywołuje drgania struny. Struny muszą być wykonane z materiału magnetycznego. Wymagają stosowania dużych prądów zmiennych do wywoływania stosunkowo silnych pól zmiennych magnetycznych, potrzebna jest dobra izolacja, przewody są grube, rozmiary tensometru znaczne; sygnały odbierane z tensometru są bardzo słabe, wymagają układów eliminujących szumy.
2. **Elektroakustyczne:** drgania struny wymuszane są zmiennym polem elektrycznym; częstotliwość drgań wyznaczana jest na drodze pomiaru pojemności elektrycznej. Tensometry te są znacznie prostsze i lepsze od magnetoelektrycznych.

Przykład tensometru elektroakustycznego

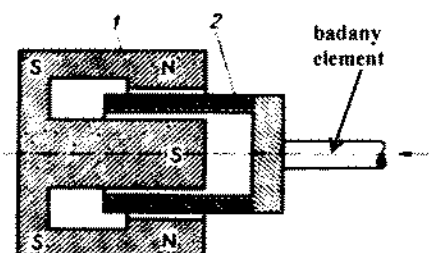


- 1 – struna      2 – uchwyty  
3 – badany przedmiot  
4, 5 – okładki kondensatora  
6 – przetwornik

Zasada działania:

1. Elektroda 4 wzbudza drgania struny o zadanej częstotliwości.
2. Zmiana częstotliwości drgań struny wywołana zmianą naprężenia struny powoduje zmiany pojemności kondensatora o okładkach 4, 5.
3. Przetwornik 6 przekształca sygnały pochodzące od zmienionej częstotliwości w napięcia zmienne, których ciągły pomiar pozwala obserwować zmiany naprężenia badanego materiału.

## Tensometry elektrodynamiczne (magnetoindukcyjne) Schemat działania



- 1 – magnes stały  
2 – uzwojenie

Pod wpływem ruchu uzwojenia w stałym polu magnetycznym, wywołanego zmianą długości badanego elementu, w uzwojeniu indukuje się siła elektromotoryczna wywołująca w uzwojeniu przepływ prądu, który można zmierzyć.

Wielkość siły motorycznej zależy od ilości zwojów oraz prędkości zmiany strumienia magnetycznego przechodzącego przez uzwojenie, co jest zależne od prędkości ruchu uzwojenia.

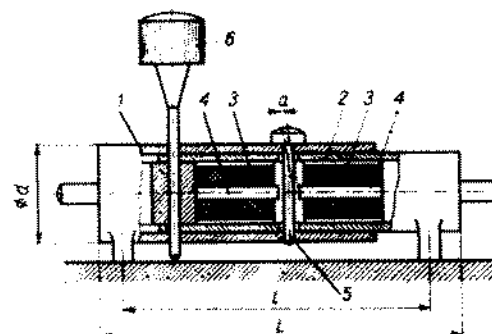
Zalety tensometrów elektrodynamicznych:

- reaguje bezpośrednio na prędkość liniową i kątową
- prostota budowy, wymiary bazy pomiarowej mogą być bardzo małe
- możliwość badania procesów uderzeń itp.

Wady:

- duża czułość na zakłócenia elektromagnetyczne i zmiany temperatury
- nieprzydatność w badaniach statycznych i wolnozmiennych

Przykład tensometru elektromagnetycznego (Langego)



- 1 – tuleja ochronna  
2 – tuleja ruchoma  
3 – uzwojenia  
4 – magnesy stałe  
5 – zwora  
6 – kolek

Małe rozmiary tensometru  
 $a = 0.1 \text{ mm}$   
 $l = 11-15 \text{ mm}$        $d = 3.5-5 \text{ mm}$

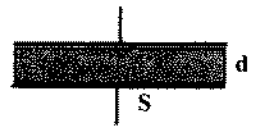
Zalety: niewrażliwy na przeciążenia, mało czuły na wpływy zewnętrzne, prosty w obsłudze

## Tensometry pojemnościowe

### Zasada działania

Elementem reagującym na odkształcenie badanego przedmiotu jest kondensator elektryczny, składający się z dwóch płytek metalowych o małych rozmiarach, łączących się z obu końcami bazy pomiarowej i oddzielonych od siebie warstwą powietrza o stałej lub zmiennej grubości.

Pojemność kondensatora płaskiego dwupłytkowego przy pominięciu efektów brzegowych:

$$C = 0,08859 \frac{\epsilon_{\text{dielektr}} \cdot S}{d} \quad [\text{pF}]$$


$\epsilon_{\text{dielektr}}$  – przenikalność elektryczna względna dielektryka ( $\epsilon_{\text{dielektr}} = 1,0005$  dla powietrza w  $0^\circ\text{C}$ )  
 $d$  – grubość warstwy dielektryka [cm]  
 $S$  – pole powierzchni okładki [cm<sup>2</sup>]

Rolę jednej z płytek (okładek) kondensatora może spełniać badana próbka. Gdy próbka jest nieprzewodząca, może pełnić rolę dielektryka.

Zalety tensometrów pojemnościowych:

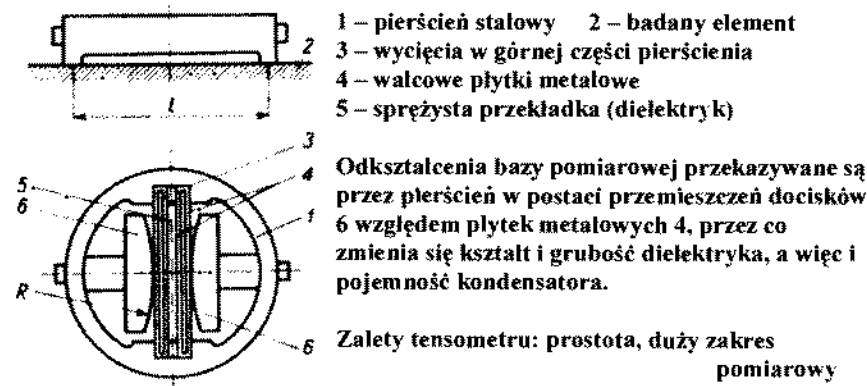
- duża czułość
- mała baza rzędu  $10^{-6}$  mm
- badania statyczne i dynamiczne

Wady:

- ~ wrażliwość na czynniki uboczne: temperatura, wilgotność, drgania i wstrząsy

### Przykład tensometru pojemnościowego

#### Tensometr Cartera i Shannona



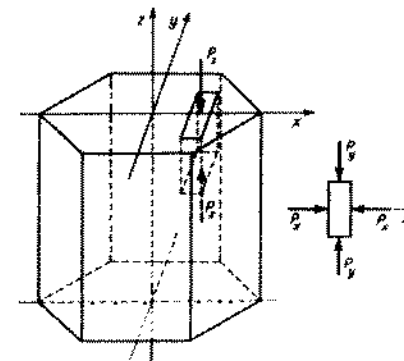
## Tensometry piezoelektryczne

Zjawisko piezoelektryczne (materiały piezoelektryczne – piezoelektryki):

Pewne związki występujące w postaci krystalicznej wykazują takie własności, że pod wpływem przyłożonego obciążenia, odkształcając się (sprężyscie) na ich ściankach pojawiają się ładunki elektryczne. Ładunki te znikają po odciążeniu kryształu. Zjawisko to ma charakter odwracalny, tzn. przyłożone z zewnątrz napięcie do ścianek kryształu odkształca go.

Najważniejszym z technicznego punktu widzenia piezoelektrykiem jest kwarc ( $\text{SiO}_2$ ), gdyż:

- jest łatwy i tani w produkcji
- ma dużą wytrzymałość mechaniczną
- zależność zjawiska piezoelektrycznego od temperatury jest mała



Własności kryształu kwarcu:

- krystalizuje w układzie heksagonalnym
- moduł Younga  $8 \cdot 10^4$  MPa
- oś optyczna z, wzdłuż której występuje podwójne załamanie promieni świetlnych
- trzy osie elektryczne x, przechodzące przez krawędzie, prostopadłe do z
- trzy osie mechaniczne y, prostopadłe do ścianek bocznych

Efekt piezoelektryczny wzdłużny:

- ściśnięcie sprężyste kryształu między dwoma elektrodami wzdłuż osi x powoduje powstanie ładunku elektrycznego na tych elektrodach

Efekt piezoelektryczny poprzeczny:

- ściśnięcie kryształu wzdłuż osi y wywołuje powstanie ładunków na ściankach prostopadłych do osi x

Stała (moduł) piezoelektryczny dla kwarcu:  $k_p = 2,2 \cdot 10^{-12}$  C/N.

W temperaturze  $573^\circ\text{C}$  kwarc traci właściwości piezoelektryczne.



## Tensometry piezoelektryczne

Napięcie  $U$  indukowane na ścianach kryształu obciążonego siłą  $P_x$  wynosi:

$$U = \frac{k_p \cdot P_x}{C} \quad C - \text{pojemność elektryczna kryształu}$$

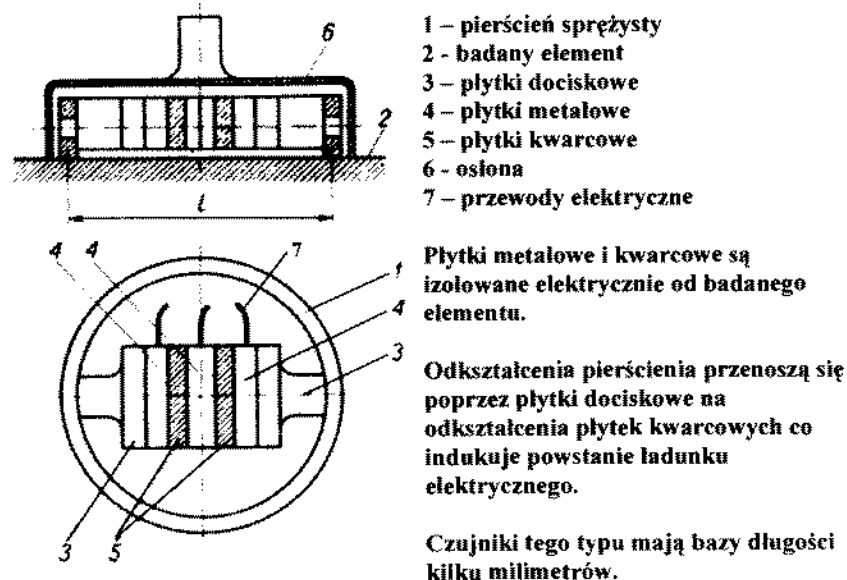
$$S_p = \frac{k_p}{C} \quad [V/N] \quad - \text{czułość tensometru}$$

Należy stosować płytki grubsze (małe  $C$ ) o mniejszych wymiarach poprzecznych, lub elementy wielopłytkowe.

Tensometry piezoelektryczne stosowane są głównie do badań dynamicznych uderzeniowych i o dużych częstotliwościach. Są łatwe w obsłudze.

Wrażliwe są na drgania i wstrząsy, wilgoć i obecność pól elektrycznych.

Przykład tensometru piezoelektrycznego:



## Tensometria oporowa

Metoda wykorzystująca zmianę oporności elektrycznej materiału, z którego wykonany jest czujnik tensometryczny, przy zmianie jego wymiarów wywołanych działającymi siłami mechanicznymi.

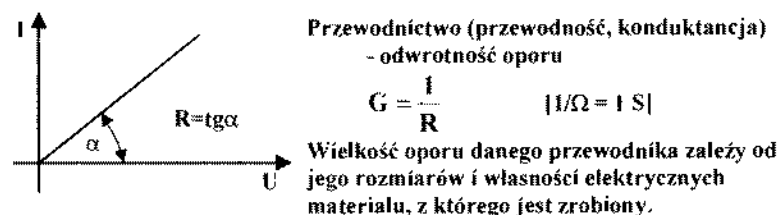
### Opór elektryczny (rezystancja) R:

Stosunek napięcia elektrycznego U, przyłożonego do przewodnika, do natężenia powstałego w ten sposób prądu elektrycznego I:

$$R = \frac{U}{I} \quad [1 \text{ V/A} = 1 \Omega]$$

### Prawo Ohma dla przewodnika liniowego:

Natężenie prądu elektrycznego I płynącego w przewodniku jest wprost proporcjonalne do przyłożonego napięcia U, tzn. wartość oporu R jest wielkością niezależną od napięcia i od natężenia.



### Opór właściwy (rezystywność) przewodnika o długości L i polu przekroju poprzecznego S:

$$R = \rho \cdot \frac{L}{S} \quad \rho - \text{opór właściwy, jednostka } [\Omega \cdot \text{m}]$$

Opór właściwy jest wielkością charakterystyczną dla danego materiału. Przewodność elektryczna właściwa (konduktywność) – odwrotność oporu właściwego:

$$\sigma = \frac{1}{\rho} \quad \text{jednostka } [\text{S/m}]$$

## Opór elektryczny

Oporność właściwa  $\rho$  przewodnika zależy od temperatury T [K], dla metali jest to zależność liniowa:

$$\rho(T) = \rho_{293 \text{ K}} [1 + (T - 293 \text{ K}) \cdot \alpha_p]$$

- $\rho(T)$  - oporność właściwa w dowolnej temperaturze
- $\rho_{293 \text{ K}}$  - oporność właściwa w temperaturze pokojowej 293 K  $\approx 20^\circ \text{C}$
- $\alpha_p$  - współczynnik temperaturowy rezystywności, jednostka [1/K]

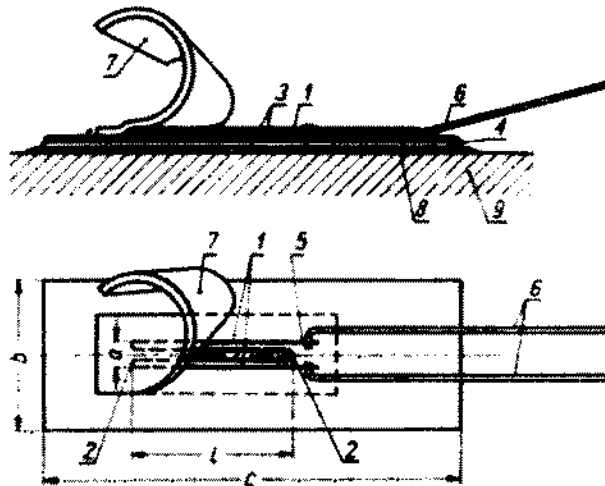
Wartości oporności i współczynników temperaturowych dla wybranych materiałów:

Material	Oporność właściwa $\rho \times 10^{-8} [\Omega \cdot \text{m}]$	Współczynnik temperaturowy $\alpha \times 10^{-3} [1/\text{K}]$
srebro	1.6	3.6
miedź	1.7	3.9
glin	2.7	4.0
cynk	5.9	3.8
nikiel	6.9	4.3
żelazo	9.8	4.5
$\text{Fe}_3\text{O}_4$	$5.2 \times 10^3$	
diament	$2.7 \times 10^8$	
$\text{Cu}_2\text{O}$	$1-5 \times 10^9$	
$\text{CuO}$	$6 \times 10^{11}$	
Nichrom (Ni20%Cr)	106	0.01
Manganin (Cu 12% Mn 4% Ni)	43	0.01
Konstantan (Cu 40% Ni 1.2% Mn)	50	0.005

### Zasada działania tensometru oporowego

1. Tensometr oporowy - odpowiednio dobrany przewodnik elektryczny, mechanicznie mocno związany z powierzchnią badanego elementu.
2. Zasada działania tensometru - pod wpływem obciążeń badany element odkształca się wraz z tensometrem, wskutek czego zmieniają się wymiary tensometru, z czym związana jest zmiana jego rezystancji.

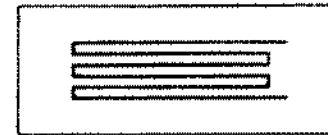
Przykład budowy czujnika tensometrycznego oporowego - typ wężykowy



1 – szereg równoległych drucików, uformowanych w postaci wielokrotnego wężyka, 2 – przecięcia drucików, 3 – klej mocujący drucik do podkładki nośnej, 4 – podkładka nośna, 5 – końcówki drucika oporowego, 6 – druty (grubsze) doprowadzające prąd elektryczny, 7 – nakładka ochronna przyklejona do drucika oporowego i podkładki nośnej, 8 – klej mocujący tensometr do badanego elementu, 9 – badany element, 1 – baza tensometru

Podkładka nośna i klej pełnią także rolę dielektryka izolującego drucik oporowy od badanego elementu.

### Zasada działania tensometru oporowego



Schemat tensometru wykonanego z drutu o długości  $L$  i polu przekroju poprzecznego  $S$  (średnicy  $d$ ) oraz oporności właściwej  $\rho$ , module Younga  $E$  i liczbie Poissona  $\nu$ , poddanego działaniu jednoosiowego naprężenia  $\sigma$ .

$$\text{Opór elektryczny drutu:} \quad R = \frac{\rho \cdot L}{S} \quad (1)$$

$$\text{Sprężyste wydłużenie względne drutu:} \quad \varepsilon = \frac{\sigma}{E} = \frac{\Delta L}{L} \quad (2)$$

$$\text{Sprężyste zmniejszenie względne średnicy drutu:} \quad \varepsilon' = -\nu \cdot \varepsilon = \frac{\Delta d}{d} \quad (3)$$

Przekształcenia wzoru (1):

$$\ln R = \ln \rho + \ln L - \ln S \quad (\text{logarytmowanie})$$

$$\frac{dR}{R} = \frac{d\rho}{\rho} + \frac{dL}{L} - \frac{dS}{S} \quad (\text{różniczkowanie})$$

$$\frac{\Delta R}{R} = \frac{\Delta \rho}{\rho} + \varepsilon - \frac{\Delta S}{S} \quad (\text{przejście do przyrostów skończonych})$$

$$S = \frac{\pi \cdot d^2}{4} \quad \Rightarrow \quad \frac{\Delta S}{S} = 2 \cdot \frac{\Delta d}{d} = -2 \cdot \nu \cdot \frac{\Delta L}{L} = -2 \cdot \nu \cdot \varepsilon$$

różniczkując

Ostatecznie:

$$\frac{\Delta R}{R} = \frac{\Delta \rho}{\rho} + (1 + 2 \cdot \nu) \cdot \varepsilon$$

### Zasada działania tensometru oporowego

$$\frac{\Delta R}{R} = \frac{\Delta \rho}{\rho} + (1 + 2 \cdot \nu) \cdot \varepsilon \quad - \text{względna zmiana oporu drucika tensometru}$$

Definicja:  $k \equiv \frac{\Delta \rho}{\rho \cdot \varepsilon} + 1 + 2 \cdot \nu$

- współczynnik czułości odkształceniowej tensometru lub
- stała czułości tensometru lub
- stała tensometru

$$\frac{\Delta R}{R} = k \cdot \varepsilon \quad - \text{zasadnicze równanie tensometrii oporowej}$$

$\frac{\Delta R}{R}$  - sygnał elektryczny (wielkość przetwarzana w aparaturze pomiarowej na odpowiednią wielkość elektryczną), sygnał ten jest tym większy im większa jest wartość k.

Związki między  $\frac{d\rho}{\rho}$  oraz  $\varepsilon$  są różne dla różnych metali.

Dla hydrostatycznego ściskania:  $\frac{d\rho}{\rho} = C \cdot \frac{dV}{V}$     V – objętość drutu

co daje dla drutów rozciąganych:  $\frac{d\rho}{\rho} = (1 - \nu) \cdot C \cdot \varepsilon$

czyli:  $k = 1 + 2 \cdot \nu(1 - C) + C$

Parametr C zależy od materiału drutu i jego obróbki.

### Zasada działania tensometru oporowego

$$k = \frac{\Delta \rho}{\rho \cdot \varepsilon} + 1 + 2 \cdot \nu \qquad k = 1 + 2 \cdot \nu(1 - C) + C \qquad \frac{d\rho}{\rho} = C \cdot \frac{dV}{V}$$

1. W zakresie odkształceń plastycznych  $\nu = 0.5$  dla wszystkich metali:

$$\rightarrow \text{nie zmienia się objętość} \quad \rightarrow \frac{\Delta \rho}{\rho} = 0 \quad \rightarrow k = 2$$

2. Zakres sprężysty drutu oporowego, dla większości metali:

$\nu = 0.24 \div 0.42$ , które zależy od naprężenia i temperatury

$$\rightarrow k \quad - \text{zależy od naprężenia}$$

Wyjątek konstantan:  $k \approx 2$  w zakresie sprężystym.

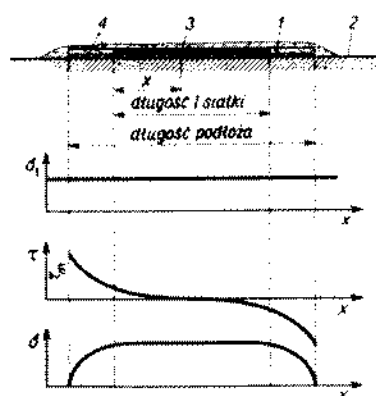
Zalety konstantanu do produkcji tensometrów oporowych:

- współczynnik czułości odkształceniowej tensometru  $k \approx 2$ , dla dużego zakresu odkształceń
- współczynnik temperaturowy rezystywności  $\alpha$  bliski zeru, tzn. oporność w bardzo niewielkim stopniu zależy od temperatury.

## Zasada działania tensometru oporowego

### Efekt brzegowy tensometru rezystancyjnego:

Na skutek istnienia kilku warstw tensometru (kleje, podkładka nośna, nakładka ochronna, druciki oporowe), naprężenie normalne  $\sigma_1$  w podłożu (czyli w badanym elemencie) wywołuje powstanie naprężeń stycznych  $\tau$  w warstwach pośredniczących między podłożem a siatką oporową, a w samej siatce naprężenia normalne  $\sigma$  o rozkładach nierównomiernych w pobliżu brzegów płytki tensometru.



Naprężenie ścinające licząc od połowy ( $x = L/2$ )

$$\tau = \tau_m \cdot e^{-\beta \cdot x}$$

$\beta$  - zależy od modułów sprężystości kleju i materiału drutu, odległości między siatką oporową a badanym elementem oraz od promienia wygięcia drutu na początku i końcu siatki.

Sila  $P$  rozciągająca druciki siatki tensometru wynosi zero na początku i końcu płytki tensometru a maksimum w środku drucików:

$$P = \frac{2\pi r}{\beta} \cdot \tau_m (1 - e^{\beta x}) \quad (\text{od } x = 0 \text{ do } x = L/2)$$

Średnia wartość współczynnika czułości tensometru  $k_s$  jest mniejsza od  $k$ :

$$k_s = \left( 1 - \frac{2}{\beta \cdot l} + \frac{2}{\beta \cdot l} \cdot e^{-\beta \cdot l/2} \right) \cdot k \approx \left( 1 - \frac{2}{\beta \cdot l} \right) \cdot k$$

Na wartość współczynnika  $k$ , wpływają także rozmiary i kształt podkładki nośnej tensometru.

## Zasada działania tensometru oporowego Wpływ temperatury

Pod wpływem zmiany temperatury od  $T$  do  $T_0$  zmianom ulegają:

- długość drucików siatki oporowej od  $L$  do  $L_t$ :

$$L_t = L \cdot [1 + \alpha_t \cdot (T - T_0)]$$

- długość odcinka na elemencie badanym odpowiadający bazie tensometru  $L$  od  $L$  do  $L_p$ :

$$L_t = L \cdot [1 + \alpha_p \cdot (T - T_0)]$$

$\alpha_t$ ,  $\alpha_p$  - współczynniki temperaturowe rozszerzalności cieplnej odpowiednio materiału drutu oporowego i materiału badanego elementu  
Obydwa wydłużenia wywołują względną zmianę rezystancji tensometru:

$$\frac{\Delta R_p}{R} = (\alpha_p - \alpha_t) \cdot (T - T_0) \cdot k$$

Zmiana rezystancji siatki tensometru zależy tylko od zmiany temperatury:

$$R_t = R \cdot [1 + \alpha_p \cdot (T - T_0)] \quad \text{czyli}$$

$$\frac{\Delta R_r}{R} = \alpha_p \cdot (T - T_0)$$

Zatem całkowita względna zmiana rezystancji siatki tensometru wynikająca ze zmiany temperatury od  $T_0$  do  $T$ :

$$\frac{\Delta R_T}{R} = \left( \frac{\alpha_p}{k} \cdot \alpha_p - \alpha_t \right) \cdot (T - T_0) \cdot k$$

Pozorne wydłużenie względne (błąd pozornego wydłużenia):

$$\varepsilon_p = \left( \frac{\alpha_p}{k} + \alpha_p - \alpha_t \right) \cdot (T - T_0)$$

Kompensacja wpływu temperatury:

$$\left( \frac{\alpha_p}{k} + \alpha_p - \alpha_t \right) = 0$$

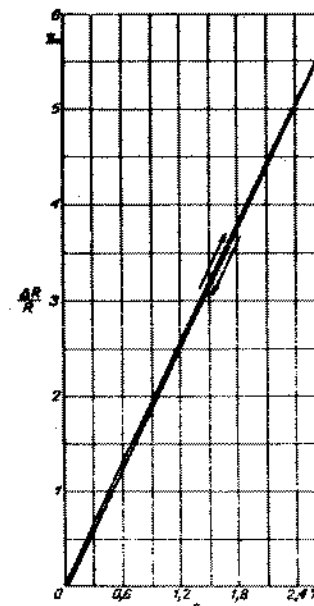
Taki warunek można osiągnąć tylko dla jednego materiału tensometru i materiału badanego elementu.

### Zalety tensometrii oporowej

1. Duża czułość i dokładność pomiaru:
  - zakres liniowy ( $k = \text{const}$ ) zwykle tensometry  $\epsilon$  do  $5\% = 0.005$  czyli do  $\sigma = 1000 \text{ MPa}$  dla stali
  - minimalne odkształcenia i naprężenia  $\epsilon \approx 10^{-6}$  czyli  $\sigma = 0.2 \text{ MPa}$  dla stali
2. Pomiary są uniezależnione od bazy pomiarowej  $L$  (bazy tensometru), gdyż odczyt dokonywany jest bezpośrednio w jednostkach  $\epsilon = \Delta L/L$
3. Możliwość pomiarów statycznych i dynamicznych o dużych częstotliwościach przez długie okresy czasu
4. Małe wymiary i mała masa eliminują wpływ tych wielkości na dokładność przeprowadzonych pomiarów – duże znaczenie w badaniach obiektów obciążonych dynamicznie
5. Niewrażliwość na wstrząsy – ważne w badaniach dynamicznych
6. Bezpośrednie przekazywanie odkształceń na drut oporowy
7. Możliwość bardzo łatwego stosowania układów rozetowych – badania dwuosiowego stanu naprężeń
8. Możliwość jednoczesnego przeprowadzania pomiaru w bardzo wielu punktach
9. Możliwość pomiaru na niewielkich, bardzo zakrzywionych powierzchniach
10. Możliwość wykonywania z jednego miejsca pomiarów na odległych od siebie przedmiotach
11. Możliwość dogodnego i bezpiecznego wykonywania pomiarów na trudno dostępnych i zagrażających awarią obiektach maszynowych
12. Możliwość przeprowadzania pomiarów na elementach ruchomych
13. Duża łatwość automatyzacji pomiaru i łatwość rejestracji danych
14. Niskie koszty produkcji

### Wady tensometrii oporowej

1. Wrażliwość na wilgoć i temperaturę
2. Niszczenie tensometru przy zdejmowaniu z badanego elementu – konieczność cechowania kontrolnego na drodze porównawczej, na wbranych tensometrach z danej partii produkcyjnej
3. Zjawisko histerezy (po odciążeniu odkształcenie tensometru nie wraca dokładnie do wartości zerowej) – znika całkowicie po kilku cyklach obciążenia
4. Stosunkowo długi okres przygotowawczy – przygotowywanie powierzchni badanej, klejenie i suszenie, mocowanie przewodów elektrycznych, zabezpieczanie przed wilgocią i przypadkowym uszkodzeniem.



### Zjawisko histerezy

– polega na nieco odmiennym przebiegu zależności  $\Delta R/R$  vs.  $\epsilon$  przy obciążaniu i odciążaniu tensometru, zazwyczaj znika po kilku cyklach obciążenie-odciążenie

## Wymagania stawiane materiałom używanym do wyrobu tensometrów oporowych

Drut oporowy powinien odpowiadać następującym wymaganiom:

1. Stała wartość współczynnika czułości odkształceniowej tensometru  $k = \text{const}$  w możliwie szerokim zakresie naprężeń
2. Możliwie duża wartość współczynnika czułości  $k$  (ma wpływ na czułość i dokładność pomiarów)
3. Możliwie duża rezystancja właściwa – daje większe sygnały  $\Delta R/R$ , pozwala na budowę małych czujników
4. Najmniejsza możliwa histereza odkształceń
5. Najmniejszy możliwy współczynnik termicznej zależności rezystancji
6. Współczynnik liniowej rozszerzalności cieplnej powinien być maksymalnie zbliżony do współczynnika materiału badanego elementu – eliminacja naprężeń termicznych
7. Niewielkie napięcie termoelektryczne względem miedzi, odgrywa dużą rolę przy pomiarach statycznych z użyciem prądu stałego – napięcie termoelektryczne pojawia się jeśli połączenia (styki) dwóch przewodników z różnych materiałów znajdują się w różnych temperaturach
8. Dobra lutowalność i spawalność – potrzebna do przymocowania drutów zewnętrznych

Najwięcej wymagań spełnia konstantan, dlatego jest najpowszechniej stosowanym materiałem na druty oporowe tensometrów.

- Wady konstantanu:
- stosunkowo duży współczynnik napięcia termoelektrycznego względem miedzi ok.  $43 \mu\text{V/K}$  (ma to znaczenie tylko przy pomiarach stałoprądowych i gdy lutowane połączenia konstantan-miedź znajdują się w różnych temperaturach)
  - stosunkowo niewielka wartość  $k \approx 2$  (istnieją stopy metali o znacznie większej wartości  $k$ )

## Wymagania stawiane materiałom używanym do wyrobu tensometrów oporowych

Podkładka nośna – element pośredniczący w przenoszeniu naprężeń z przedmiotu badanego na drut oporowy tensometru, jej właściwości współdecydują o jakości tensometru:

Wymagania:

1. Brak pełzania – zachowywanie właściwości mechanicznych z czasem
2. Brak histerezy
3. Niewrażliwość na wilgoć
4. Niewrażliwość na temperaturę
5. Dobra przylepność do stosowanych klejów
6. Giętkość
7. Odpowiednia wytrzymałość mechaniczna
8. Duża zdolność izolacyjna ( $> 50 \text{ M}\Omega$ , wobec standardowej oporności tensometru rzędu  $100 \Omega$ )

Podkładki nośne wykonywane są z tworzyw sztucznych (np. żywice fenolowe) ograniczenie pomiarów temperaturowych do ok.  $200^\circ\text{C}$ .

Klej – wymagania:

1. Brak pełzania
2. Dobra przyczepność
3. Brak histerezy
4. Niewrażliwość na wilgoć
5. Niewrażliwość na temperaturę
6. Nieaktywny chemicznie
7. Duża zdolność izolacyjna
8. Krótki czas schnięcia (twardnienia, osiągnięcia właściwych parametrów)

Stosuje się kleje samoutwardzalne np. nitrocelulozowe (aceton) lub polimeryzujące np. bakelitowo-fenolowe, typu cyjanopan itd.

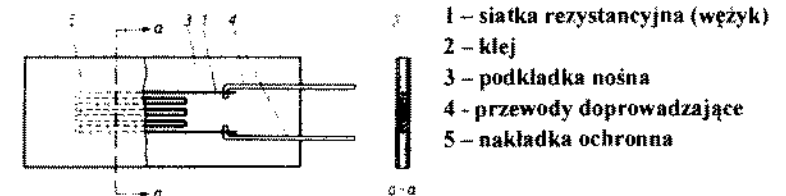
## Wymagania stawiane tensometrom oporowym

Wymagania dla tensometrów jako elementów pomiarowych:

1. Małe wymiary – zwłaszcza do badania małych przedmiotów i spiętrzenia naprężeń
2. Jak największe maksymalne dopuszczalne odkształcenie – zakres pracy dający wyniki powtarzalne, brak uszkodzeń mechanicznych tensometru
3. Duża wytrzymałość zmęczeniowa (liczba cykli pracy tensometru, dla której jego wskazania uznaje się za dobre)
4. Możliwość stosowania stosunkowo dużych prądów pomiarowych aby zwiększyć czułość – czyli duża przewodność cieplna aby odprowadzać wydzielane ciepło.
5. Niewrażliwość na odkształcenia poprzeczne w stosunku do kierunku odkształceń mierzonych
6. Jak najmniejsze pełzanie – różnica wskazań tensometru w różnym czasie na elemencie poddanym stałemu obciążeniu
7. Dobra mechaniczna i termiczna osłona drutu oporowego
8. Widoczność siatki oporowej w celu ułatwienia właściwego umieszczenia tensometru na powierzchni badanego przedmiotu.
9. Wysoka dopuszczalna górna częstotliwość graniczna

## Rodzaje tensometrów rezystancyjnych

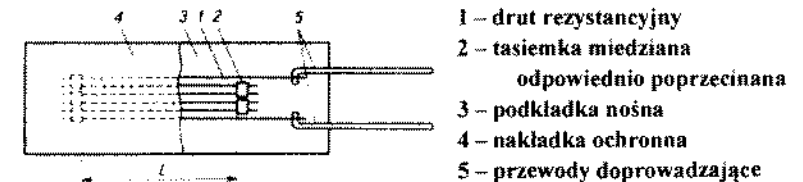
### Wężykowe



Główne wady: - wrażliwość na odkształcenia boczne  
- zależność czułości tensometru  $k$  od długości czynnej (całej) drutu oporowego, zależność od stosunku części podłużnej do części poprzecznych drutu

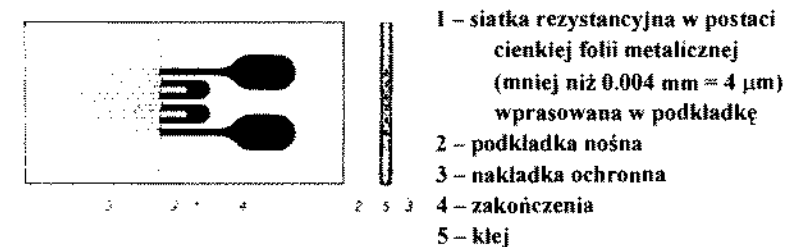
Grubość drucików oporowych jest rzędu  $0.025 \text{ mm} = 25 \mu\text{m}$

### Kratowe



Budowa tensometru (tasiemki miedziane) w znacznym stopniu eliminuje wady tensometru wężykowego.

### Foliowe





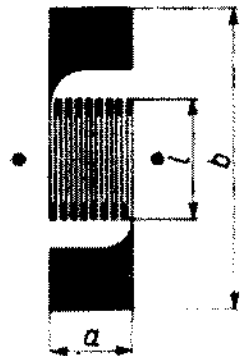
## Rodzaje tensometrów rezystancyjnych

### Zalety tensometrów foliowych w stosunku do drucikowych:

1. Możliwość wykonania siatki oporowej lub rozety tensometrycznej w dowolnym kształcie i z dużą precyzją (metoda fotochemiczna)
2. Lepsze powiązanie z badanym podłożem (lepsze przyleganie)
3. Lepsze odprowadzanie wydzielanego ciepła (ze względu na lepsze powiązanie z podłożem, relatywnie szerokie ścieżki przewodnika w stosunku do grubości) – czyli większe prądy pomiarowe
4. Mniejsza skłonność do pękania pod obciążeniem
5. Mniejsza histereza
6. Większa stałość punktu zerowego

### Przykładowe tensometry foliowe lub ich rozety

#### Pojedyncze



wzdłużny z bocznymi  
wyprowadzeniami  
 $l = 1.2 \text{ mm}$   
 $a = 1.3, b = 4.5 \text{ mm}$   
 $R = 120 \Omega$



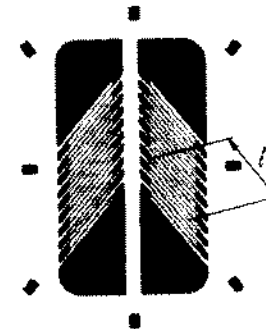
poprzeczny  
 $l = 3 \text{ mm}$   
 $a = 4, b = 13 \text{ mm}$   
 $R = 120 \Omega$



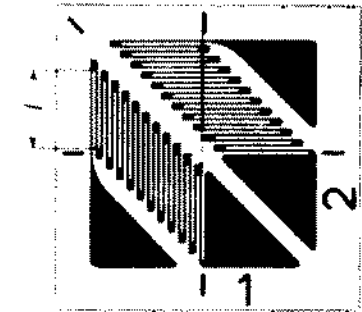
jednostronny  
 $l = 9 \text{ mm}$   
 $a = 3.5, b = 12 \text{ mm}$   
 $R = 120 \Omega$

## Przykładowe tensometry foliowe lub ich rozety

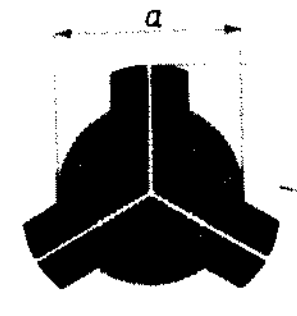
### Rozety



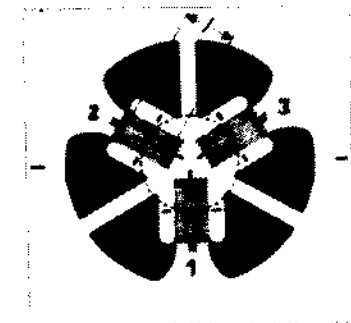
dwugłęźny  
do pomiaru naprężeń stycznych  
kąt między gałęziami  $45^\circ$   
 $l = 5 \text{ mm}$   
opór każdej gałęzi  $120 \Omega$



dwugłęźny  
do pomiaru naprężeń przy  
skręcaniu kąt  $90^\circ$   
 $l = 3.5 \text{ mm}$



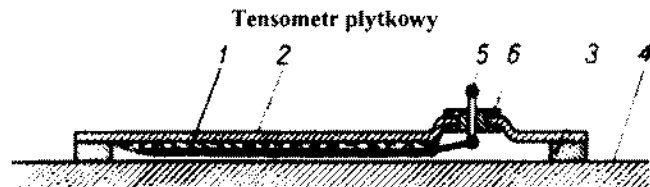
typu delta  
kąty między siatkami  $120^\circ$   
 $a = 12 \text{ mm}, l = 17 \text{ mm}$   
opór każdej gałęzi  $120 \Omega$



typu delta  
 $l = 2.5 \text{ mm}$

Żywotność tensometrów  $10^7$  cykli obciążeń symetrycznych o amplitudzie  $\varepsilon = 10^{-3}$   
Zakres odkształceń do  $\varepsilon = 4 \times 10^{-3}$  (błąd nieliniowości  $< 0.1\%$ )

### Tensometria oporowa Inne rozwiązania

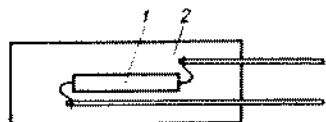


- 1 – tensometr foliowy      2 – płytka stalowa      3 – ramka  
4 – powierzchnia elementu      5 – końcówka przewodu      6 – przepust

#### Zasada działania

1. Tensometr lub układ tensometrów (rozeta) przymocowany jest do płytki metalowej a nie do badanego elementu.
2. Płytkę łączy się z elementem przez ramkę dystansową. Stosuje się zgrzewanie płytki do ramki i ramki do badanego elementu.
3. Ramka i płytka przenoszą odkształcenia na tensometr.
4. Zalety: bardzo mała wrażliwość na zakłócenia elektryczne z zewnątrz, dobra izolacja termiczna

### Tensometry półprzewodnikowe



- 1 – pasek krzemowy (grubość 0.02÷0.1 mm)  
2 – podkładka nośna

#### Główna zaleta tensometrów półprzewodnikowych:

- bardzo duża wartość współczynnika czułości odkształceniowej  
 $k = 40 \div 300$  (zależy od domieszkowania)

- Ponadto: - dobrze znoszą podwyższone temperatury, do 300°C  
- jednakowo znoszą obciążenia statyczne i dynamiczne

#### Wady:

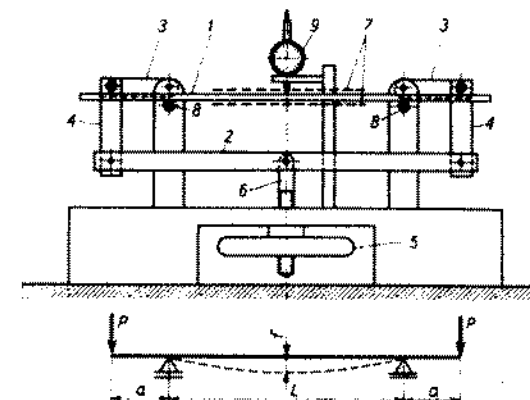
- współczynnik  $k$  silnie zależy od temperatury i wydłużenia względnego  $\varepsilon$

### Wzorcowanie tensometrów rezystancyjnych

Zadaniem wzorcowania tensometrów jest wyznaczenie wartości współczynnika czułości odkształceniowej (stałej tensometru)  $k$ :

$$k = \frac{\Delta R}{R \cdot \varepsilon}$$

#### Przyrząd do wzorcowania tensometrów oporowych



- 1 – zginana belka  
2, 3 – dźwignie  
4 – cięgna  
5 – pokrętko  
6 – cięgno gwintowane  
7 – tensometry  
8 – podpory  
9 – czujnik zegarowy

Urządzenie umożliwia dokładne określenie wielkości odkształcenia

Belka o przekroju prostokątnym  $b \times h$  i module Younga  $E$ , na długości  $L$  ulega ugięciu o promieniu stałym – w dowolnym przekroju poprzecznym moment gnący  $M$  jest taki sam.

strzałka ugięcia: 
$$f = \frac{M \cdot L^2}{8 \cdot E \cdot I_z}$$

$$I_z = \frac{b \cdot h^3}{12}$$
 - moment bezwładności przekroju poprzecznego belki

W skrajnych warstwach belki (gdzie przylepione są tensometry) naprężenie jest:

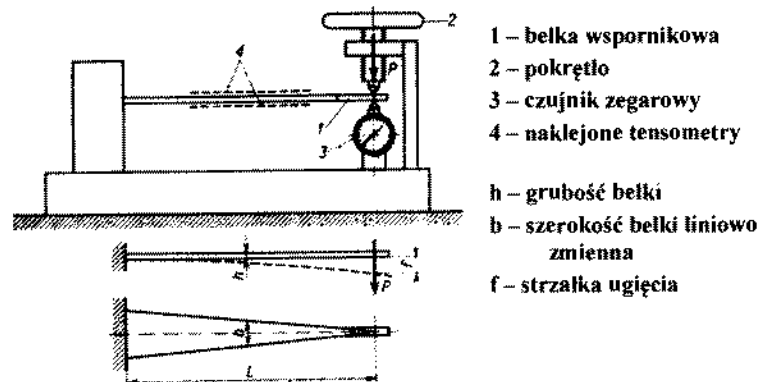
$$\sigma = \pm \frac{M}{W_z} = \pm \varepsilon \cdot E \quad W_z = \frac{b \cdot h^2}{6}$$
 - wskaźnik przekroju przy zginaniu

Wydłużenie względne skrajnych warstw jest stałe wzdłuż odcinka  $L$  belki:

$$\varepsilon = \pm \frac{4 \cdot f \cdot h}{L^2}$$
 odkształcenie tensometru wyznacza się tylko przez pomiar strzałki ugięcia

## Wzorcowanie tensometrów rezystancyjnych

Przyrząd do wzorcowania tensometrów oporowych  
- prostszy w użyciu, mniej dokładny



Z teorii ugięcia belek wynika, że dla tego przypadku wydłużenie względne warstwy skrajnej jest stałe na całej długości belki i wynosi:

$$\varepsilon = \frac{f \cdot h}{L^2}$$

Wyznaczenie  $\varepsilon$  sprowadza się do zmierzenia strzałki ugięcia.

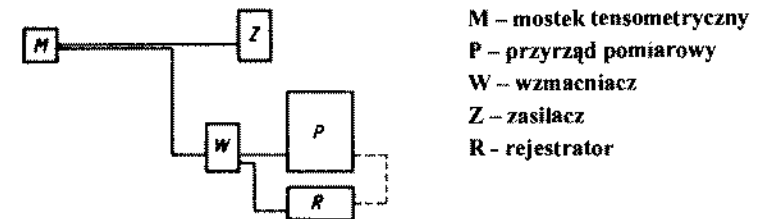
Mierząc jednocześnie  $\frac{\Delta R}{R}$  każdego tensometru wyznacza się wartości k.

Dodatkowe uwagi:

1. Czułość tensometru w kierunku poprzecznym wyznacza się przez wyznaczenie wskazań 2 tensometrów naklejonych obok siebie, z których jeden jest skierowany wzdłuż włókien belki, drugi zaś prostopadle.
2. Tensometr nie może być ponownie użyty po odklejeniu go z badanego elementu (ulega zniszczeniu). Cechowanie tensometrów odbywa się w sposób statystyczny na pewnej liczbie (próbie) tensometrów wyprodukowanych w danej partii.

## Tensometryczne układy pomiarowe

1. Zadanie układu pomiarowego: wyznaczenie zmian rezystancji tensometru, wywołanych odkształceniami przedmiotu, do którego został przymocowany
2. Zmiany rezystancji tensometru są bardzo małe – najwyższej rzędu ~ 1 %  
- należy stosować przyrządy bardzo czułe lub wzmacniać sygnały
3. Ogólny schemat blokowy tensometrycznego układu pomiarowego:



4. Pomiary odkształceń tensometrów oporowych dają się łatwo zautomatyzować:

